

DelftCluster
**Railway transition zones and
switches**

Factual report fieldtest monitoring

A.D. Hartman

Title
DelftCluster
Railway transition zones and switches

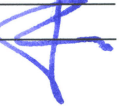
Project	Reference	Pages
1001069-000	1001069-000-GEO-0003-	28
	sr	

Summary

For the Delft Cluster 'Railway transition zones and switches' project, extensive measurements are made. The measurements are divided into three types. The soil investigation is the subject of this report. The long-term and short-term measurements are described in other reports.

The goal of this report is to make sure that all measurements are available to everyone involved and to properly name all the measurements. This will prevent problems with wrong or old data, additionally it will facilitate the communication between all involved in the project.

This report gives an overview of the dimensions, location and history of the culvert and switch. It also contains all available data on the soil investigation, consisting of four types of measurements.

Version	Date	Author	Initials	Review	Initials	Approval	Initials
01	Jul. 2008	A.D. Hartman		dr.ir. P. Hölscher		ing. M. Huttelman	
02	Aug. 2009	A.D. Hartman		dr.ir. P. Hölscher		ing. M. Huttelman	
03	Nov. 2009	A.D. Hartman		dr.ir. P. Hölscher		ing. M. Huttelman	

State
final

Contents

List of Tables	i
List of Figures	ii
1 Introduction	1
2 Dimensions and location of the culvert and switch	3
2.1 Specifications of the track	3
2.2 Location of the culvert	3
2.3 Dimensions of the culvert	3
2.3.1 Remarks on as designed data	4
2.4 Location of the switch	4
2.5 Dimensions of the switch	4
3 Cone Penetration Tests	5
3.1 CPT at the culvert	5
3.2 CPT at the Switch	5
4 Vertical Seismic Profiling tests	7
5 Visual inspection	9
6 Ground penetrating radar	11
6.1 Research properties, settings and reference data	11
6.2 Research results	12
Appendices	
A Drawings of the culvert	13
B Drawing of the switch	14
C Location of CPT's and VSPT's	15
D CPT results	16
E VSPT results	17
F Ground penetrating radar report	23

List of Tables

Table 2.1	Specifications of the track	3
Table 2.2	Coordinates of the culvert	3
Table 2.3	Indicative culvert dimensions as designed	4
Table 2.4	Coordinates of the switch	4
Table 2.5	Indicative switch dimensions	4
Table 3.1	Penetration cone measuring limits	5
Table 3.2	Coordinates of CPT tests at the culvert	5
Table 3.3	Coordinates of CPT tests at the switch	5
Table 5.1	Results visual inspection East side of culvert (Gouda)	9
Table 5.2	Results visual inspection West side of culvert	9
Table 6.1	Properties of GPR research	11
Table 6.2	GPR settings	11
Table 6.3	Reference data provided for GPR research	12

List of Figures

Figure 5.1	Ballast and approach slab depths as measured (both sides)	10
Figure 5.2	Comparison original level of the approach to current level	10

1 Introduction

For the Delft Cluster project ‘Railway transition zones and switches’, extensive field-testing has been carried out. At a location east of the railway station Gouda Goverwelle (GoGo) the behavior of a track and soil at a culvert and a switch are studied.

This report is part of a series of reports describing all tests performed at the GoGo test site and their results. All reports are written in the same format and tests are named in similar fashion. The reports also describe the structure of a database that contains all data. This database is supplied digitally along with the reports.

The complete series of reports consists of:

- A. Field survey.
1001069-000-GEO-0004 Factual report field survey
- B. Short-term measurements May 2008.
1001069-000-GEO-0003 Factual short-term measurement 2008
- C. Short-term measurements April/May 2009.
1001069-010-GEO-0004 Factual report short-term measurements 2009
- D. Long-term measurements.
1001069-000-GEO-0005 Factual report long-term measurements.

This report (A) gives a complete overview of the field survey. The report starts with some information on the culvert and switch. Then, the following geotechnical test results are described:

- CPT.
- VSPT.
- Visual inspection.
- Ground Penetrating Radar.

2 Dimensions and location of the culvert and switch

2.1 Specifications of the track

The specifications of the track is the same for both the culvert and the switch. The following information is available.

Construction part	Type / dimensions
Rail	UIC 54
Sleeper	Wood
Average sleeper distance	0,60 [m]
Track type	Ballasted

Table 2.1 *Specifications of the track*

2.2 Location of the culvert

The location of the culvert is some 500 meters from the Railway station Gouda Goverwelle, on the Gouda – Utrecht line at 28.773 km. Table 2.2 shows the coordinates.

Construction part	X coordinate [rds]	Y coordinate [rds]
Culvert centre	111561	447517

Table 2.2 *Coordinates of the culvert*

2.3 Dimensions of the culvert

The approach slabs on which this part of the project focuses are part of a culvert on the test site. The culvert was originally built in 1852. Parts of the abutments of the current culvert are still made up of original masonry from 1852, which has been repaired by injection techniques where necessary. The span between the two abutments has been made with the use of a concrete plate since 1949. Inspection in 1986 revealed that the abutments are closer together near the waterline compared to the top of the abutments. In 1994, the culvert was lengthened with the use of prefabricated concrete modular sections. During this renovation, the track from Woerden to Gouda was moved so that it no longer crosses the original section of the culvert from 1852. Drawings of this renovation are available but only in poor quality. The foundation consists of many different pile types. The original abutments are built on wooden piles. The newer sections of the culvert are built on a combination of steel tube piles and square prefabricated concrete piles.

Four drawings of the culvert are added as Appendix A. Table 2.3 shows indicative dimensions. All dimensions are as-designed, there are no as-built drawings of the culvert.

Construction part	Size [m]
Culvert length	51.25
Culvert width (span)	1.78
Culvert height	2.83 relative to bottom culvert
Water height in culvert	0.63 relative to bottom culvert
Track level	3.35 relative to bottom culvert
Approach slab length	4.0
Approach slab thickness	0.4
Approach slab width	1.2
Space between approach slabs	0.2
Approach slab angle	1:40 *
Space under rail	0.2

Table 2.3 Indicative culvert dimensions as designed

* For approach slab angle in current state see section 5

2.3.1 Remarks on as designed data

According to the design drawings, the approach slabs are 1,2 m wide and placed right under the rails. Since the distance between the rails is 1,4 m, this suggests a space of 0,2 m between the two slabs. This has not been found while digging the holes described in Section 5. It is likely that the plates are installed against each other. However, some radar measurements do not show a clear reflection of the slab. This might indicate that there is a split between the slabs despite the fact that it was not found during the visual inspection.

2.4 Location of the switch

Location	X coordinate [rds]	Y coordinate [rds]
West limit	111720	447502
East limit	111607	447517

Table 2.4 Coordinates of the switch

2.5 Dimensions of the switch

The switch is a 1:34.5 high-speed switch and is known as switch 447. A design drawing of the switch is available in appendix B. Inspection in the field has shown that the drawing of the switch is quite accurate for the situation at the time of the measurements.

Construction part	Size [m]
"Straight" section	37
"Outgoing" section	74

Table 2.5 Indicative switch dimensions

3 Cone Penetration Tests

Next to the track seven CPT's were carried out near the culvert and one in the track. At the switch two CPT's are carried out in the track. The testing is in accordance with Dutch standard NEN 5140 Klasse 2. The specifications of the penetration cone that is used are shown in Table 3.1

Parameter	Top limit of measurement range
Cone tip resistance	50 MPa
Skin friction	0.7 MPa
Pore water pressure	1 MPa
Cone inclination	350 mRad

Table 3.1 Penetration cone measuring limits

3.1 CPT at the culvert

The coordinates of the CPT's are shown in Table 3.2. CPT C-S15 is made in the track during one of the short term testing nights. S01 to S10 are located beside the track. A drawing of the CPT locations is given in Appendix C. The results are given in Appendix D

CPT name	Pore water pressure measured	X-coordinate (rds)	Y-coordinate (rds)	Surface level (NAP) [m]
S01	Yes	111555.86	447524.07	-0.51
S04	Yes	111563.98	447522.81	-0.35
S06	Yes	111572.78	447522.27	-0.63
S07	Yes	111558.86	447523.39	-0.50
S08	No	111566.64	447527.58	-1.29
S09	No	111570.81	447527.39	-1.45
S10	No	111560.13	447528.04	-1.39
C-S15	No	111569.01	447518.43	-0.01

Table 3.2 Coordinates of CPT tests at the culvert

3.2 CPT at the Switch

Both CPT's are located in the track as shown on the drawing in appendix C. The results of the CPT tests are in appendix D.

CPT name	Pore water pressure measured	X-coordinate (rds)	Y-coordinate (rds)	Surface level (NAP)[m]
S-S13	No	111615.00	447510.09	-0.09
S-S14	No	111682.11	447502.62	-0.18

Table 3.3 Coordinates of CPT tests at the switch

4 Vertical Seismic Profiling tests

CPT S-S13, S-S14 and C-S15 are made together with a VSPT. A seismic measurement is made every meter, starting at 2,7 m below surface level. The seismic waves are induced by giving a blow with a hammer on a sleeper, a rail and a steel rod inserted in the ground. Each material is stricken three times, making a total of 9 measurements per measurement level. From the nine measurements the best signal is selected for processing.

The VSPT sensors are embedded in a CPT rod 1 m above the cone. There are four sensors in the rod, placed at 90 degree intervals. From the four channels, the best two are selected for processing.

The location of the VSPT is given in Tables 3.2 - 3.3 and in appendix C. The VSPT results are added to this report as Appendix E. For convenience, the cone resistance is also plotted in the figures showing the VSPT results.

5 Visual inspection

To the west and to the east of the culvert holes are dug in order to physically determine the height of the ballast and the position of the approach slab. Inspection took place in December 2007 on the East side and in January 2008 on the West side of the culvert.

Table 5.1 shows the results of the visual inspection on the East side of the culvert. One of the goals was to determine if there is a clear transition from the ballast to the underlying sand. Inspection revealed that there is a layer of mixed sand and ballast. The top of this mixed zone is given in the table, as is the top of the level where there is no more ballast in the sand.

During the visual inspection on the West side of the culvert, results given in Table 5.2, the pits were dug out to the level either where the approach slab was found or where the sand layer ended. The column "top of clay" gives this level.

The two locations at which the level of the slab is measured give an angle of the slab of 18.4° in its current state.

Distance to edge culvert	Bottom ballast	Depth top approach slab	Top level sand/ballast zone	Top level sand	Groundwater level
[m]	ref BS [m]	ref BS [m]	ref BS [m]	ref BS [m]	Ref BS [m]
-1,2	1	1,4	1,1	1,2	-
-3,6	1,1	Not present	1,2	2,4	2,4
-4,8	Boring unfinished				

Table 5.1 Results visual inspection East side of culvert (Gouda)

Distance to edge culvert	Bottom ballast	Depth top approach slab	Depth top of clay	End boring
[m]	ref BS [m]	ref BS [m]	ref BS [m]	ref BS [m]
0,6	0,7	1,2	-	1,2
2,5	1,3	1,55	-	1,3
4,4	1,4	Not present	2,1	2,35

Table 5.2 Results visual inspection West side of culvert

Note: BS = level top of rail

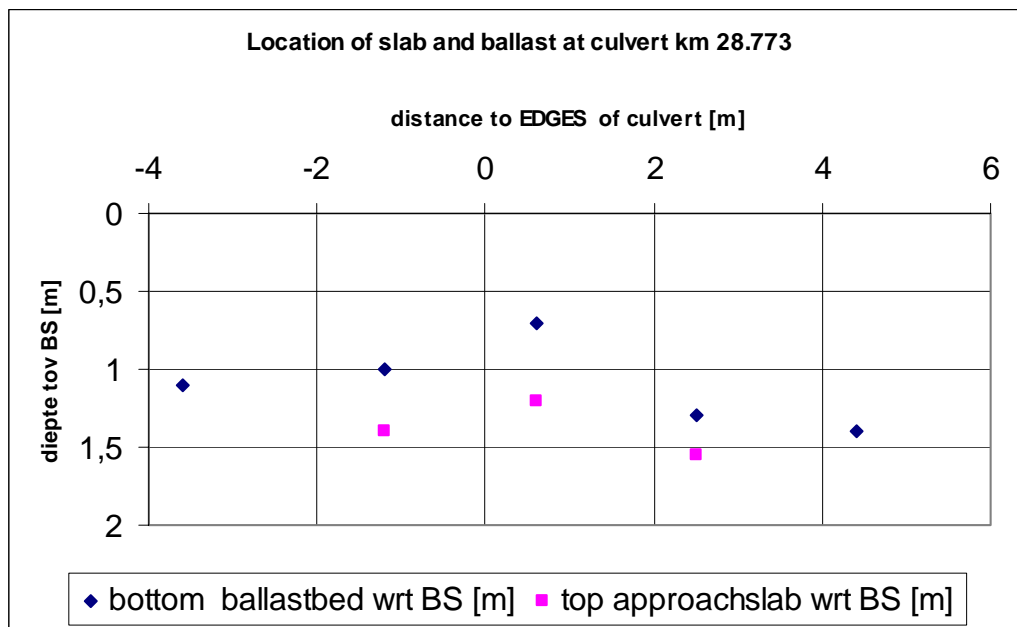


Figure 5.1 Ballast and approach slab depths as measured (both sides)

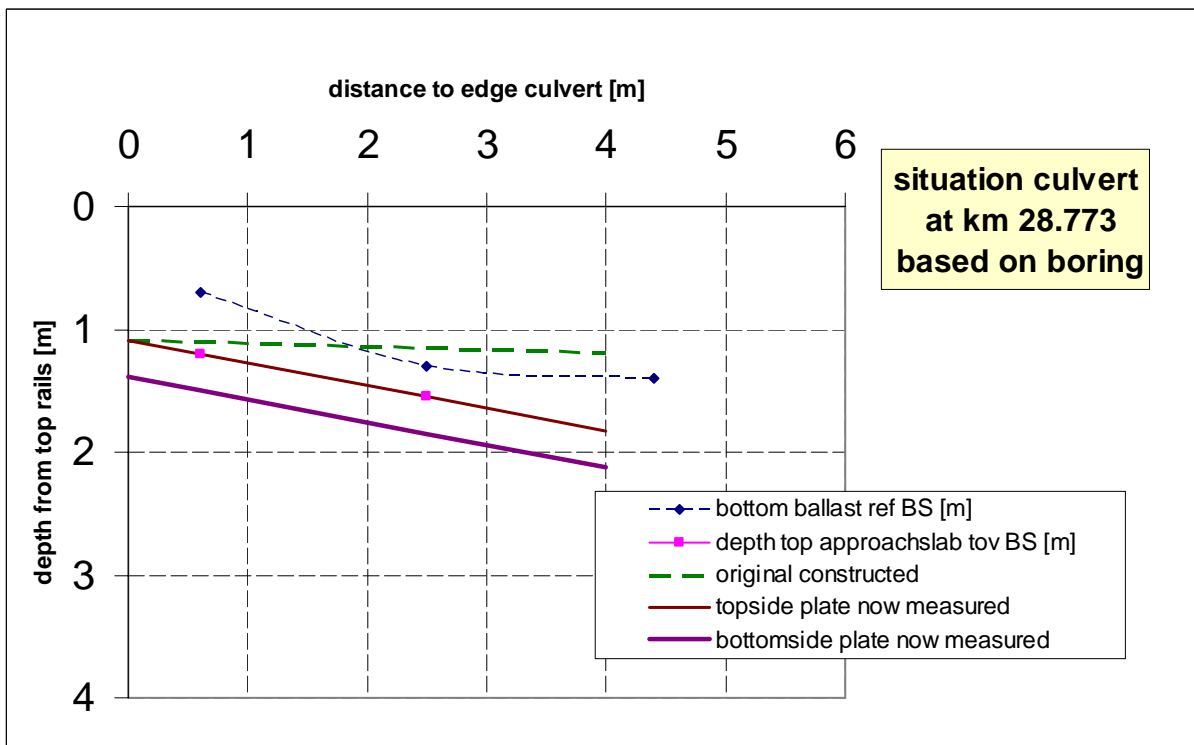


Figure 5.2 Comparison original level of the approach to current level

6 Ground penetrating radar

Geofox, see Appendix F, carried out the radar testing. Because this is in Dutch, an English summary of the report is given in this chapter.

6.1 Research properties, settings and reference data

The objective of the Ground Penetrating Radar (GPR) research is to determine the presence and location of the approach slabs. A secondary objective is to determine the thickness of the ballast. Given the large difference in material properties between ballast, concrete and foundation compared to the weak soil at the site, the GPR was expected to give clear results.

Item	Value [unit]
Research date	18/19-12-2007 , 22/23-01-2008
Researched track length	250 [m]
Antenna frequency	400 , 900 [MHz]
Radar type	GSSI SIR3000
Filtering	Hi pass , low pass
Measuring grid	Parallel lines
Type of radar vehicle	Hand operated trolley
Measurement speed	2-3 [km/h]
Data storage	Digital
Number of profiles	20

Table 6.1 Properties of GPR research

Antenna frequency	400 [MHz]	900 [MHz]
Measurement range	80 [ns]	40 [ns]
Samples per scan	512	512
Bits per scan	16	16
Measurements per meter profile line	100	100
High pass filter	295 [MHz]	295 [MHz]
Low pass filter	1930 [MHz]	1930 [MHz]

Table 6.2 GPR settings

The profiles 13 14 138 and 145 are 400 MHz Measurements. 15, 133, 134, 135, 136, 137, 139, 140, 141, 142, 143, 144, 146, 147, 148 and 149 are 900 MHz measurements.

For the time/depth conversion, the following table was used as provided by Deltaires, based on the findings from the visual inspection (chapter 5), and the width of the culvert of 2,4m.

Position (culvert centre) [m]	Bottom ballast (BS) [m]	Top approach slab (BS) [m]
-4.8	1.1	
-2.4	1	1.4
1.8	0.7	1.2
3.7	1.3	1.55
5.6	1.4	

Table 6.3 Reference data provided for GPR research

6.2 Research results

The radar profiles were visually inspected and, with the use of specialized software processed, filtered and translated to depth profiles. For the time/depth conversion of the measurements, the dielectrical value of the soil combined with data from the performed geotechnical research is estimated at 12. The reach in depth of the measurements is estimated at 3 m below surface level for the 400 MHz measurements, and 1.5 m below surface level for the 900 MHz measurements. The detailed profiles are added as appendix (*bijlage*) 2 in the Geofox report, which is Appendix F in this report. In the graphs, Z1 is the transition between ballast and embankment. Z2 is the transition between embankment and approach slab or culvert.

Figure (*figuur*) 1 in the Geofox report shows a radar profile for illustration purposes. The 400 MHz profile clearly shows the transition between ballast and approach slab. The top of the culvert (*bovenkant duiker*) and the approach slabs (*stootplaat*) are also clearly visible.

The measurements performed in between the rail and on the survey path along the track (140, 142 and 146) do not show a clear reflection of the approach slab. This is the same for measurement 148. The average thickness of the ballast is 40 cm with a clear increase of thickness on both sides of the culvert.

A Drawings of the culvert

Deze tekening is voorzien van een beperkende rechtenverklaring.
Wij wijzen erop dat de tekening alleen mits toestemming van de ontwerper en voor eigen gebruik mag worden gekopieerd of verstuurd.

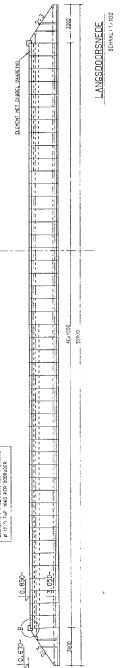
HOB RECHTE PASTELLE DILKER ZIE TOONING A VAN DE NS

DILKERT HOBBOEK SET L 876/18
F 17/17 FOR NSB AND NSNSC

S.C. 200-18



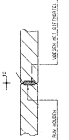
DETAIL A



HOOGAANZICHT
DETAIL 11/142



HOOGDETAIL TEK EN VLOER



HOOGDETAIL TEK EN VLOER

DEFINITIEF

KL	WEIDEN	SPANNEN	SLAAGEN	AANTAL	1	ENKE
S2	SPINDEN	LAATDRAAD-SLAGEN		1	ENKE	
S1	SPINDEN	LAATDRAAD-SLAGEN		1	ENKE	
S1	SPINDEN	KLEIN-SLAGEN		1	ENKE	
S1	SPINDEN	KLEIN-SLAGEN		1	ENKE	
S1	SPINDEN	KLEIN-SLAGEN		1	ENKE	
S1	SPINDEN	KLEIN-SLAGEN		1	ENKE	
S1	SPINDEN	KLEIN-SLAGEN		1	ENKE	
S1	SPINDEN	KLEIN-SLAGEN		1	ENKE	
S1	SPINDEN	KLEIN-SLAGEN		1	ENKE	
S1	SPINDEN	KLEIN-SLAGEN		1	ENKE	
S1	SPINDEN	KLEIN-SLAGEN		1	ENKE	



GVB

Vervoerbedrijf Groningen
Vlaardingen
Trotterweg 11
9743 BZ Groningen
Telefoon 050-555050
Telex 550106

Bureau Betonbouw
Denneweg 105 a/b
2626 JZ Delft
Telefoon 010-3562244
Telex 355346
Fax 010-250500

Romein Beton
Postbus 2002
NL-3570 HS Utrecht
Telefoon 030-5503666
Telex 355566
Fax 030-5500111

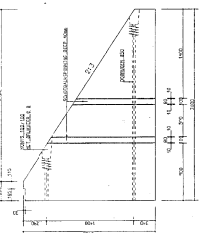
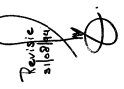
Amersfoort
IJsseldijk 16
3814 BR Amersfoort
Telefoon 033-4731000
Telex 355514

Duitse Dieren Markt 30
1300 AM Weesp
Telefoon 0294-370311
Telex 355529
Fax 0294-370311

HOOGDETAIL TEK EN VLOER

HOOGAANZICHT-TAAN
DETAIL 11/120

410/108/2873597/10



Ingenieursbureau Nederlandse Spoorwegen
Denneweg 105 a/b
2626 JZ Delft
Telefoon 010-3562244
Telex 355346
Fax 010-250500

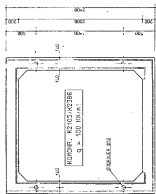
Bureau Betonbouw
Denneweg 105 a/b
2626 JZ Delft
Telefoon 010-3562244
Telex 355346
Fax 010-250500

GVB
Groninger Vervoerbedrijf
Trotterweg 11
9743 BZ Groningen
Telefoon 050-555050
Telex 550106
Fax 010-250500

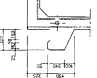
Romein Beton
Postbus 2002
NL-3570 HS Utrecht
Telefoon 030-5503666
Telex 355566
Fax 030-5500111

Amersfoort
IJsseldijk 16
3814 BR Amersfoort
Telefoon 033-4731000
Telex 355514

Duitse Dieren Markt 30
1300 AM Weesp
Telefoon 0294-370311
Telex 355529
Fax 0294-370311



DETAIL KONSOLES

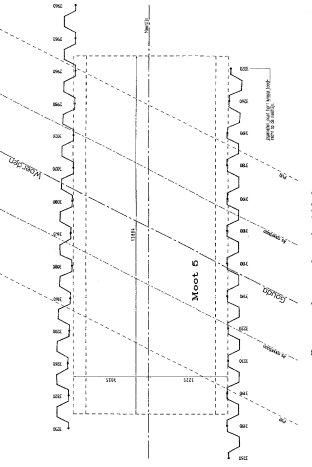


DOORSNEE

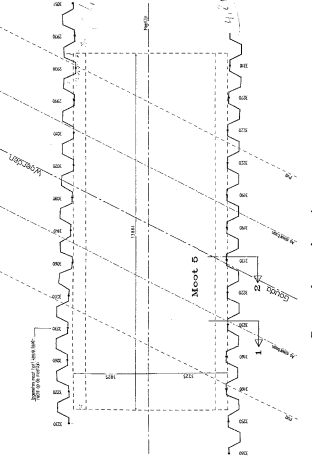


DOORSNEE

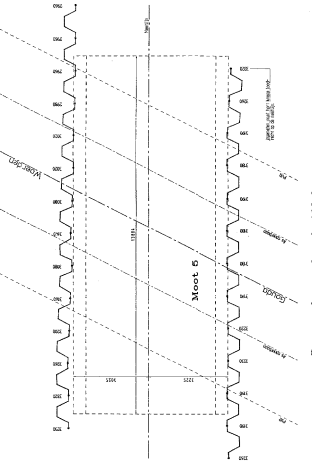
HOOGAANZICHT-TAAN
DETAIL 11/120



Doorsnede op vloerschotfundering.



Doorsnede op vloernivo.



Doorsnede op ok. schutfdek.

Revisie 31/8/94

* Alle maten in mm

Ingenieursbureau Nederlandse Spoorwegen
Bureau Betonbouw

Dienstweg 10 BX 12771 Heerenveen - 920-35 32.8. Nemer DK 0.2.27.

Itemnr. 02-246-86 992
Status: ZG Rekening
T.W. 3627/700/010

Project: Gouda - Gouda Dast 4. Rooding
Start: 02.03.94
End: 02.03.94

Klant: Revisie Samenvinden Maat 5
Locatie: NL

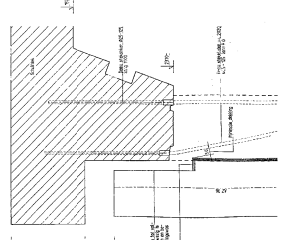
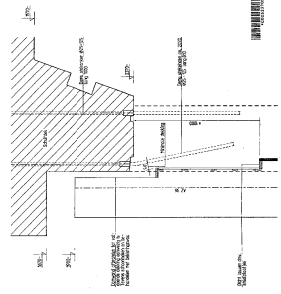
AANNEKENINGSWAATSCHAPPIJ HEGEMAN B.V.

E-mailadres: kroon@spoorwegen.nl - Internet: www.spoorwegen.nl

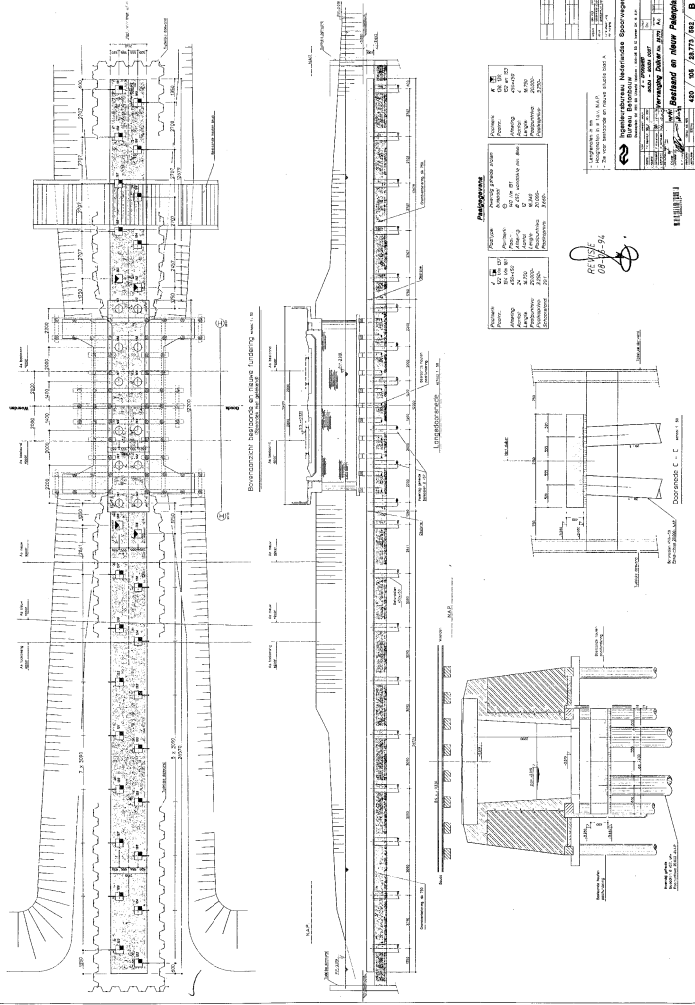


Doorsnede 2 / 420/005/18727/572/10

Doorsnede 1 / 10



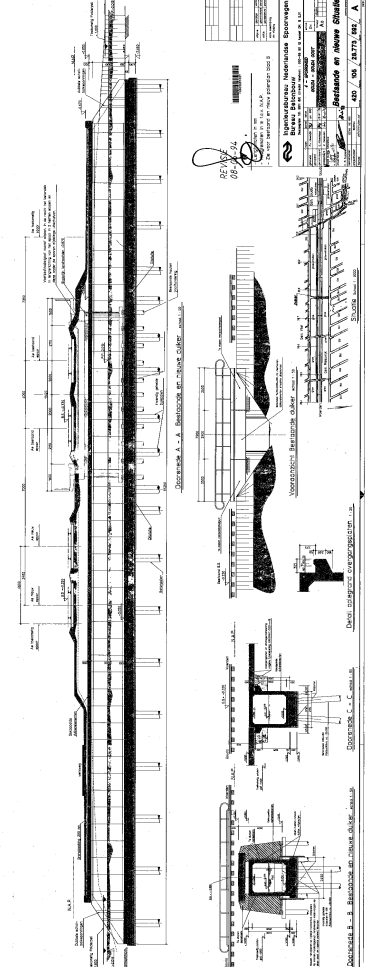
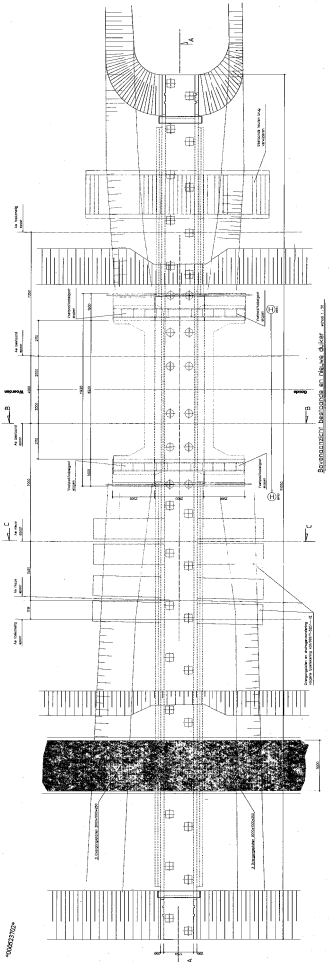
Uitvoeringsdocumentnummer:



A

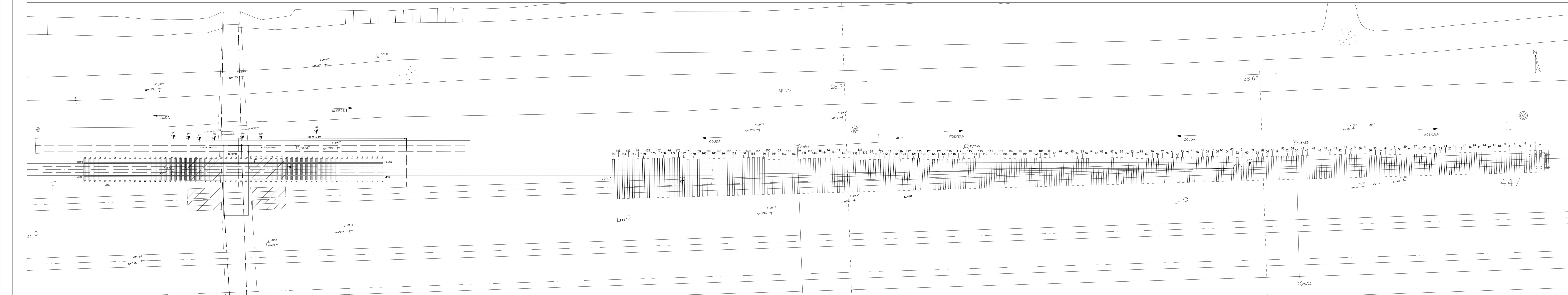
Düker

0000023702

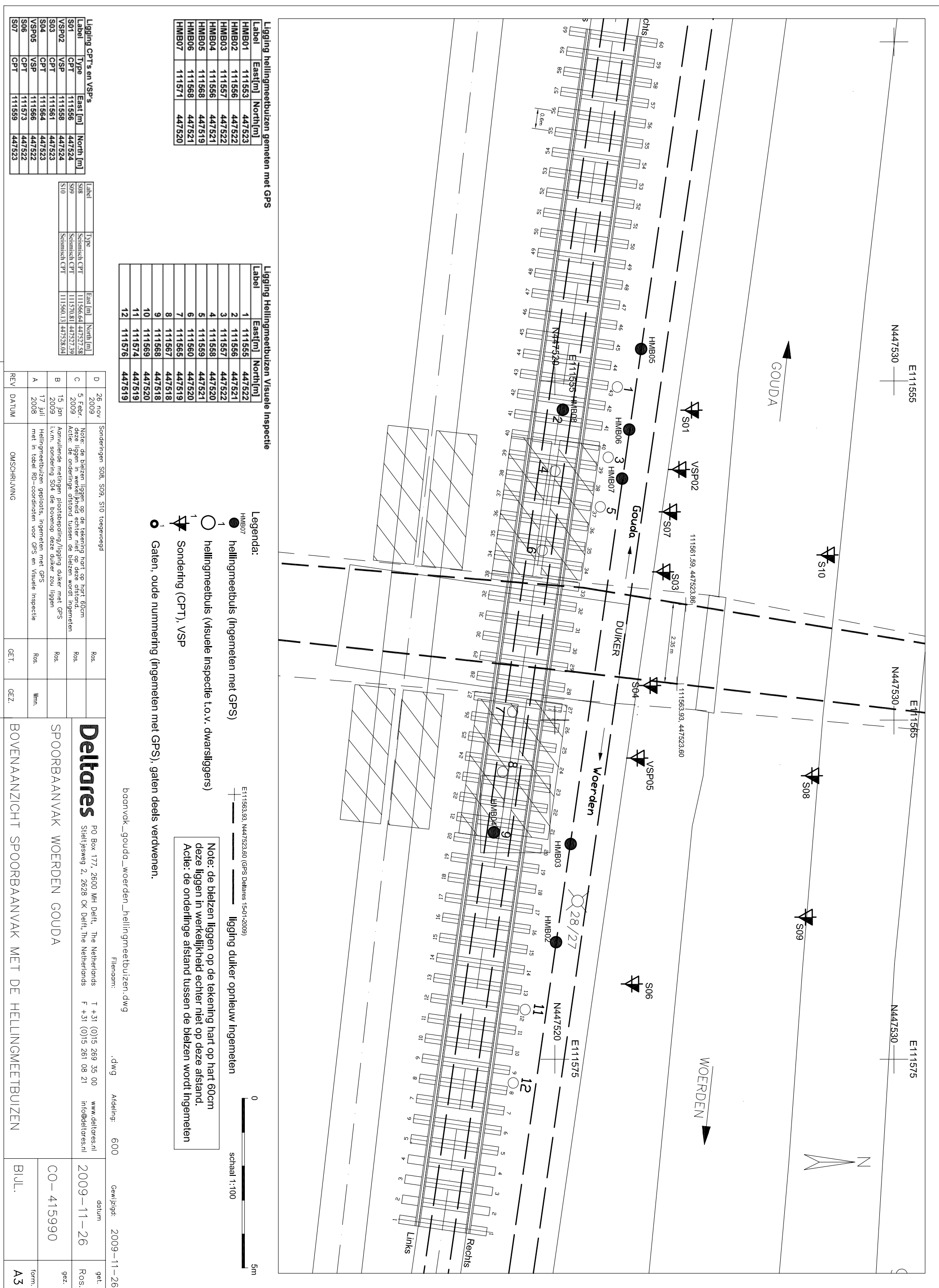


B Drawing of the switch

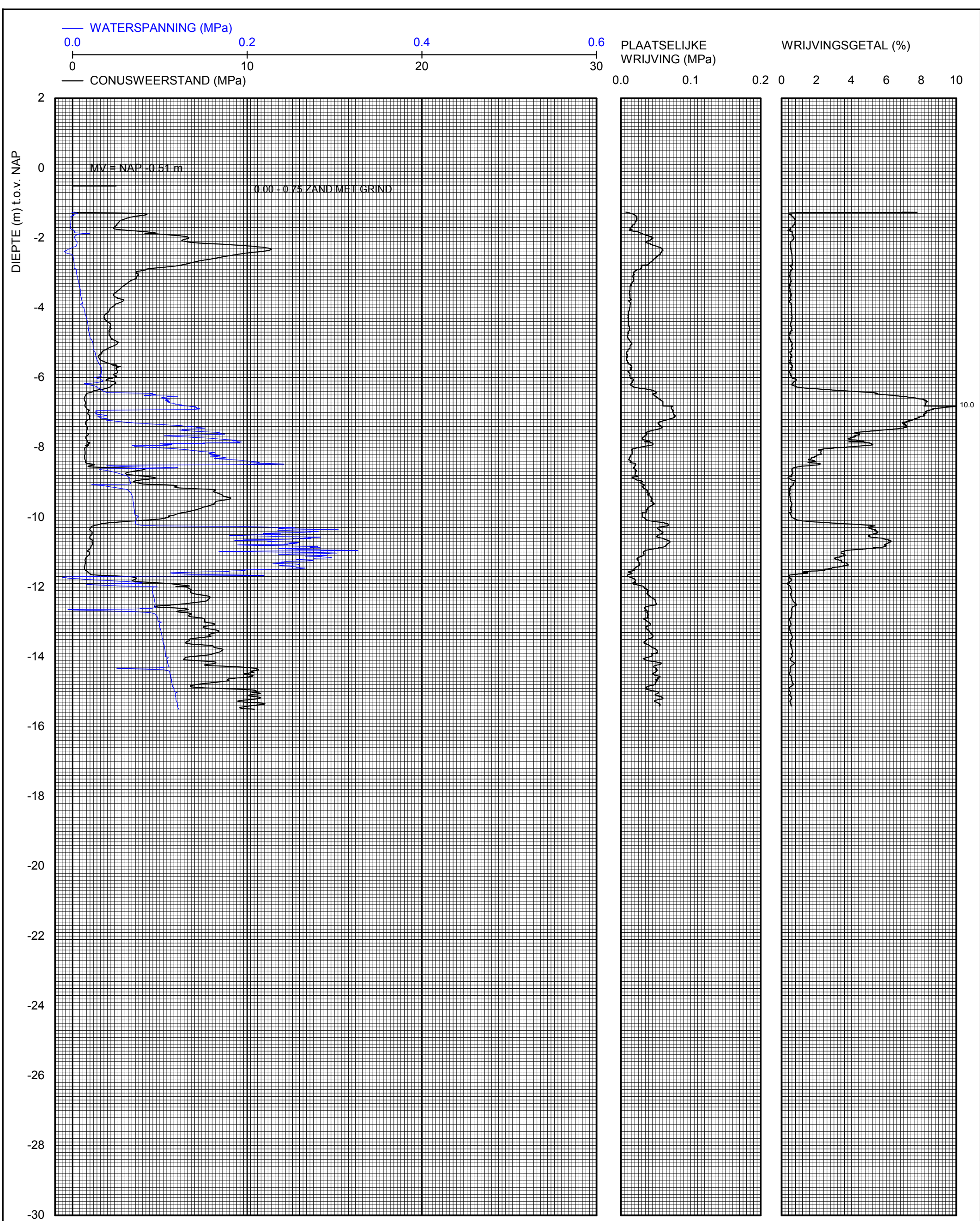
C Location of CPT's and VSPT's



Schaal 1:150



D CPT results



Stieljesweg 2
2628 CK Delft

Telefoon +31-15-2693500
Telefax +31-15-2610821

datum
2008-02-07

get.
Lws

Piezosondering uitgevoerd volgens NEN5140 klasse 2
Conus nr. CKR10/1-296, voorzien van elektrische opnemers voor
conusweerstand, plaatselijke wrijving, waterspanning en conushelling.

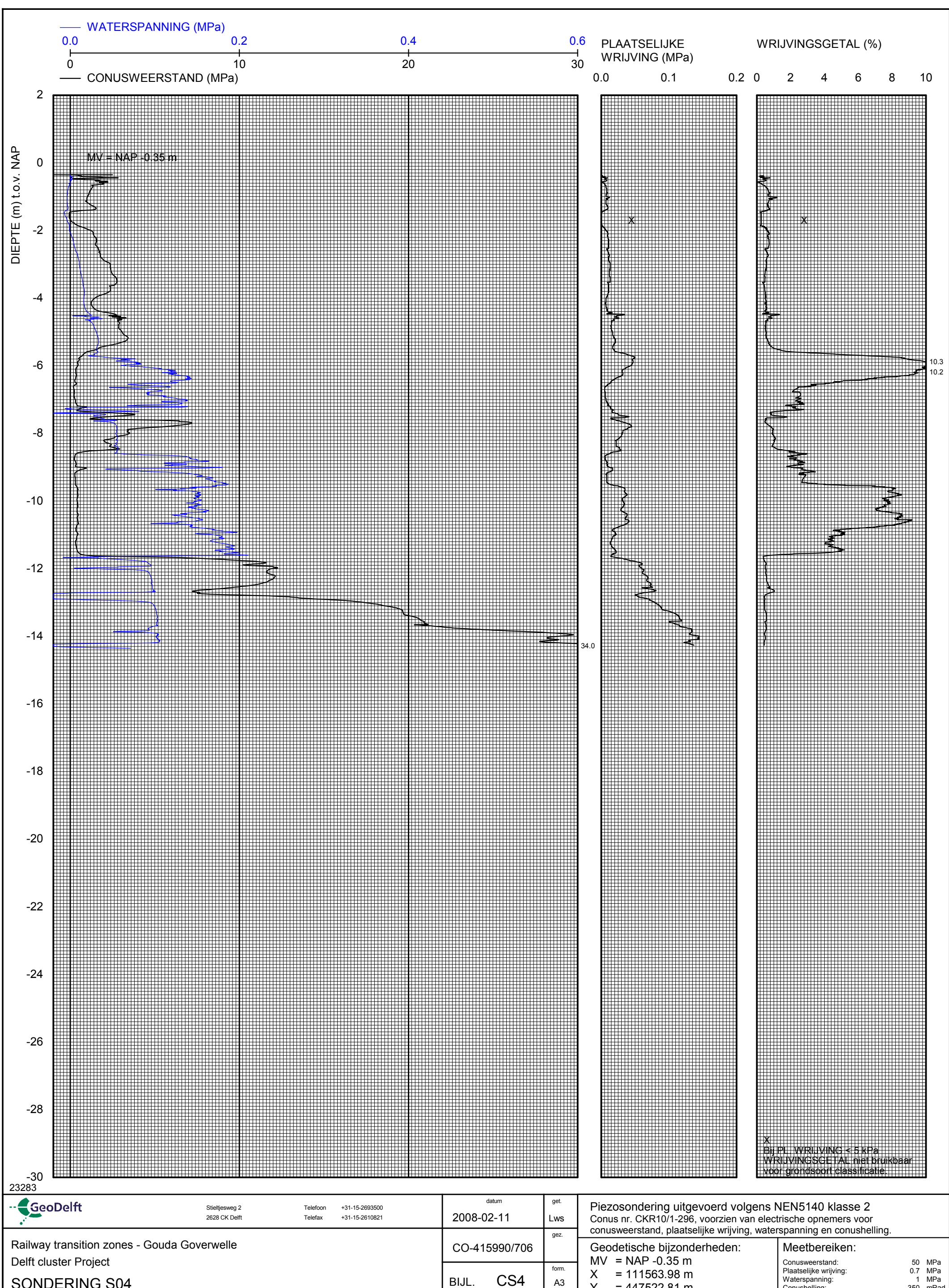
Railway transition zones - Gouda Goverwelle
Delft cluster Project
SONDERING S01

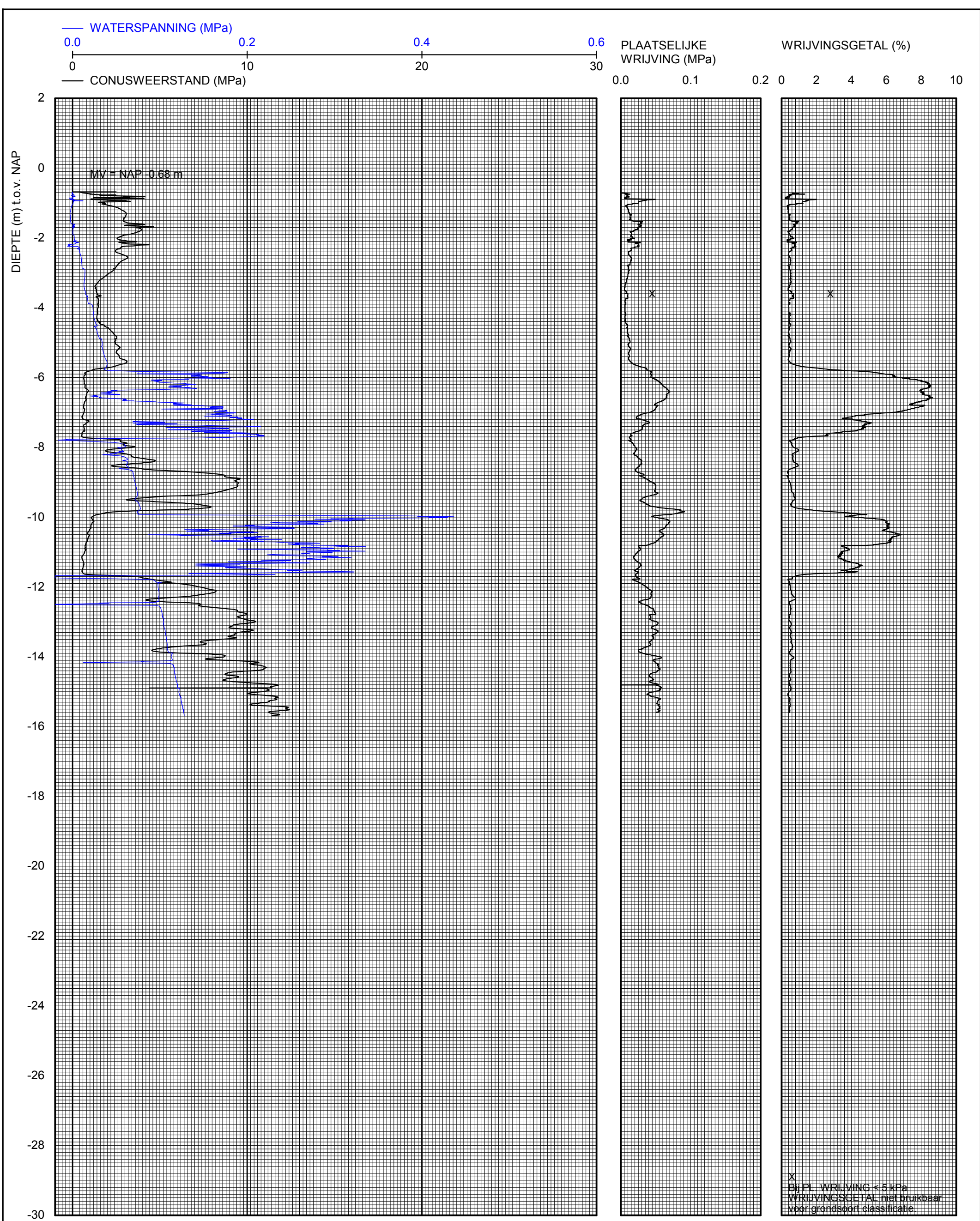
CO-415990/706
BIJL. CS1
form. A3

Geodetische bijzonderheden:
MV = NAP -0.51 m
X = 111555.86 m
Y = 447524.03 m

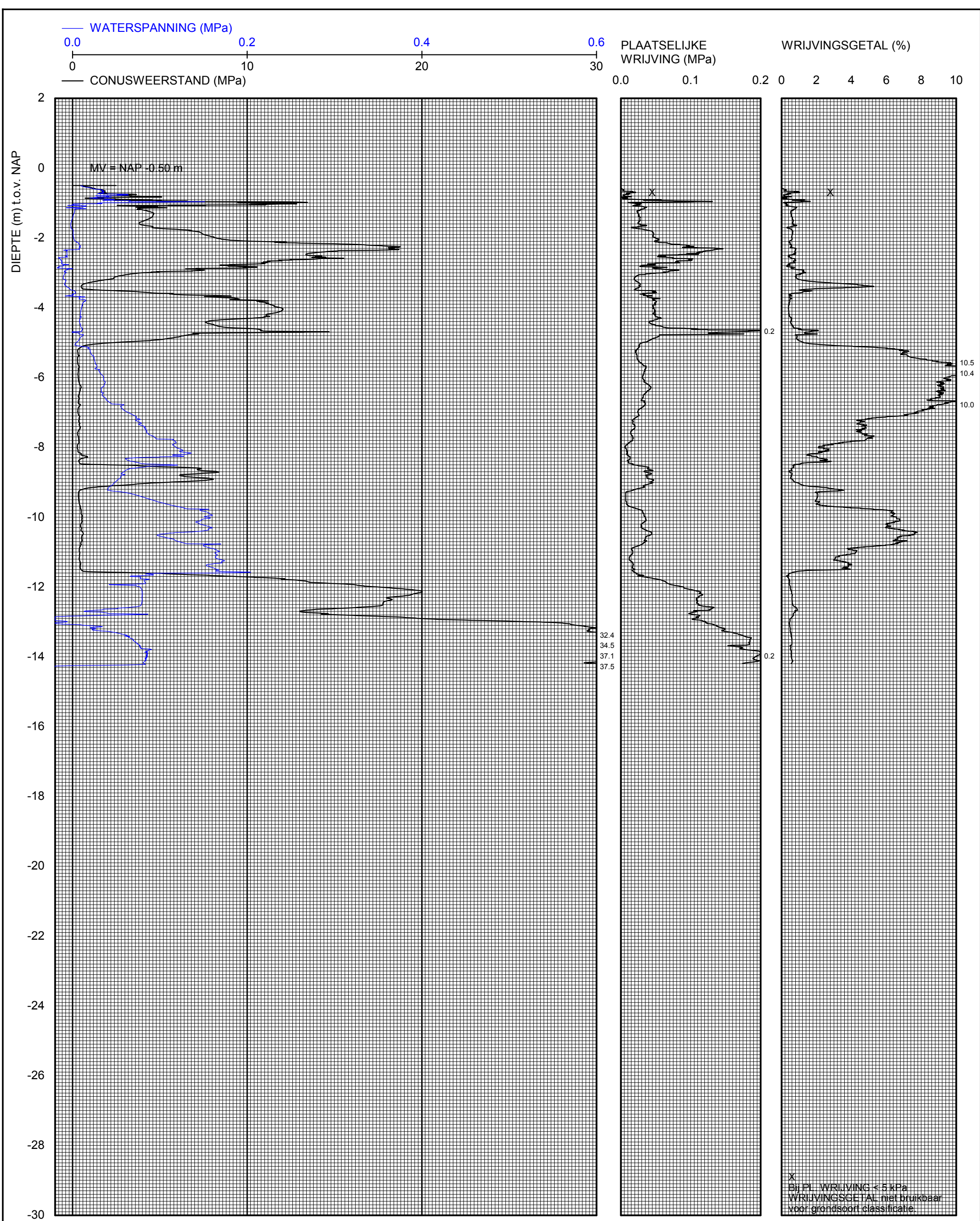
Meetbereiken:

Conusweerstand:	50 MPa
Plaatselijke wrijving:	0.7 MPa
Waterspanning:	1 MPa
Conushelling:	350 mRad

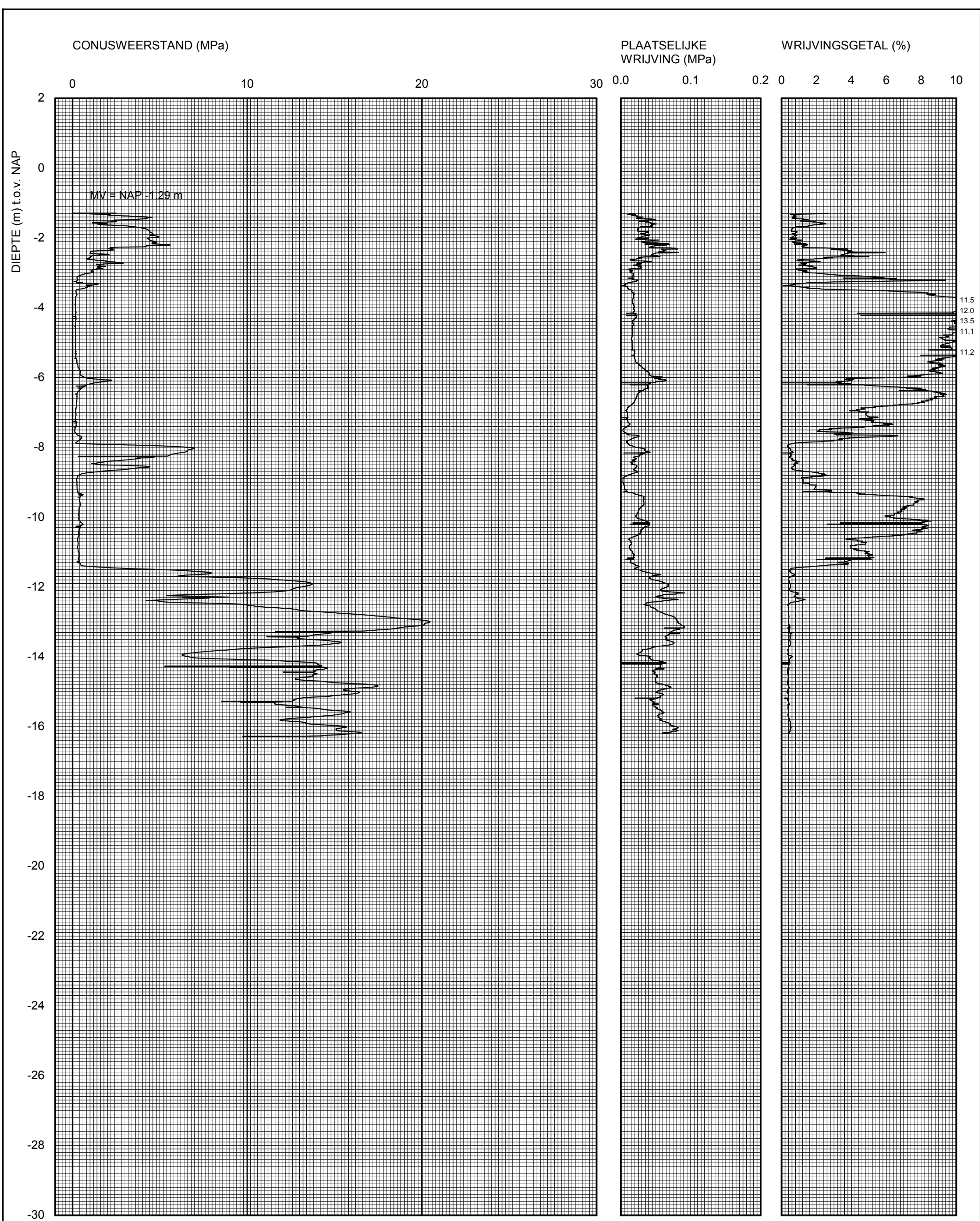




 GeoDelft	Stieljesweg 2 2628 CK Delft	Telefoon +31-15-2693500 Telefax +31-15-2610821	datum 2008-02-11	get. Lws	Piezosondering uitgevoerd volgens NEN5140 klasse 2 Conus nr. CKR10/1-296, voorzien van elektrische opnemers voor conusweerstand, plaatselijke wrijving, waterspanning en conushelling.
Railway transition zones - Gouda Goverwelle Delft cluster Project SONDERING S06			CO-415990/706	gez.	Geodetische bijzonderheden: MV = NAP -0.68 m X = 111572.98 m Y = 447522.27 m
BIJL. CS6			form. A3	Meetbereiken: Conusweerstand: 50 MPa Plaatselijke wrijving: 0.7 MPa Waterspanning: 1 MPa Conushelling: 350 mRad	

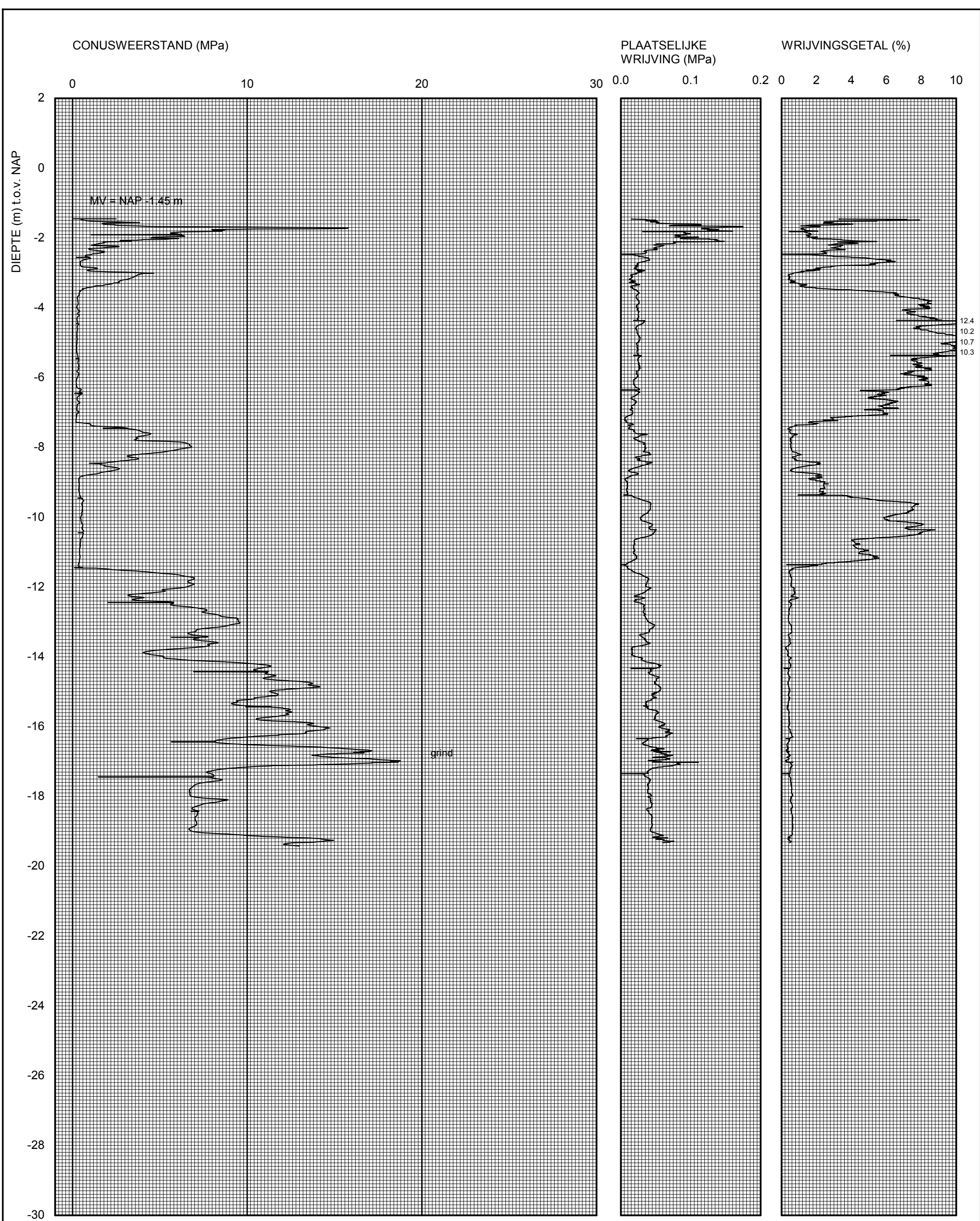


	Stieljesweg 2 2628 CK Delft	Telefoon +31-15-2693500 Telefax +31-15-2610821	datum 2008-02-11	get. Lws	Piezosondering uitgevoerd volgens NEN5140 klasse 2 Conus nr. CKR10/1-296, voorzien van elektrische opnemers voor conusweerstand, plaatselijke wrijving, waterspanning en conushelling.
Railway transition zones - Gouda Goverwelle Delft cluster Project SONDERING S07			CO-415990/706	gez.	Geodetische bijzonderheden: MV = NAP -0.50 m X = 111558.86 m Y = 447523.39 m
BIJL. CS7		form. A3	Meetbereiken: Conusweerstand: 50 MPa Plaatselijke wrijving: 0.7 MPa Waterspanning: 1 MPa Conushelling: 350 mRad		

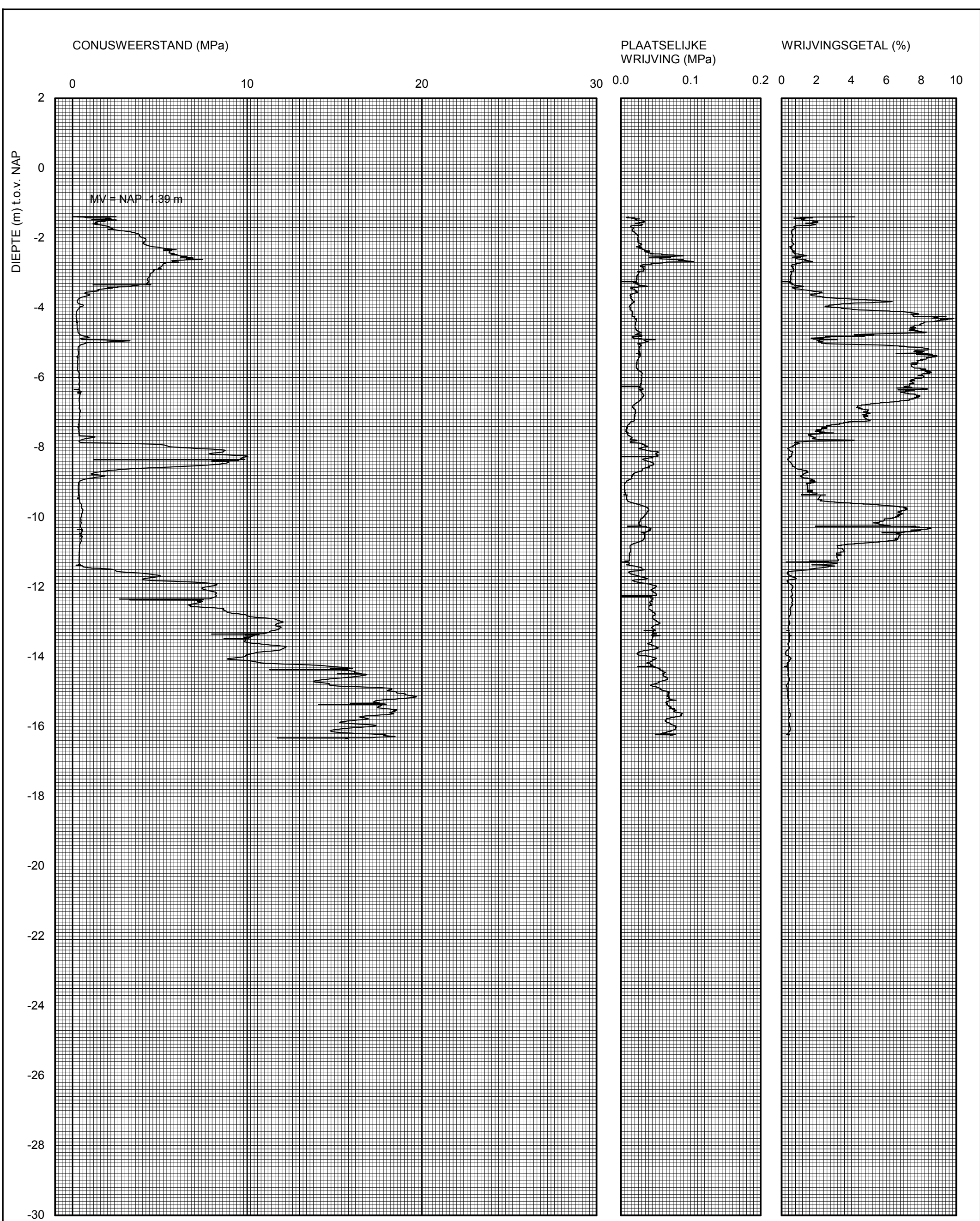


Deltas	Deltas	Steltjesweg 2 2628 CK Delft	Telefoon +31-15-2693500 Telefax +31-15-2610821	datum 2009-03-25	get. Lws	Elektrische sondering uitgevoerd volgens NEN5140 klasse 2 Conus nr. CKR10/1-021109s, voorzien van elektrische opnemers voor conusweerstand, plaatselijke wrijving en conushelling.	
Railway transition zones - Gouda Goverwelle Delft cluster Project SONDERING S08 (Seismisch)				.-1001069/010	gez.	Geodetische bijzonderheden: MV = NAP -1.29 m X = 111566.64 m Y = 447527.58 m	
				BIJL. CS8S	form. A3	Meetbereiken: Conusweerstand: 50 MPa Plaatselijke wrijving: 0.7 MPa Waterspanning: 1 MPa Conushelling: 350 mRad	

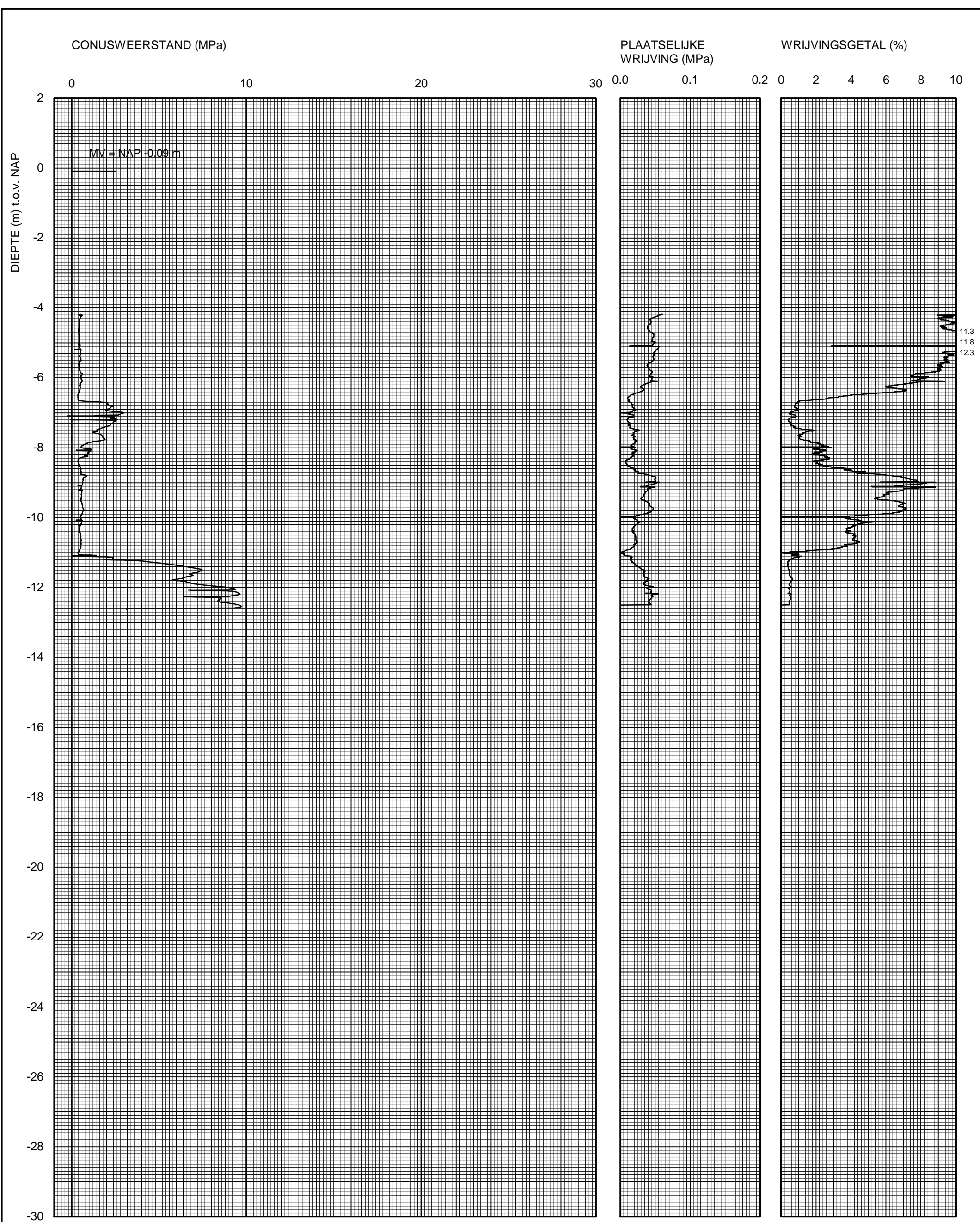
*) Vrijgegeven door Vin op 2009-03-30 16:31



Deltas	Deltas	Steltjesweg 2 2628 CK Delft	Telefoon +31-15-2693500 Telefax +31-15-2610821	datum 2009-03-25	get. Lws	Elektrische sondering uitgevoerd volgens NEN5140 klasse 2 Conus nr. CKR10/1-021109s, voorzien van elektrische opnemers voor conusweerstand, plaatselijke wrijving en conushelling.
Railway transition zones - Gouda Goverwelle Delft cluster Project SONDERING S09 (Seismisch)				.-1001069/010	gez.	Geodetische bijzonderheden: MV = NAP -1.45 m X = 111570.81 m Y = 447527.39 m
				BIJL. CS9S	form. A3	Meetbereiken: Conusweerstand: 50 MPa Plaatselijke wrijving: 0.7 MPa Waterspanning: 1 MPa Conushelling: 350 mRad



Deltas	Deltas	Steltjesweg 2 2628 CK Delft	Telefoon +31-15-2693500 Telefax +31-15-2610821	datum 2009-03-25	get. Lws	Elektrische sondering uitgevoerd volgens NEN5140 klasse 2 Conus nr. CKR10/1-021109s, voorzien van elektrische opnemers voor conusweerstand, plaatselijke wrijving en conushelling.
Railway transition zones - Gouda Goverwelle Delft cluster Project SONDERING S10 (Seismisch)				.-1001069/010	gez.	Geodetische bijzonderheden: MV = NAP -1.39 m X = 111560.13 m Y = 447528.04 m
				BIJL. CS10S	form. A3	Meetbereiken: Conusweerstand: 50 MPa Plaatselijke wrijving: 0.7 MPa Waterspanning: 1 MPa Conushelling: 350 mRad



Deltares

Stieltjesweg 2
2628 CK Delft

Telefoon +31-15-2693500
Telefax +31-15-2610821

datum
2009-04-28

get.
Lws

Elektrische sondering uitgevoerd volgens NEN5140 klasse 2
Conus nr. CKR??/1-021109s, voorzien van elektrische opnemers voor
conusweerstand, plaatselijke wrijving en conushelling.

Railway transition zones - Gouda Goverwelle

Delft cluster Project

SONDERING S13 (Seismisch)

.-1001069/010

gez.

BIJL. CS13S

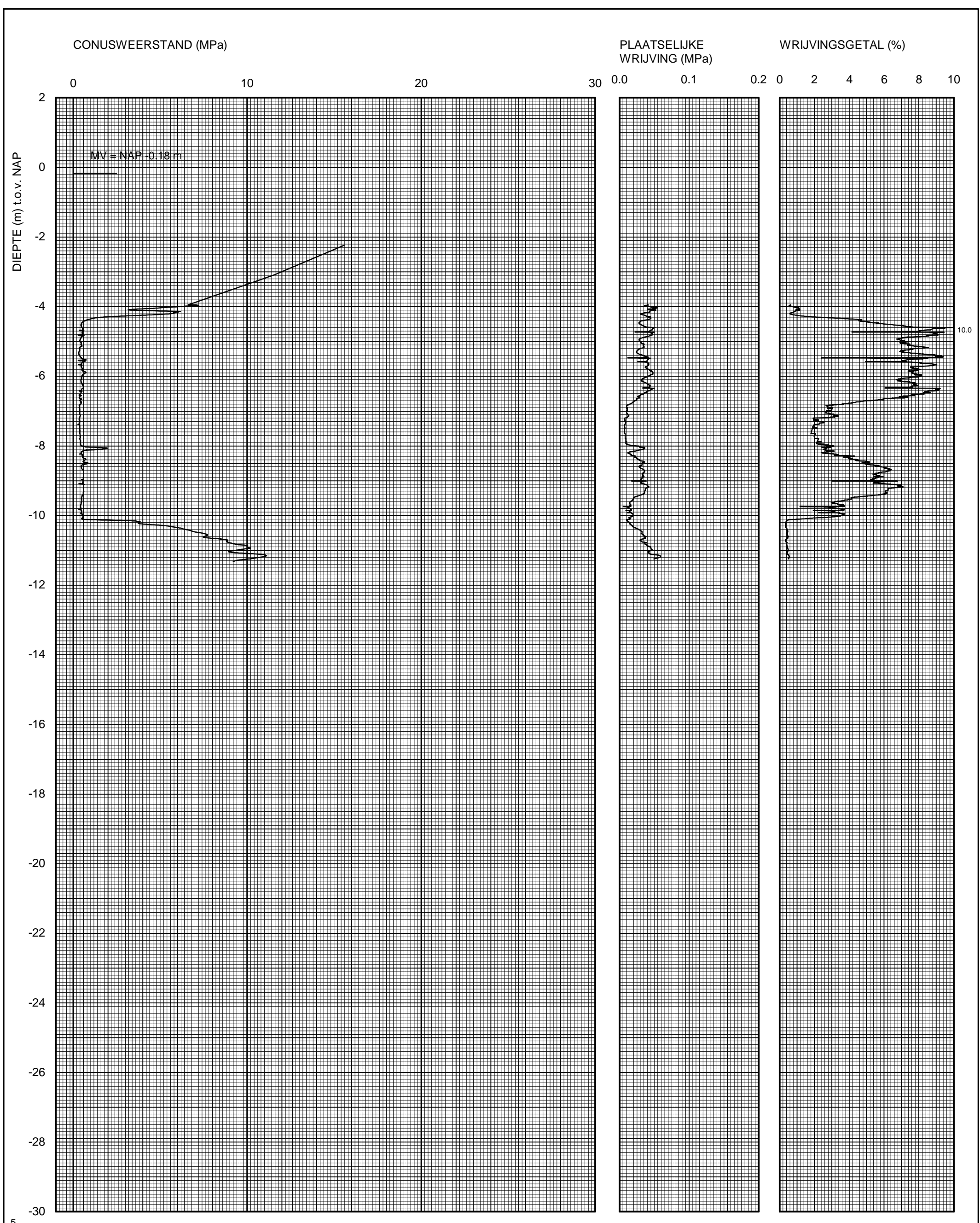
form.
A3

Geodetische bijzonderheden:

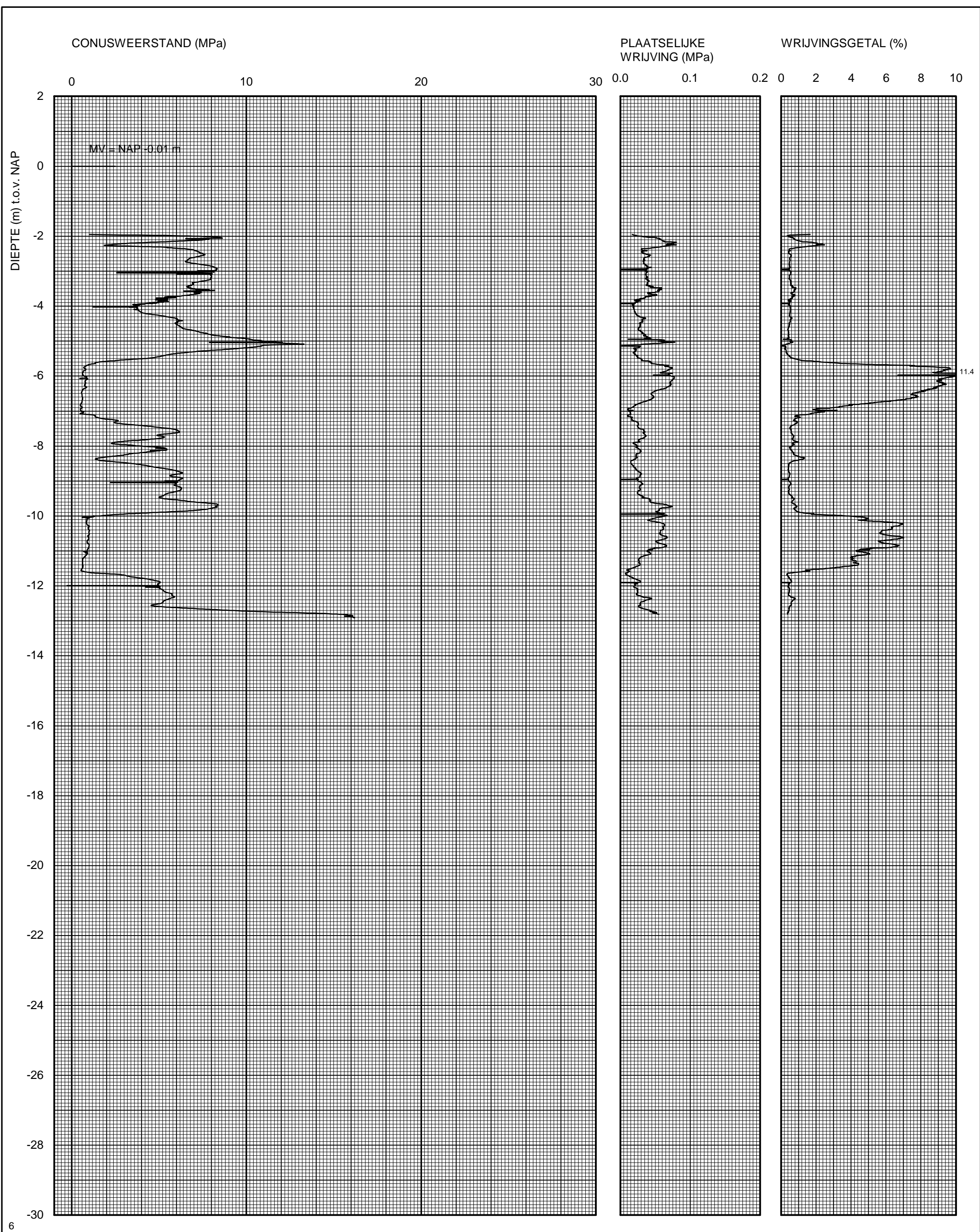
MV = NAP -0.09 m
X = 111615.00 m
Y = 447510.09 m

Meetbereiken:

Conusweerstand: 50 MPa
Plaatselijke wrijving: 0.7 MPa
Waterspanning: 1 MPa
Conushelling: 350 mRad



Deltares	Stieljesweg 2 2628 CK Delft	Telefoon +31-15-2693500 Telefax +31-15-2610821	datum 2009-04-28	get. Lws	Elektrische sondering uitgevoerd volgens NEN5140 klasse 2 Conus nr. CKR??/1-021109s, voorzien van elektrische opnemers voor conusweerstand, plaatselijke wrijving en conusheiling.
Railway transition zones - Gouda Goverwelle Delft cluster Project			.-1001069/010	gez.	Geodetische bijzonderheden: MV = NAP -0.18 m X = 111682.11 m
SONDERING S14 (Seismisch)		BUL CS14S	A3	form.	Meetbereiken: Conusweerstand: 50 MPa Plaatselijke wrijving: 0.7 MPa Waterspanning: 1 MPa



Deltares	Stieltjesweg 2 2628 CK Delft	Telefoon +31-15-2693500 Telefax +31-15-2610821	datum 2009-04-29	get. Lws	Elektrische sondering uitgevoerd volgens NEN5140 klasse 2 Conus nr. CKR??/1-021109s, voorzien van elektrische opnemers voor conusweerstand, plaatselijke wrijving en conushelling.
Railway transition zones - Gouda Goverwelle Delft cluster Project SONDERING S15 (Seismisch)			.-1001069/010	gez.	Geodetische bijzonderheden: MV = NAP -0.01 m X = 111569.01 m Y = 447518.43 m
BIJL. CS15S		form. A3	Meetbereiken:		
			Conusweerstand: 50 MPa Plaatselijke wrijving: 0.7 MPa Waterspanning: 1 MPa Conushelling: 350 mRad		

E VSPT results

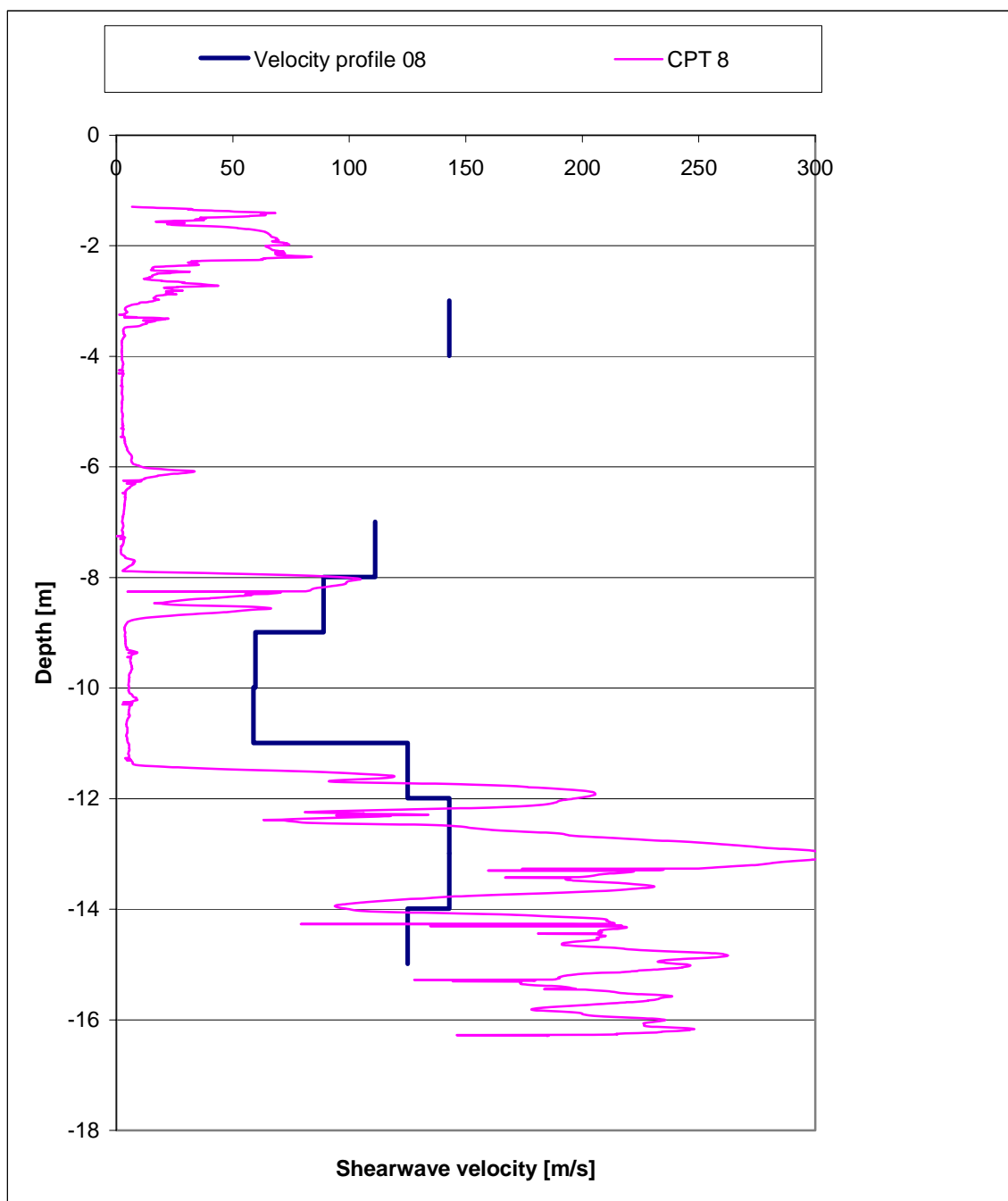


Figure E.1

S08 shearwave VSPT results

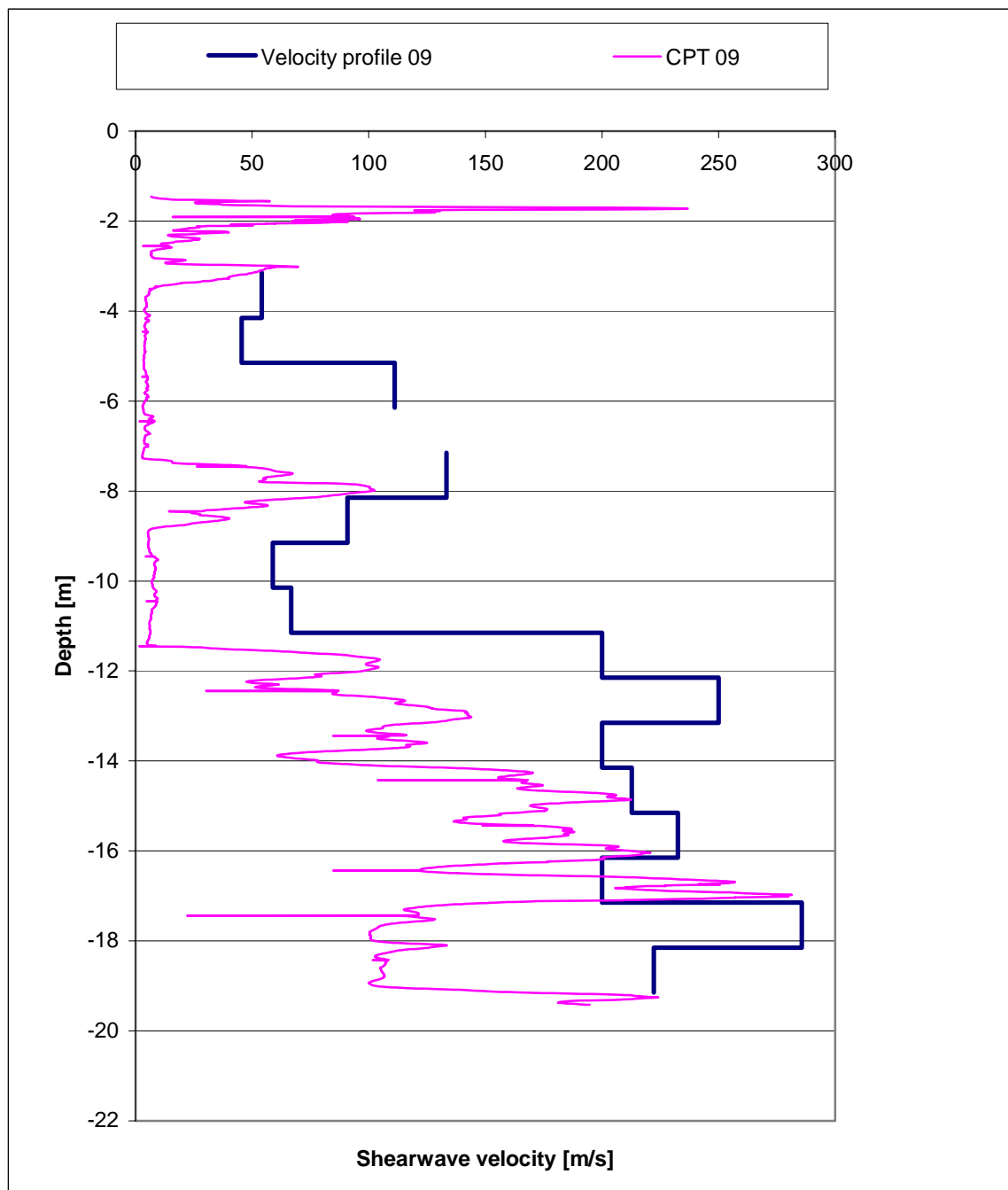


Figure E.2 S09 shearwave VSPT results

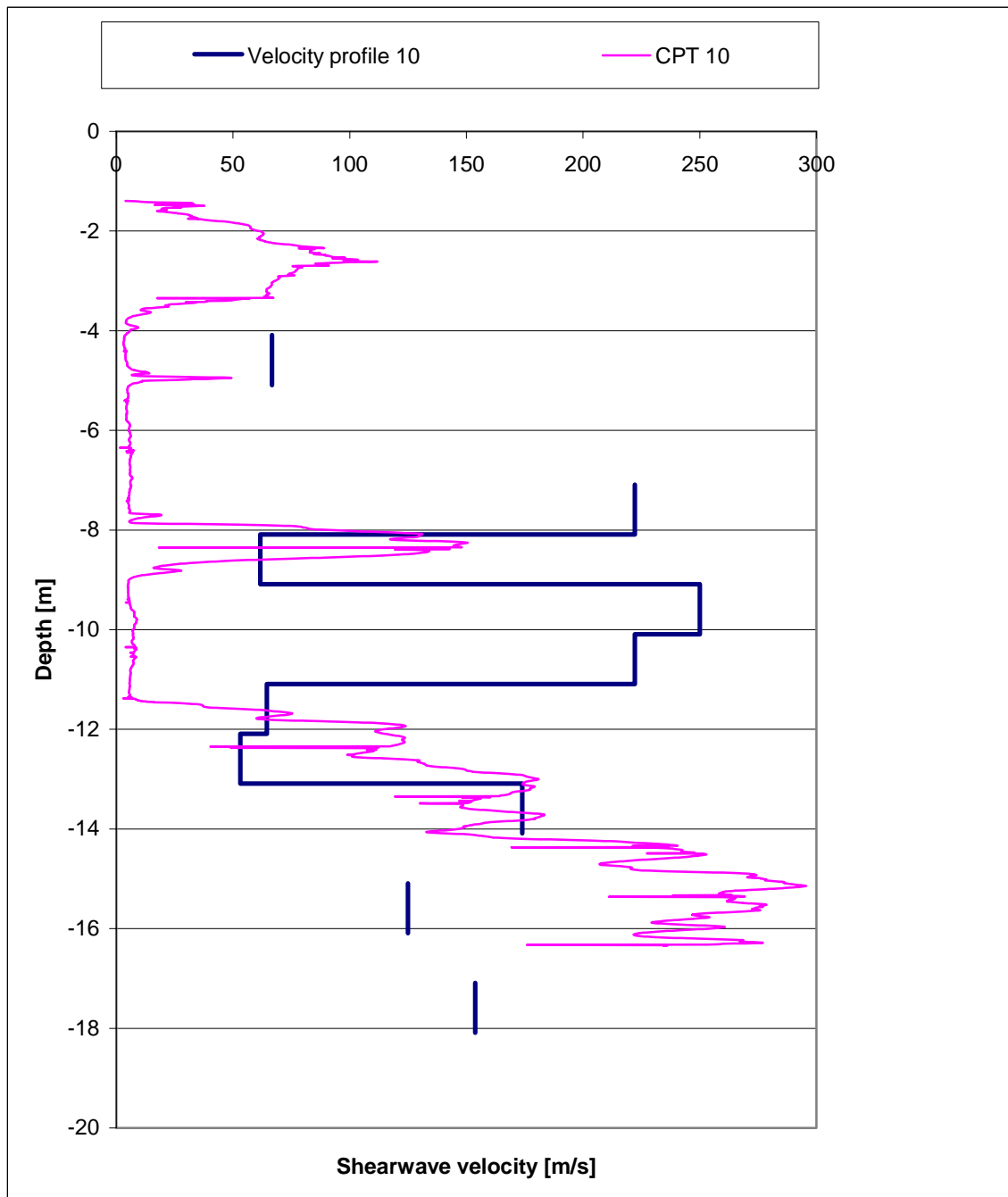


Figure E.3 S10 shearwave VSPT results

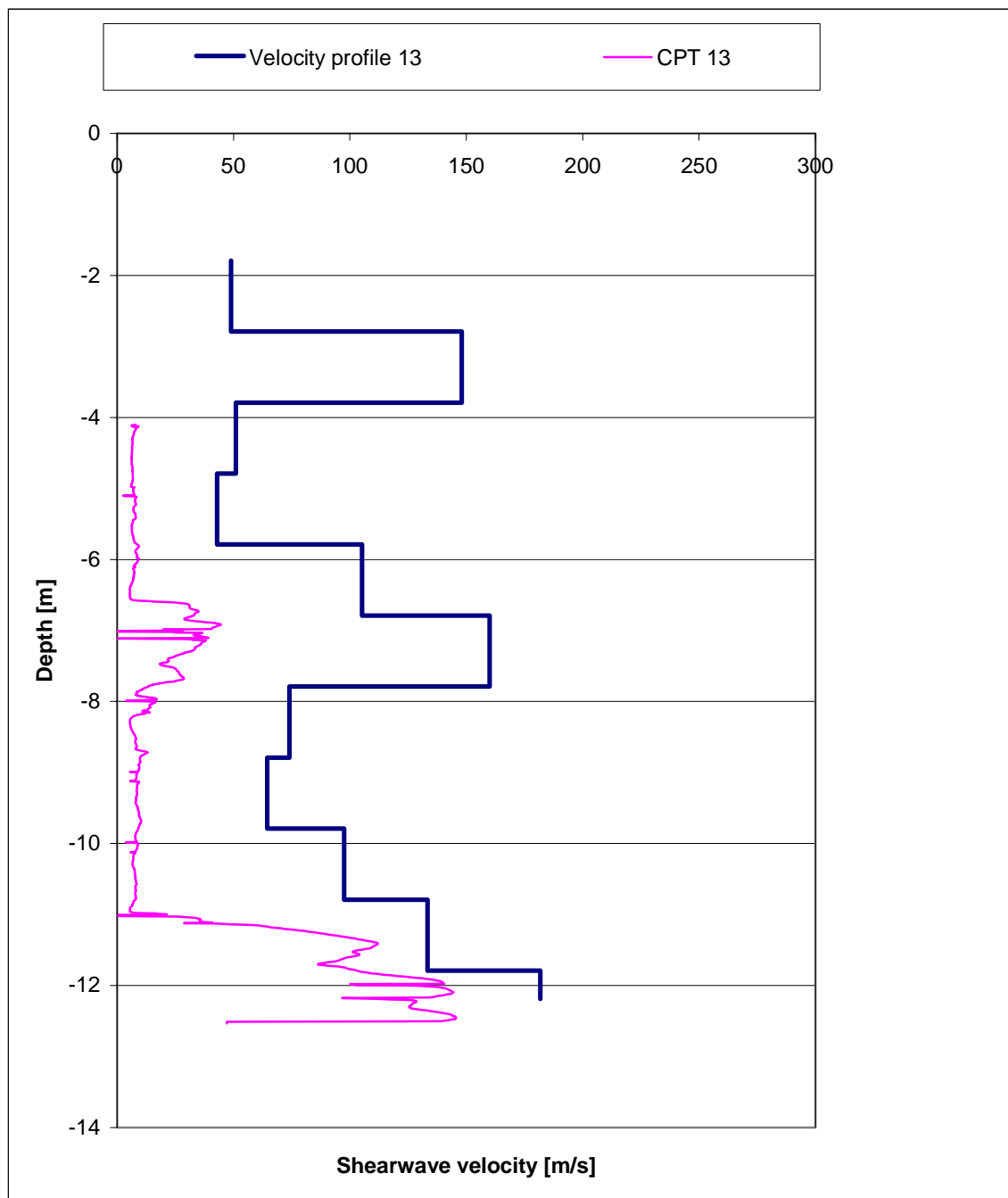


Figure E.4 S-S13 shearwave VSPT results

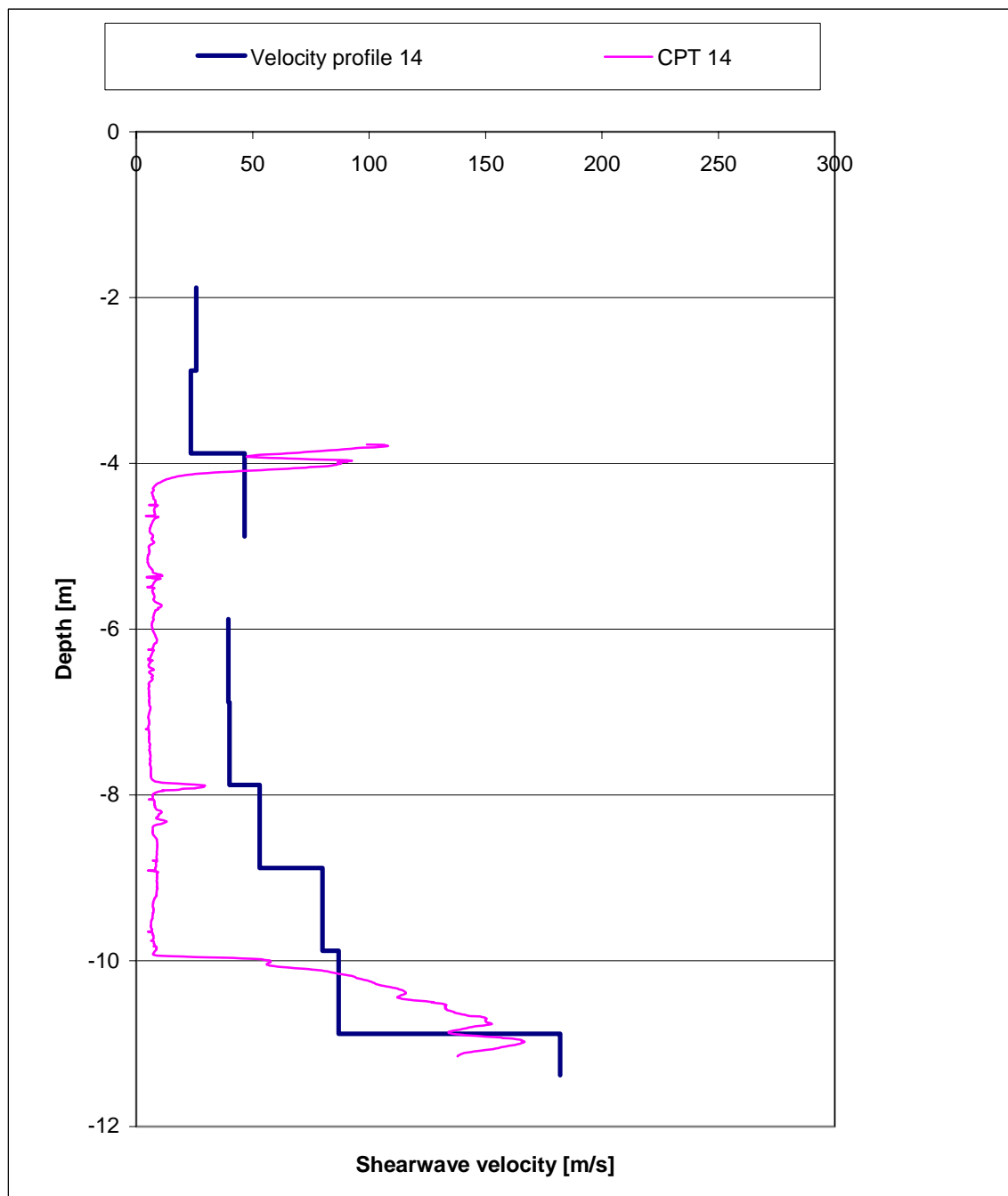


Figure E.5

S-S14 VSPT results

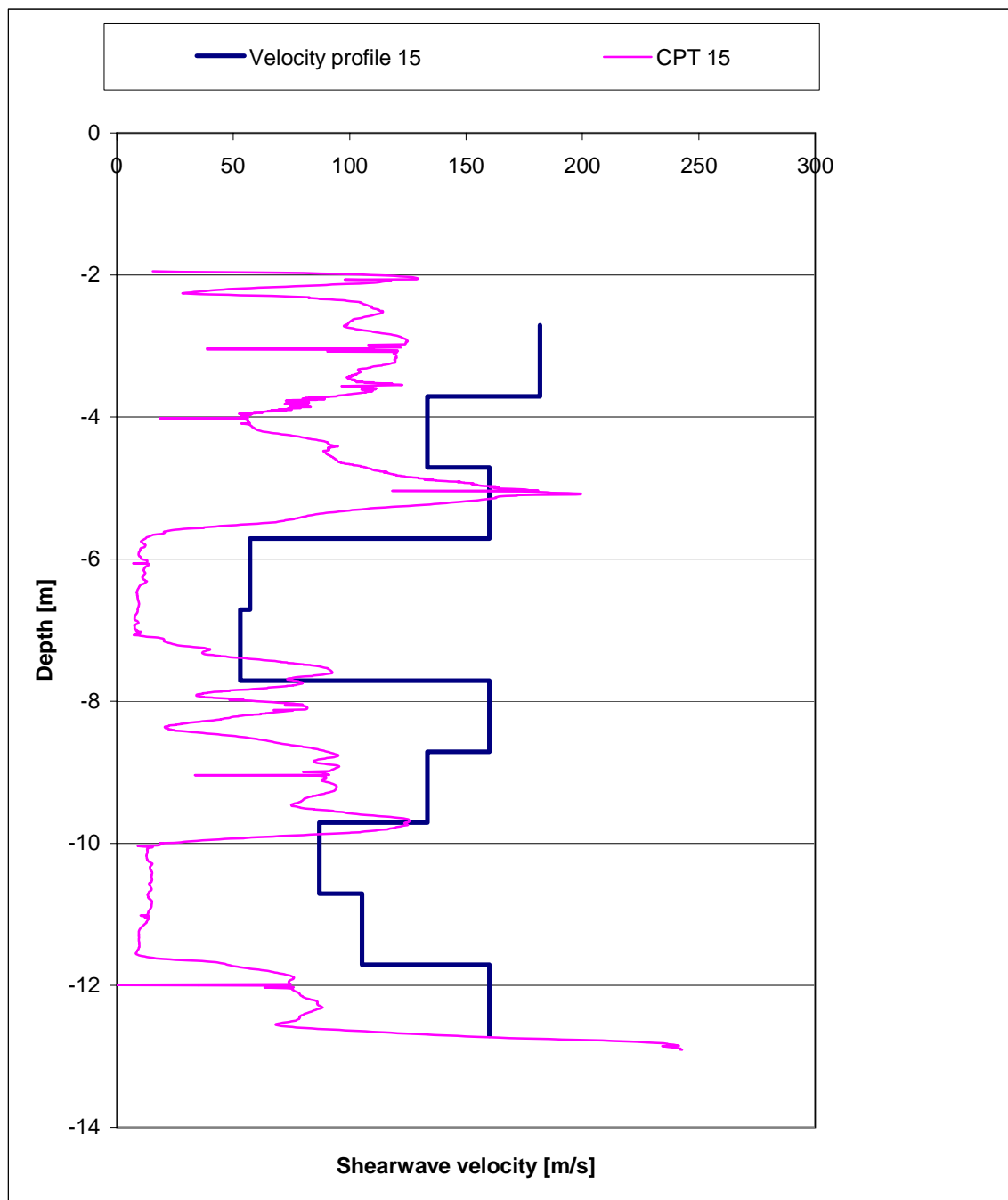


Figure E.6

C-S15 VSPT results

F Ground penetrating radar report



M. 12097
15-4-08
Q

Geofox-Lexmond bv

Deltas
Geo-engineering
De heer V. Hopman
Postbus 69
2600 AB DELFT

NET Post
3SPZ84 AVP
622751 Pakketservice

Ektestraat 10-12
Postbus 221
7570 AE Oldenzaal
T (0541) 58 55 44
F (0541) 52 29 35

www.geofox-lexmond.nl
info@geofox-lexmond.nl

Overige vestigingen:
Bodegraven en Tilburg

KvK Enschede nr. 06056452

Uw kenmerk:

Ons kenmerk: 20072673_a2RAP

Oldenzaal, 15 april 2008

Onderwerp: aangepast rapport grondradaronderzoek
Locatie: Goverwelle te Gouda
Projectnummer: 20072673/MPIE
Behandeld door: de heer ing. M. Pieters

Geachte heer Hopman,

Hierbij ontvangt u de aangepaste rapportage van het grondradaronderzoek, dat is verricht op de locatie Goverwelle te Gouda.

Het rapport is onder kwaliteitsborging en met zorg tot stand gekomen. Mocht u naar aanleiding van dit rapport nog vragen/opmerkingen hebben, dan kunt u altijd contact opnemen ondergetekende (bereikbaar op tel. 0541 – 58 55 44).

Wij vertrouwen erop u hiermee van dienst te zijn geweest.

Hoogachtend,

Geofox Lexmond bv
ing. M. Pieters
projectcoördinator

Bijlagen:

- rapportage grondradaronderzoek 20072673/MPIE (drievoud)
- CD digitale gegevens radarmetingen 20072673/MPIE (enkelvoud)

Grondradaronderzoek

t.b.v. bepaling ligging stootplaten

Goverwelle te Gouda

Opdrachtgever
Deltas
de heer V. Hopman
Postbus 69
2600 AB DELFT

Adviesbureau
Geodox-Lexmond bv
Eektestraat 10-12
Postbus 221
7570 AE OLDENZAAL
Tel. 0541 - 585544
Fax 0541 - 522935

Status
versie 1
Datum
14 april 2008
Projectnummer
20072673/MPIE

Auteur
de heer T. Leverink

Paraaf:

Controle / vrijgave
de heer M. Pieters

Paraaf:



Inhoudsopgave

1	Inleiding	1
2	Werkzaamheden	2
2.1	Radaronderzoek	2
2.2	Referentie gegevens	3
3	Interpretatie en resultaten	4
4	Conclusies	5

Bijlagen

1	Situatietekeningen
1.1	Regionale ligging locatie
1.2	Situering meetlijnen
1.3	Situering meetlijnen (detail)
2	Uitwerking radarprofielen
3	Beschrijving grondradartechniek

1 Inleiding

In opdracht van Deltares heeft Geofox-Lexmond bv een grondradaronderzoek uitgevoerd op de locatie Goverwelle te Gouda.

De aanleiding tot het onderhavige grondradaronderzoek is de wens van de opdrachtgever om de aanwezigheid en ligging van de stootplaten nabij een duiker vast te stellen. Nevendoel is het bepalen van de dikte van het ballastbed ter plaatse.

De locatie betreft een traject van de spoorlijn Gouda - Woerden met een lengte van circa 250 meter. Ter plaatse van het traject is een duiker aanwezig welke om reden van stabiliteit aan beide kanten is voorzien van stootplaten. De aanwezige stootplaten hebben als functie het verdelen van de krachten die worden uitgeoefend door het treinverkeer dat gebruik maakt van het daarop liggende spoor.

Met behulp van grondradar kunnen overgangen in de opbouw van de spoorbaan en de ligging van objecten worden waargenomen. Omdat de materiaaleigenschappen ballast, fundatie en beton sterk verschillen van de onderliggende bodem, veroorzaken deze tijdens de metingen een duidelijk beeld in de radardata.

Aan de orde komen: de onderzoeksopzet, de veldwerkzaamheden, de processing en de interpretatie van de verzamelde gegevens en de conclusies.

2 Werkzaamheden

2.1 Radaronderzoek

Het traject is op twee verschillende data onderzocht tijdens een buitendienststelling; 17/18 december en 22/23 januari. Gezien het gewenste dieptebereik en resolutie gecombineerd met de verwachte bodemopbouw is voor het onderzoek gebruik gemaakt van zowel een 400 MHz als een 900 MHz antenne. De metingen zijn uitgevoerd met een GSSI SIR3000-radarsysteem.

De ligging van het onderzoeksgebied met de posities van de meetlijnen is aangegeven in tekening 1.1. Het gebied is uitgezet aan de hand van de door de opdrachtgever verstrekte tekening en ter plaatse aanwezige vaste punten (portalen).

De data-acquisitie heeft plaats gevonden langs parallelle meetlijnen. De verwachting is dat de opgenomen meetlijnen en de gebruikte antennefrequentie een goed beeld geven van de positie van de stoelplaten en de dikte van het ballastbed.

De metingen zijn met de hand onder droge omstandigheden uitgevoerd met een snelheid van 2 á 3 km/uur. Ten behoeve van de reproduceerbaarheid is de antenne bevestigd aan een lorrie.

Bij de metingen is gebruik gemaakt van zowel "high-pass" als "low-pass" filters om de signaal/ruis verhouding te verbeteren. De gegevens van alle gemeten radarlijnen zijn digitaal opgeslagen en zijn na de metingen op kantoor verder verwerkt. De parameters voor de metingen zijn weergegeven in tabel 1.

Tabel 1: Overzicht gebruikte instellingen

Antennefrequentie	400 MHz	900 MHz
Meetbereik	80 ns	40 ns
Aantal samples per scan	512	512
Aantal bits per sample	16	16
Aantal metingen per meter profielijn	100	100
High Pass filter	295 MHz	295 MHz
Low Pass filter	1930 MHz	1930 MHz

Tijdens de metingen zijn 20 radarprofielen opgenomen. De profielen 13, 14, 138, 145 zijn opgenomen met een 400 MHz grondradar antenne. De profielen 15, 133, 134, 135, 136, 137, 139, 140, 141, 142, 143, 144, 146, 147, 148, 149 zijn opgenomen met een 900 MHz antenne.

Referentie gegevens

Ten behoeve van de tijd/diepte conversie is gebruik gemaakt van de door Deltares aangeleverde gegevens.

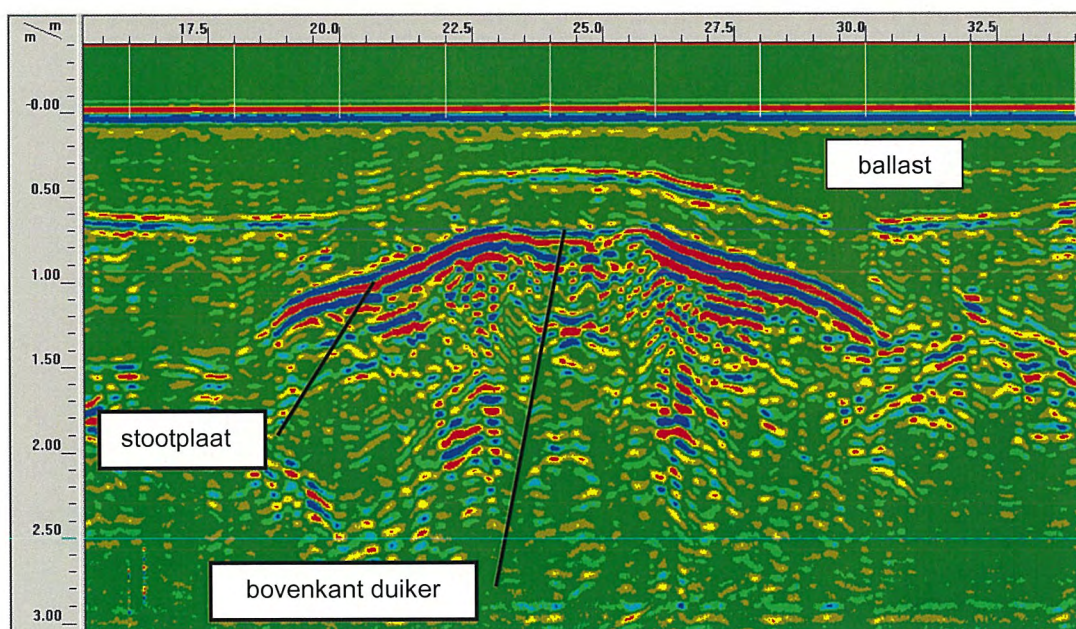
positie tov midden duiker	onderkant ballastbed	bovenkant stootplaat
[m]	tov BS [m]	tov BS [m]
-4,8	1,1	
-2,4	1	1,4
-1,2		
0		
1,2		
1,8	0,7	1,2
3,7	1,3	1,55
5,6	1,4	

3 Interpretatie en resultaten

De radarprofielen zijn afzonderlijk visueel geïnterpreteerd en met behulp van gespecialiseerde software verwerkt, gefilterd en vervolgens omgerekend tot diepte profielen. Ten behoeve van de tijd-diepte conversie van de radarmetingen is de diëlectrische constante van de bodem in combinatie met gegevens uit het uitgevoerde geotechnische onderzoek geschat op 12. Het dieptebereik van de metingen met de 400 MHz en 900 MHz worden geschat op resp. circa 3 m -mv en 1,5 m-mv. De uitgewerkte radarprofielen zijn opgenomen in bijlage 2. In de grafieken is Z1 aangeduid als overgang ballast/aardebaan en is Z2 aangeduid als overgang aardebaan/stootplaats c.q. duiker.

In figuur 1 is ter illustratie een radarprofiel opgenomen ter plaatse van de duiker uitgevoerde tussen de sporen. De overgang ballast en bovenkant stootplaat komt in de 400 MHz data goed tot uiting. Tevens zijn de bovenkant van de duiker en de stootplaten aan weerszijden zeer goed zichtbaar.

Figuur 1: Radarprofiel 400 MHz.



In de opgenomen radarprofielen t.p.v. het schouwpad en in het spoor (meetlijnen: 140, 142, 146) ontbreken duidelijke reflecties van eventueel aanwezige stootplaten. In het radarprofiel t.p.v. meetlijn 148 ontbreken duidelijke reflecties van een eventuele stootplaats aan de westzijde.

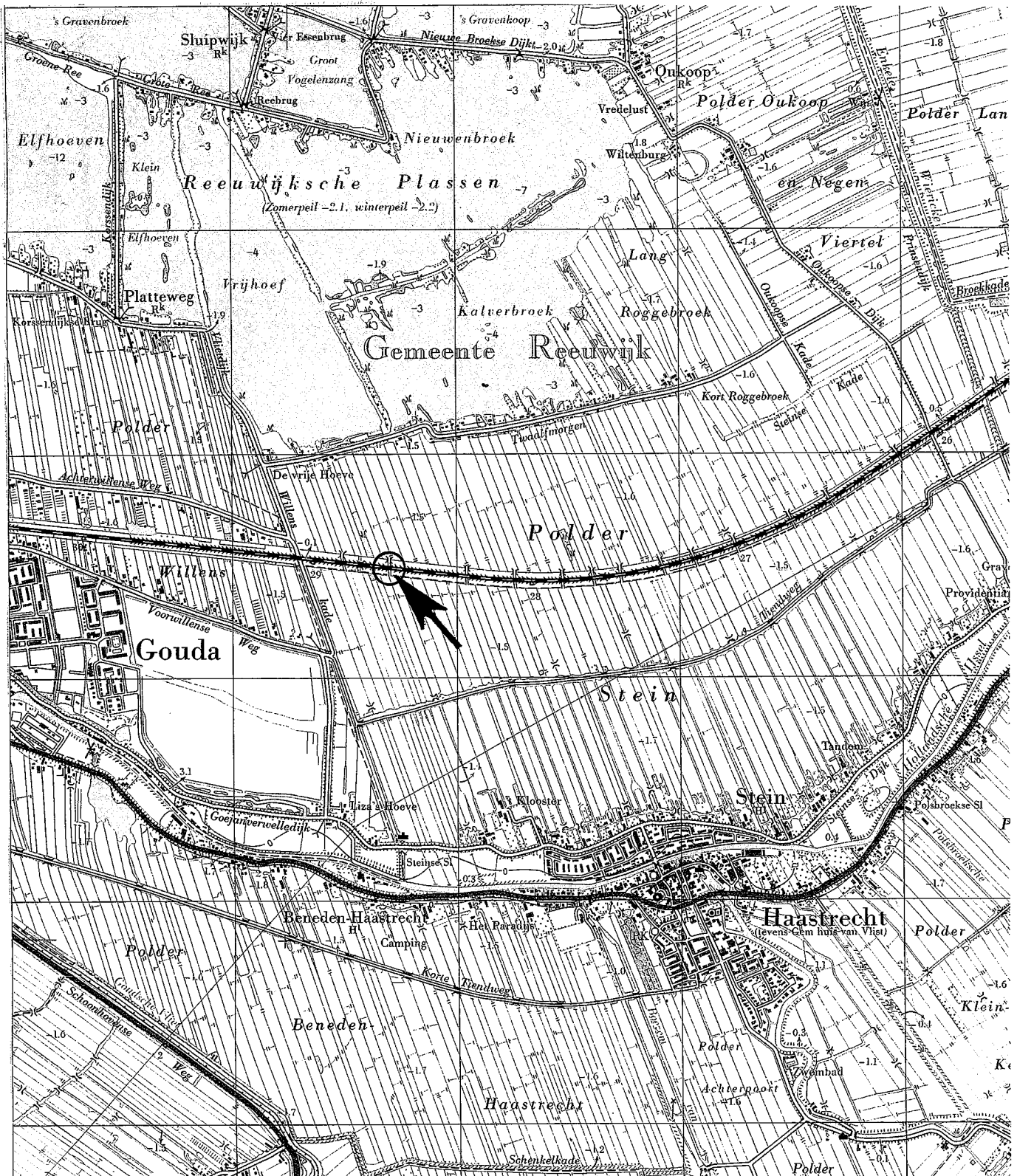
De dikte van het ballastbed bedraagt gemiddeld 40 cm en in de profielen is duidelijk zichtbaar dat aan beide zijden van de duiker de dikte van het ballastbed toeneemt.



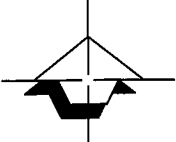
4 Conclusies

Door Geofox-Lexmond bv zijn ter plaatse van de spoorbaan tussen Gouda en Woerden radarmetingen verricht met als doel het vastleggen van de positie van de stootplaten en dikte van het ballastbed. De metingen zijn uitgevoerd met een GSSI SIR3000 systeem en een 400 MHz en 900 MHz antenne. Op basis van een diëlectrische constante van 12 is het maximale dieptebereik van de metingen circa 3,5 m –mv. In de radardata zijn naast de stootplaten en de duiker diverse kruisende kabels en leidingen aangetroffen. De resultaten van de metingen zijn weergegeven in bijlage 2.

Bijlage 1: Situatietekeningen



Omschrijving: Goverwelle te Gouda	Bijlage: 1.1	Tekenaar: MPIE	Schaal: 1:25000	Formaat: A4	Datum: 28-03-08	Actoold: ✓	Revisie:/.....
Project: Grondradaronderzoek							
Opdrachtgever: Deltarès							
Projectnummer: 20072673/MPIE							



**Geofox-
Lexmond**

vestiging Oldenzaal
Eektestraat 10-12
Postbus 221
7570 AE Oldenzaal
(0541) 58 55 44
(0541) 52 29 35
www.geofox-lexmond.nl
info@geofox-lexmond.nl

Legenda

meetlijn ————— 139



Omschrijving:
Situatieschets

Project:
Goverwelle, Gouda

Opdrachtgever:
Deltaires

Projectnummer:
20072673/MPIE

Tekenaar: **Schaal:** 1:1000 **Formaat:** A3 **Datum:** 01-02-08 **Accord:** *[Signature]*

Bijlage:
1.2



werkweg

duiker

S D J G

Legenda
 meetlijn —
 grens stoelpaat —



Omschrijving:
Situatieschets
 Bijlage:
 1.3

Project:
Goverwelle, Gouda
 Opdrachtgever:
Deltares

Projectnummer:
20072673/MPIE
 Tekenaar: **TWIE** Schaal: **1:200** Formaat: **A3** Datum: **01-02-08** Accoord:

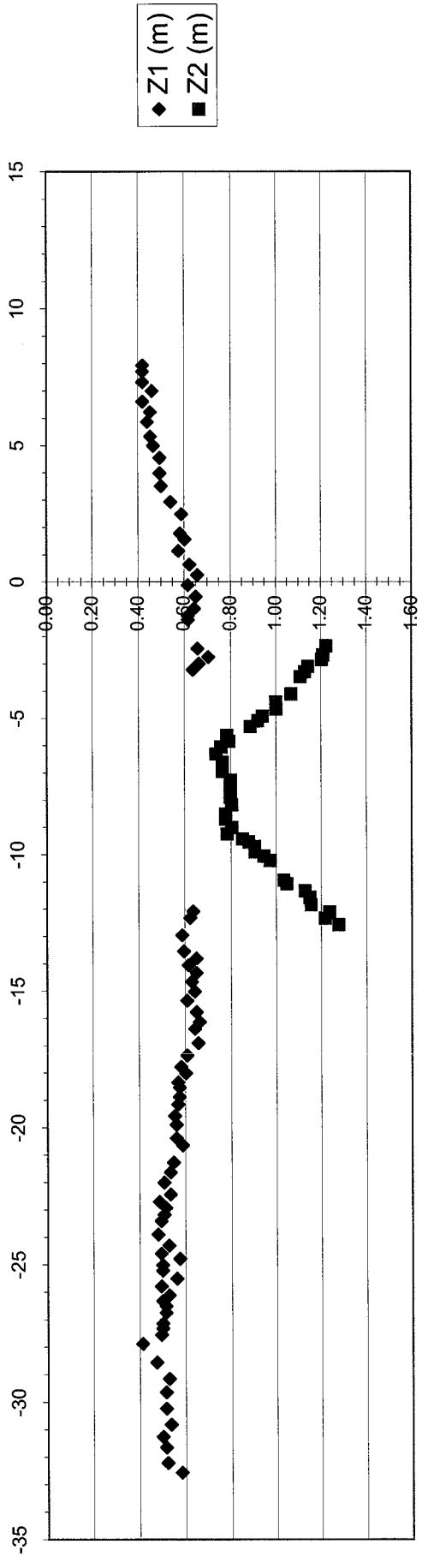
Geofox-
Lexmond



vestiging Oldenzaal
 Eekhoutlaan 10-12
 Postbus 221
 7570 AE Oldenzaal
 T: (0541) 58 55 44
 F: (0541) 52 29 35
www.geofox-lexmond.nl
info@geofox-lexmond.nl

Bijlage 2: Uitwerking radarprofielen

File 145

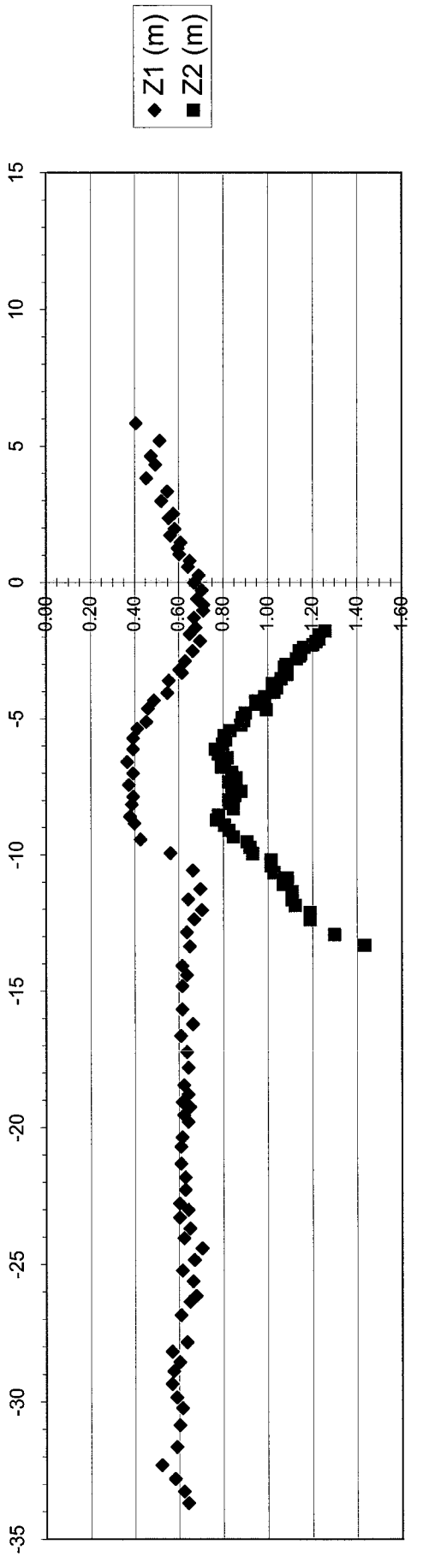


Gouda

Woerden

portaal 28/27

File 138

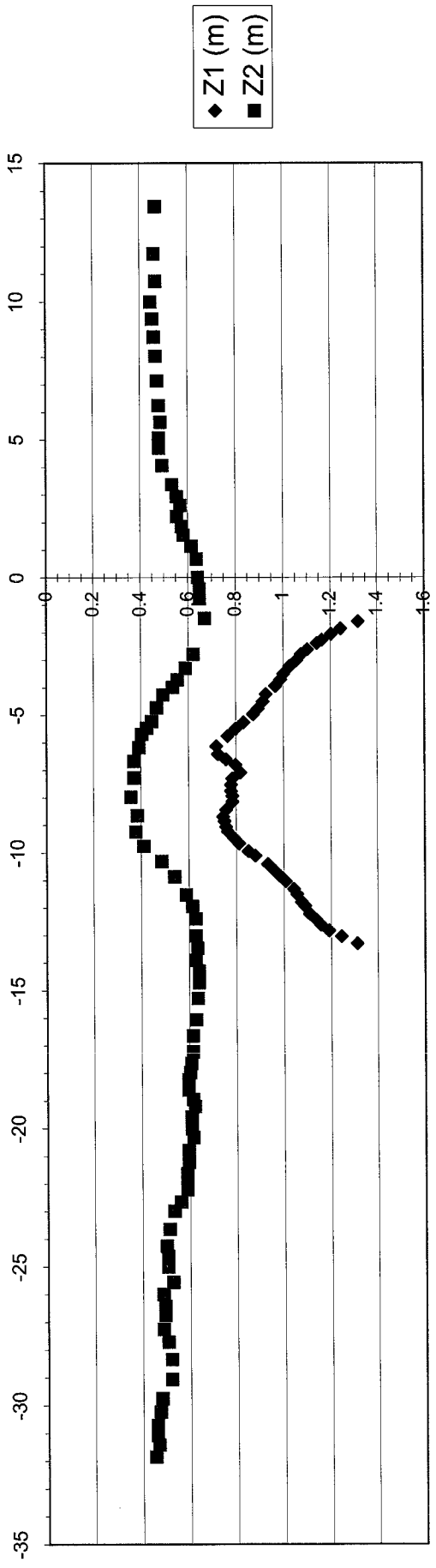


Gouda

portaal 28/27

Woerden

File 13

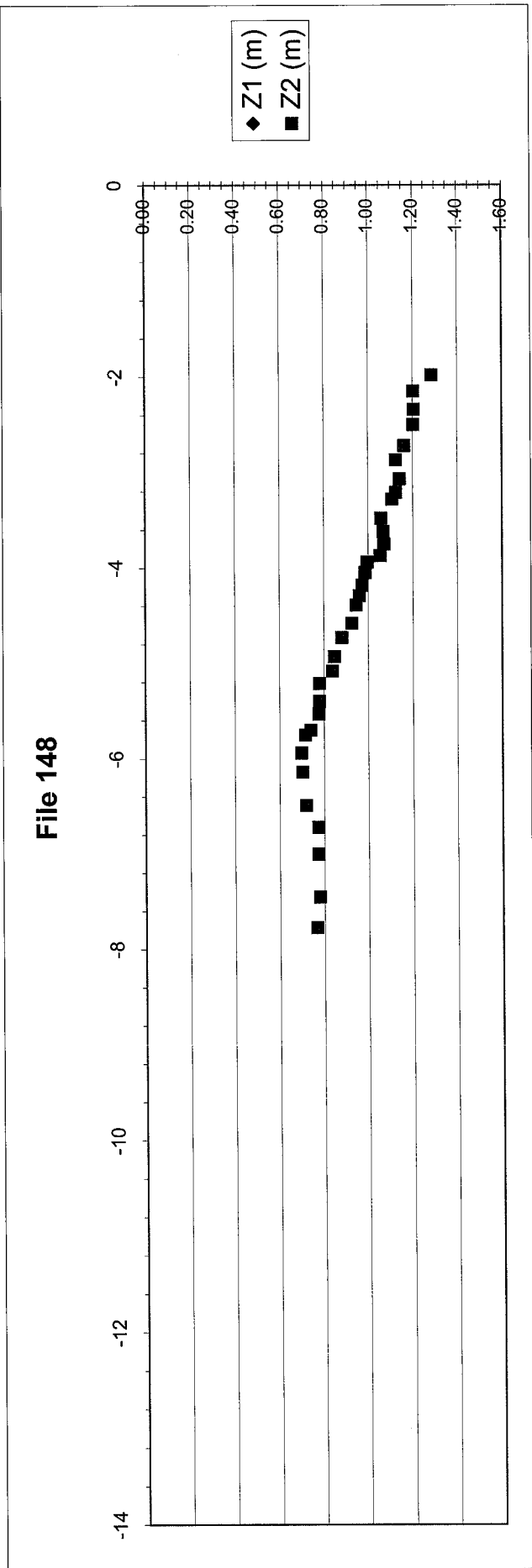


Gouda

portaal 28/27

Woerden

File 148

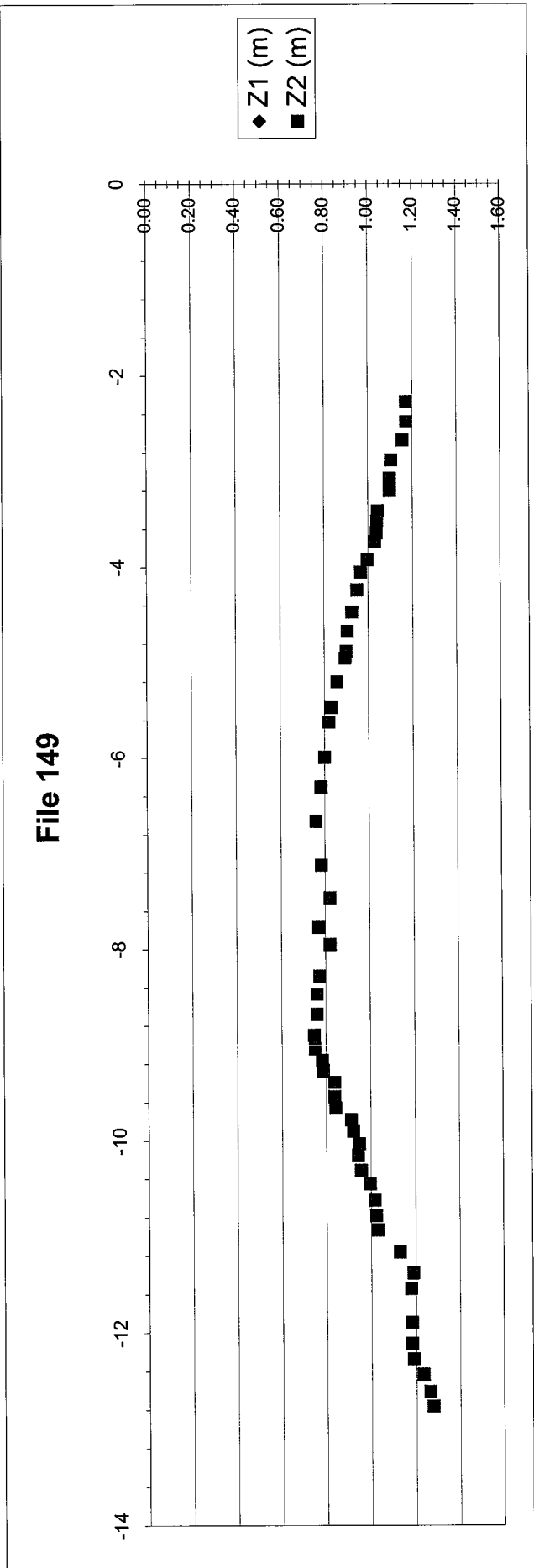


Gouda

Woerden

portaal 28/27

File 149

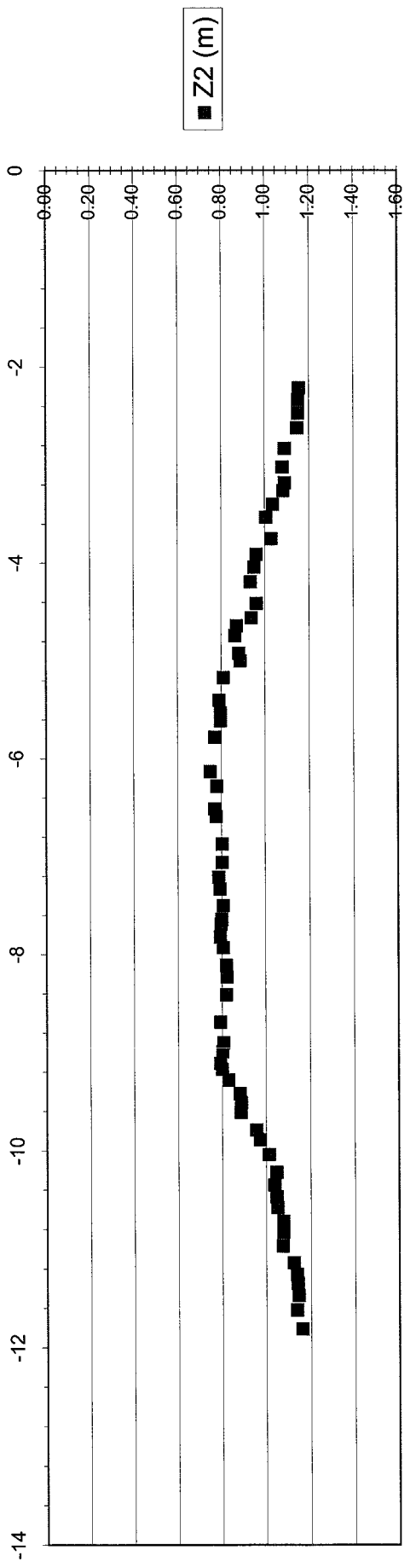


Gouda

Woerden

portaal 28/27

File 143

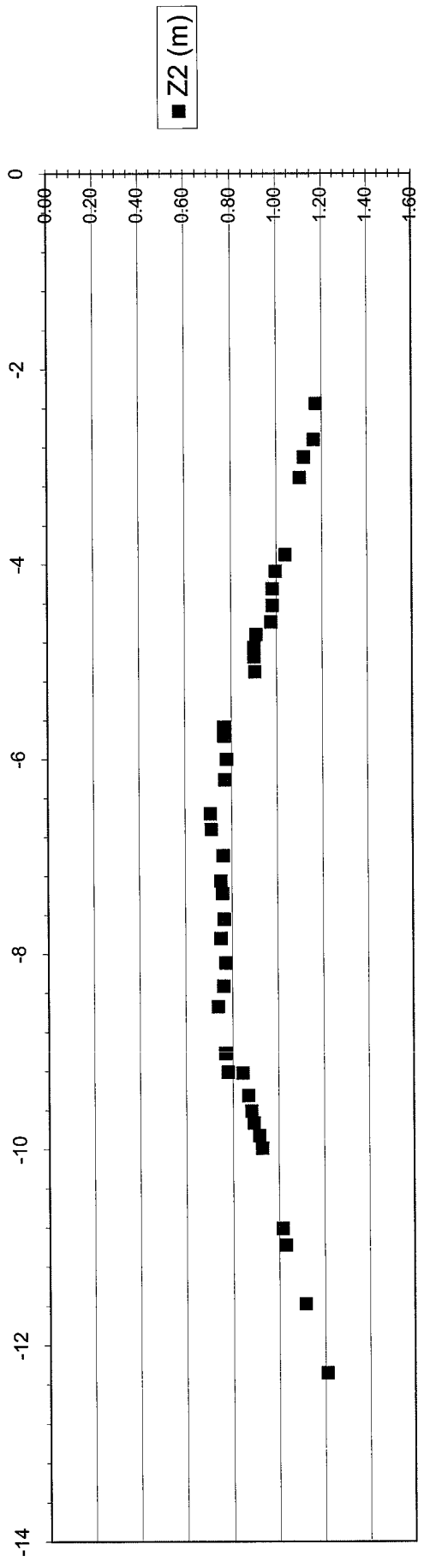


Gouda

Woerden

portaal 28/27

File 144

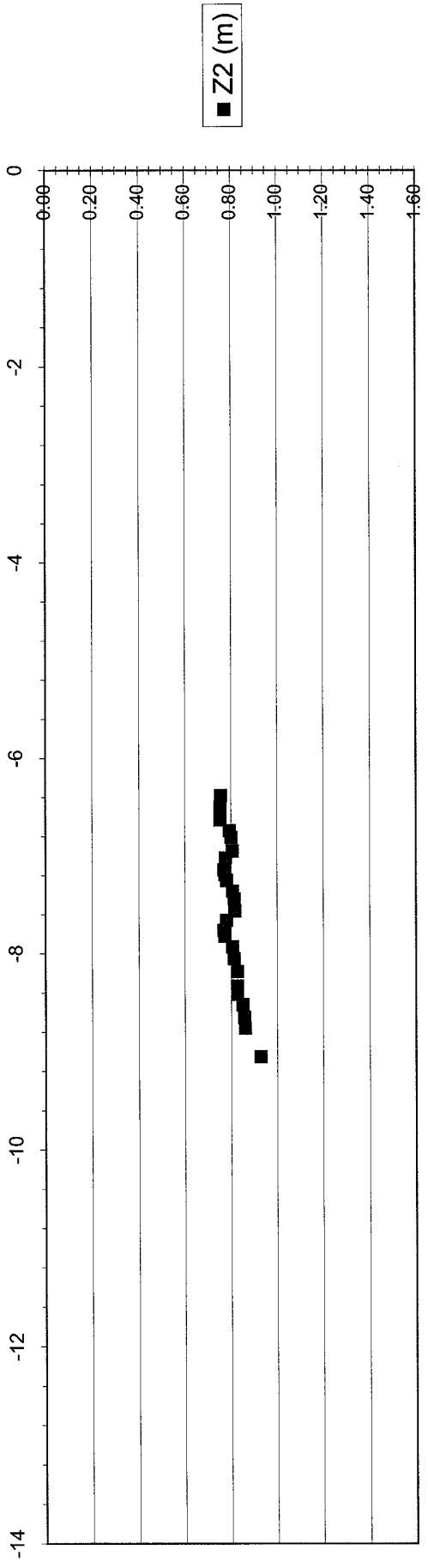


Gouda

Woerden

portaal 28/27

File 146

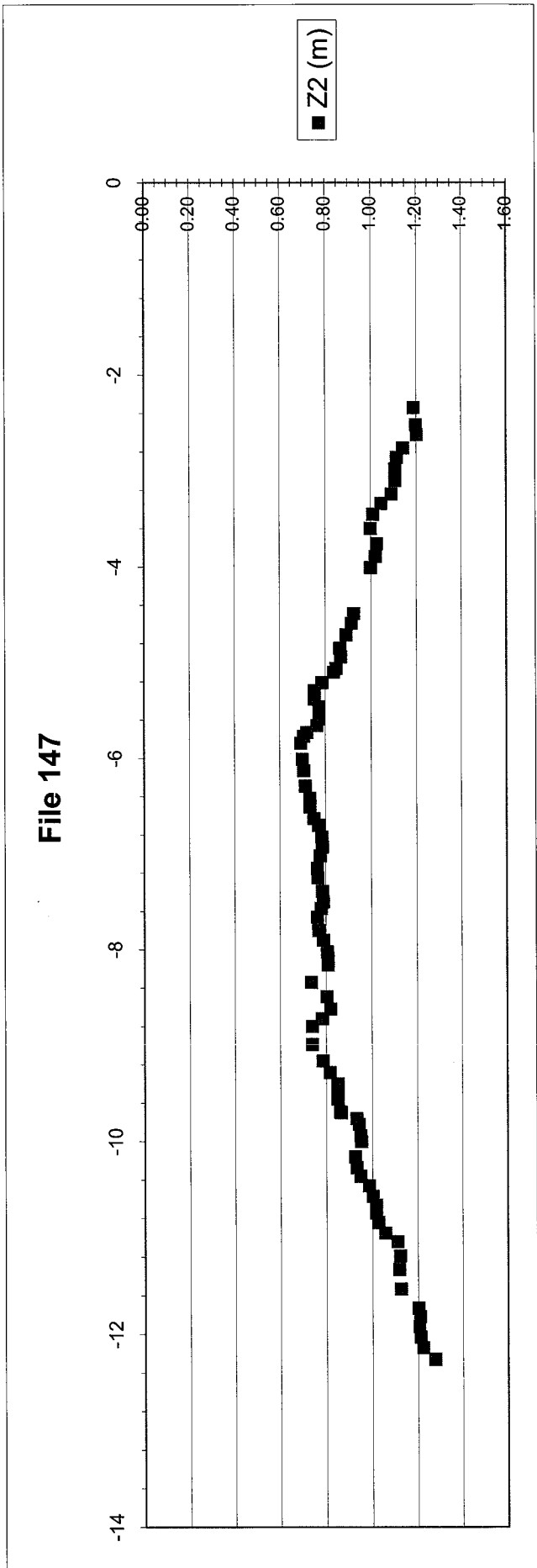


Gouda

Woerden

portaal 28/27

File 147

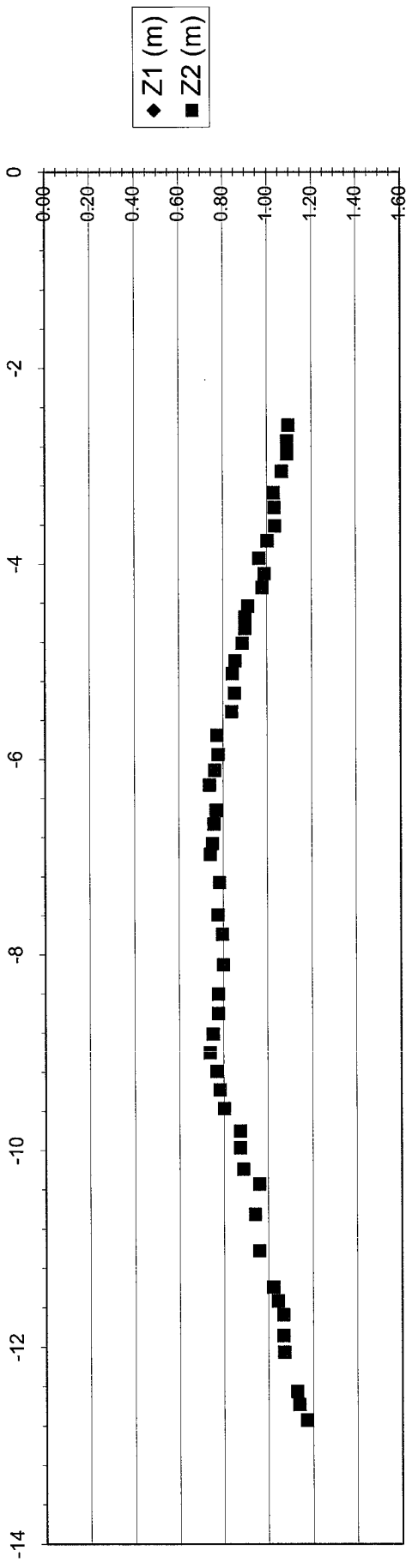


Gouda

Woerden

portaal 28/27

File 139



Gouda

Woerden

portaal 28/27

File 140

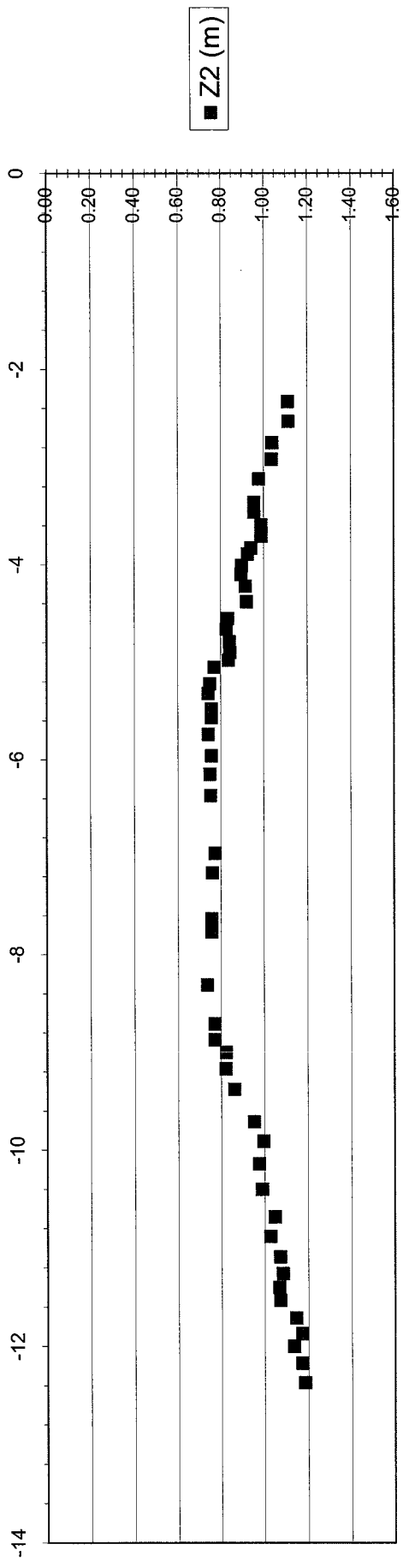


Gouda

Woerden

portaal 28/27

File 141

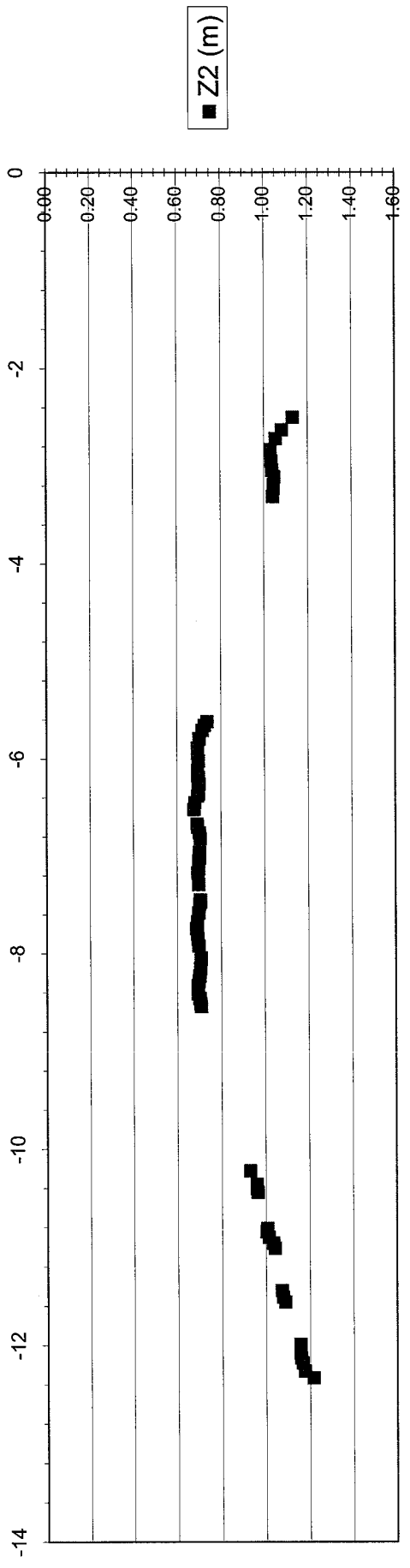


Gouda

Woerden

portaal 28/27

File 142

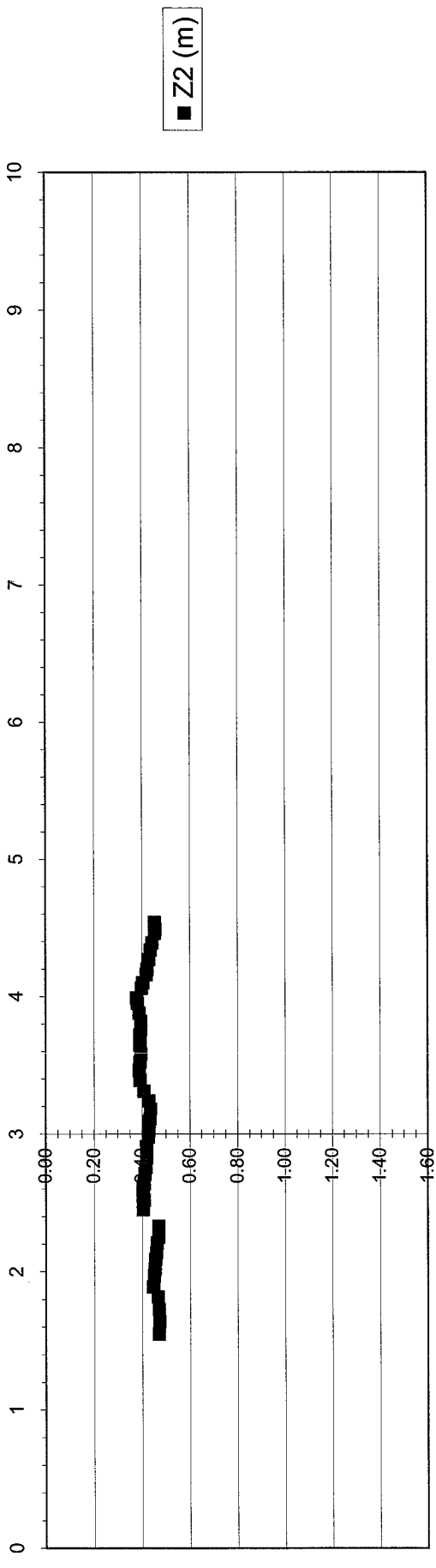


Gouda

Woerden

portaal 28/27

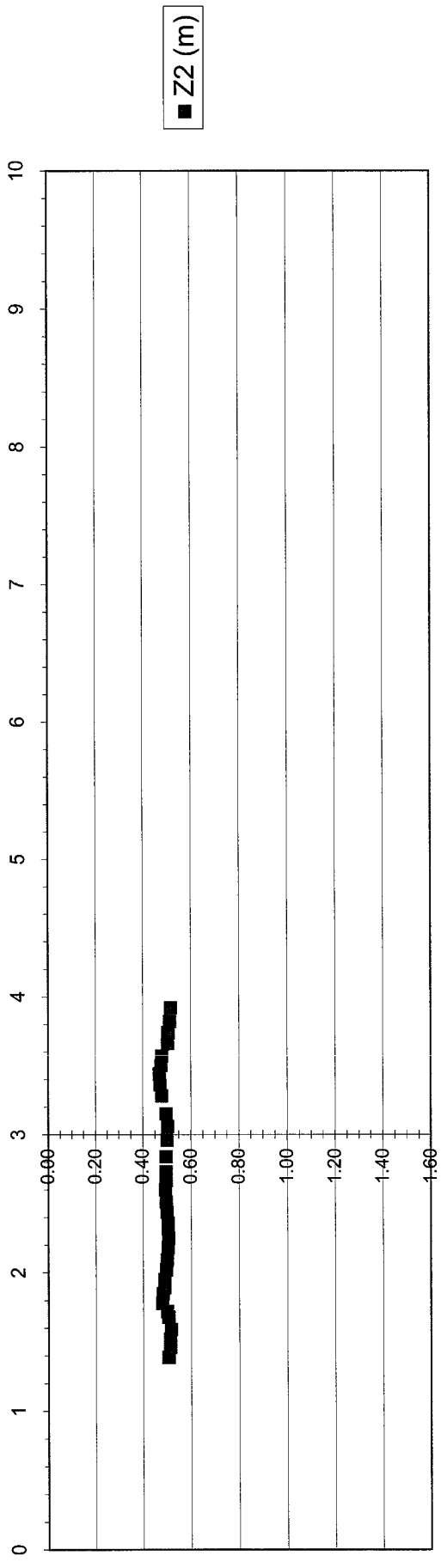
File 136



begin 10 m uit spoor richting zuid

spoor

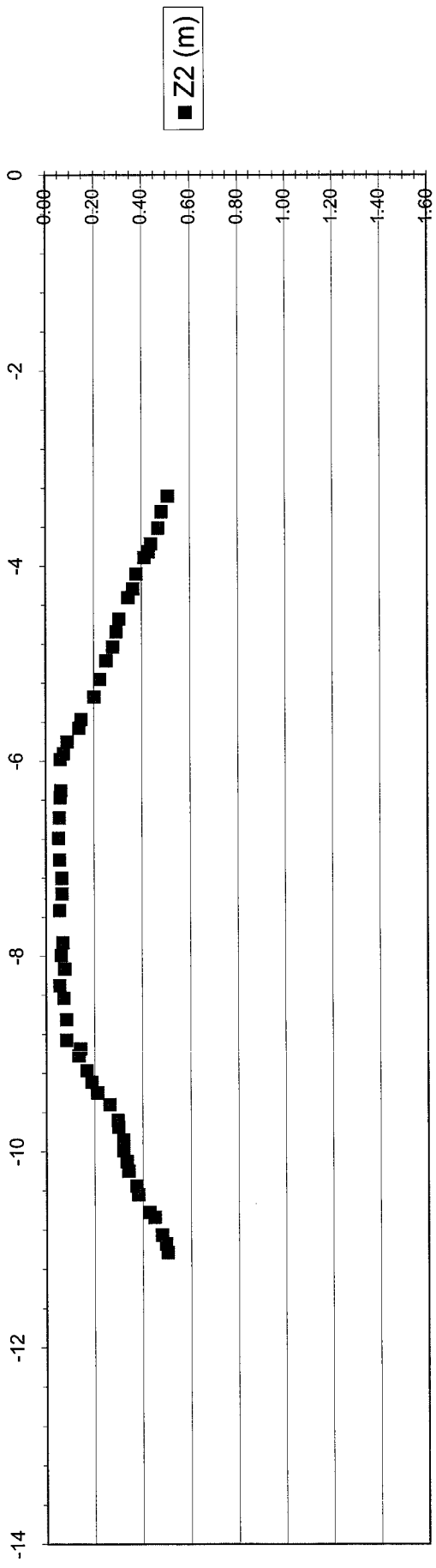
File 137



begin 9.5 m uit spoor richting zuid

spoor

File 133

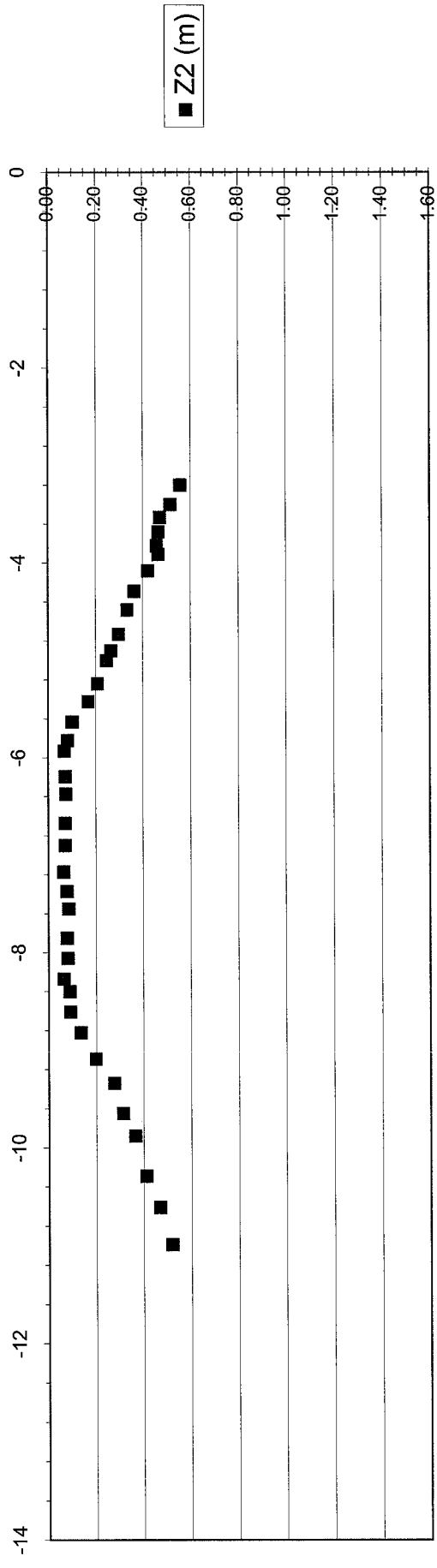


Gouda

Woerden

portaal 28/27

File 134

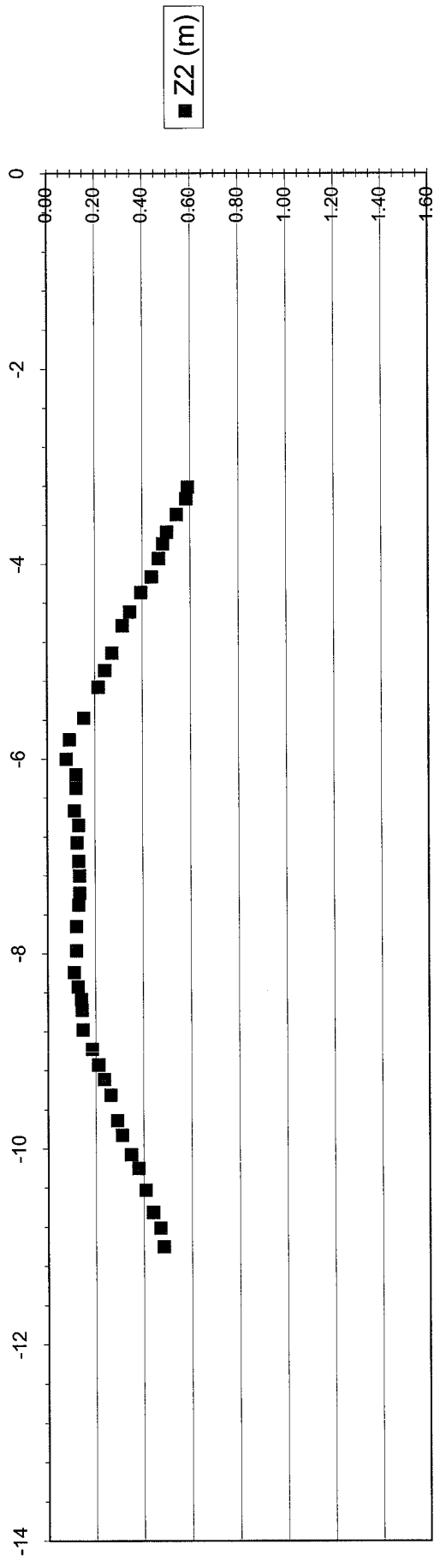


Gouda

Woerden

portaal 28/27

File 135



Gouda

Woerden

portaal 28/27

File	Ch#	x(m)	x(m t.o.v. f)	y(m)	Layer 1	z(m)	Amp	Dev(m)	% Scans	Vel.	Type	v(m/ns)	t(ns)
FILE138_B	1	0,05	-60,35	0	Layer 1	0,66	2649	0	0	Core Data	0,086545	23,906	
FILE138_B	1	0,95	-59,45	0	Layer 1	0,66	1952	0	0	Core Data	0,086545	23,906	
FILE138_B	1	1,57	-58,83	0	Layer 1	0,66	2611	0	0	Core Data	0,086545	24,063	
FILE138_B	1	2,45	-57,95	0	Layer 1	0,70	1739	0	0	Core Data	0,086545	25	
FILE138_B	1	3,07	-57,33	0	Layer 1	0,67	5535	0	0	Core Data	0,086545	24,219	
FILE138_B	1	3,54	-56,86	0	Layer 1	0,67	4482	0	0	Core Data	0,086545	24,219	
FILE138_B	1	4,3	-56,1	0	Layer 1	0,67	1615	0	0	Core Data	0,086545	24,219	
FILE138_B	1	4,66	-55,74	0	Layer 1	0,66	3921	0	0	Core Data	0,086545	23,906	
FILE138_B	1	4,95	-55,45	0	Layer 1	0,68	1883	0	0	Core Data	0,086545	24,531	
FILE138_B	1	5,57	-54,83	0	Layer 1	0,65	3733	0	0	Core Data	0,086545	23,75	
FILE138_B	1	6,08	-54,32	0	Layer 1	0,62	2841	0	0	Core Data	0,086545	22,969	
FILE138_B	1	6,61	-53,79	0	Layer 1	0,67	3056	0	0	Core Data	0,086545	24,219	
FILE138_B	1	6,81	-53,59	0	Layer 1	0,66	2638	0	0	Core Data	0,086545	24,063	
FILE138_B	1	7,21	-53,19	0	Layer 1	0,64	3379	0	0	Core Data	0,086545	23,594	
FILE138_B	1	7,48	-52,92	0	Layer 1	0,67	4005	0	0	Core Data	0,086545	24,219	
FILE138_B	1	7,91	-52,49	0	Layer 1	0,71	2266	0	0	Core Data	0,086545	25,156	
FILE138_B	1	8,36	-52,04	0	Layer 1	0,68	4077	0	0	Core Data	0,086545	24,375	
FILE138_B	1	8,75	-51,65	0	Layer 1	0,67	3092	0	0	Core Data	0,086545	24,219	
FILE138_B	1	9,32	-51,08	0	Layer 1	0,68	4678	0	0	Core Data	0,086545	24,375	
FILE138_B	1	9,67	-50,73	0	Layer 1	0,68	3113	0	0	Core Data	0,086545	24,375	
FILE138_B	1	10,28	-50,12	0	Layer 1	0,64	3258	0	0	Core Data	0,086545	23,438	
FILE138_B	1	10,75	-49,65	0	Layer 1	0,69	2434	0	0	Core Data	0,086545	24,688	
FILE138_B	1	11,25	-49,15	0	Layer 1	0,66	3830	0	0	Core Data	0,086545	24,063	
FILE138_B	1	11,62	-48,78	0	Layer 1	0,63	4461	0	0	Core Data	0,086545	23,281	
FILE138_B	1	12,22	-48,18	0	Layer 1	0,63	6031	0	0	Core Data	0,086545	23,281	
FILE138_B	1	12,79	-47,61	0	Layer 1	0,63	3835	0	0	Core Data	0,086545	23,281	
FILE138_B	1	13,15	-47,25	0	Layer 1	0,68	3951	0	0	Core Data	0,086545	24,531	
FILE138_B	1	13,68	-46,72	0	Layer 1	0,68	3394	0	0	Core Data	0,086545	24,531	
FILE138_B	1	13,97	-46,43	0	Layer 1	0,65	4710	0	0	Core Data	0,086545	23,75	
FILE138_B	1	14,22	-46,18	0	Layer 1	0,68	4787	0	0	Core Data	0,086545	24,531	
FILE138_B	1	14,66	-45,74	0	Layer 1	0,62	3389	0	0	Core Data	0,086545	23,125	
FILE138_B	1	15,17	-45,23	0	Layer 1	0,66	1912	0	0	Core Data	0,086545	23,906	
FILE138_B	1	15,55	-44,85	0	Layer 1	0,68	4592	0	0	Core Data	0,086545	24,531	
FILE138_B	1	16,18	-44,22	0	Layer 1	0,68	3316	0	0	Core Data	0,086545	24,375	
FILE138_B	1	16,41	-43,99	0	Layer 1	0,63	3197	0	0	Core Data	0,086545	23,281	
FILE138_B	1	17,09	-43,31	0	Layer 1	0,64	3615	0	0	Core Data	0,086545	23,594	
FILE138_B	1	17,63	-42,77	0	Layer 1	0,66	2156	0	0	Core Data	0,086545	23,906	
FILE138_B	1	17,92	-42,48	0	Layer 1	0,70	2698	0	0	Core Data	0,086545	24,844	
FILE138_B	1	18,27	-42,13	0	Layer 1	0,65	4054	0	0	Core Data	0,086545	23,75	
FILE138_B	1	18,68	-41,72	0	Layer 1	0,66	2617	0	0	Core Data	0,086545	23,906	
FILE138_B	1	18,92	-41,48	0	Layer 1	0,70	3608	0	0	Core Data	0,086545	24,844	
FILE138_B	1	19,16	-41,24	0	Layer 1	0,74	4182	0	0	Core Data	0,086545	25,781	
FILE138_B	1	19,52	-40,88	0	Layer 1	0,82	4023	0	0	Core Data	0,086545	27,656	
FILE138_B	1	19,97	-40,43	0	Layer 1	0,86	2471	0	0	Core Data	0,086545	28,594	
FILE138_B	1	20,73	-39,67	0	Layer 1	0,89	4368	0	0	Core Data	0,086545	29,219	
FILE138_B	1	21,33	-39,07	0	Layer 1	0,91	229	0	0	Core Data	0,086545	29,844	
FILE138_B	1	21,98	-38,42	0	Layer 1	0,91	2821	0	0	Core Data	0,086545	29,844	
FILE138_B	1	22,86	-37,54	0	Layer 1	0,85	2417	0	0	Core Data	0,086545	28,438	
FILE138_B	1	23,48	-36,92	0	Layer 1	0,89	1538	0	0	Core Data	0,086545	29,219	
FILE138_B	1	23,92	-36,48	0	Layer 1	0,89	4631	0	0	Core Data	0,086545	29,375	
FILE138_B	1	24,55	-35,85	0	Layer 1	0,90	2535	0	0	Core Data	0,086545	29,531	
FILE138_B	1	25,51	-34,89	0	Layer 1	0,89	2579	0	0	Core Data	0,086545	29,375	
FILE138_B	1	26,9	-33,5	0	Layer 1	0,77	2482	0	0	Core Data	0,086545	26,563	
FILE138_B	1	27,57	-32,83	0	Layer 1	0,69	3367	0	0	Core Data	0,086545	24,688	
FILE138_B	1	28,21	-32,19	0	Layer 1	0,58	1043	0	0	Core Data	0,086545	22,188	
FILE138_B	1	28,68	-31,72	0	Layer 1	0,58	2702	0	0	Core Data	0,086545	22,188	
FILE138_B	1	29,23	-31,17	0	Layer 1	0,52	3359	0	0	Core Data	0,086545	20,625	
FILE138_B	1	29,73	-30,67	0	Layer 1	0,60	2383	0	0	Core Data	0,086545	22,5	
FILE138_B	1	30,46	-29,94	0	Layer 1	0,56	4027	0	0	Core Data	0,086545	21,719	
FILE138_B	1	30,87	-29,53	0	Layer 1	0,59	3851	0	0	Core Data	0,086545	22,344	
FILE138_B	1	31,64	-28,76	0	Layer 1	0,56	6510	0	0	Core Data	0,086545	21,563	
FILE138_B	1	32,24	-28,16	0	Layer 1	0,56	4650	0	0	Core Data	0,086545	21,719	
FILE138_B	1	32,94	-27,46	0	Layer 1	0,57	1285	0	0	Core Data	0,086545	21,875	
FILE138_B	1	33,52	-26,88	0	Layer 1	0,60	3610	0	0	Core Data	0,086545	22,5	
FILE138_B	1	34,02	-26,38	0	Layer 1	0,64	5973	0	0	Core Data	0,086545	23,594	
FILE138_B	1	34,54	-25,86	0	Layer 1	0,66	4273	0	0	Core Data	0,086545	23,906	
FILE138_B	1	35,34	-25,06	0	Layer 1	0,62	5096	0	0	Core Data	0,086545	22,969	
FILE138_B	1	36,03	-24,37	0	Layer 1	0,61	2914	0	0	Core Data	0,086545	22,813	
FILE138_B	1	36,58	-23,82	0	Layer 1	0,60	5241	0	0	Core Data	0,086545	22,5	
FILE138_B	1	37,49	-22,91	0	Layer 1	0,63	4420	0	0	Core Data	0,086545	23,281	
FILE138_B	1	38,1	-22,3	0	Layer 1	0,62	4801	0	0	Core Data	0,086545	23,125	
FILE138_B	1	38,82	-21,58	0	Layer 1	0,61	3652	0	0	Core Data	0,086545	22,813	
FILE138_B	1	39,52	-20,88	0	Layer 1	0,59	5320	0	0	Core Data	0,086545	22,344	

File:	138	Richting: Woerden	Duiker op: 53 m	-60,4											
File	Ch#	x(m)	x(m t.o.v. f)	y(m)	Layer 1	z(m)	Amp	Dev(m)	% Scans	Vel.	Type	v(m/ns)	t(ns)		
FILE138_B	1	40,21	-20,19	0	Layer 1	0,61	4989	0	0	Core Data	0,086545	22,813			
FILE138_B	1	40,78	-19,62	0	Layer 1	0,61	3727	0	0	Core Data	0,086545	22,813			
FILE138_B	1	41,46	-18,94	0	Layer 1	0,60	3272	0	0	Core Data	0,086545	22,656			
FILE138_B	1	41,93	-18,47	0	Layer 1	0,62	1962	0	0	Core Data	0,086545	22,969			
FILE138_B	1	42,62	-17,78	0	Layer 1	0,64	7190	0	0	Core Data	0,086545	23,438			
FILE138_B	1	43,19	-17,21	0	Layer 1	0,62	3835	0	0	Core Data	0,086545	23,125			
FILE138_B	1	43,83	-16,57	0	Layer 1	0,60	3157	0	0	Core Data	0,086545	22,656			
FILE138_B	1	44,42	-15,98	0	Layer 1	0,61	3493	0	0	Core Data	0,086545	22,813			
FILE138_B	1	44,97	-15,43	0	Layer 1	0,61	3510	0	0	Core Data	0,086545	22,813			
FILE138_B	1	45,58	-14,82	0	Layer 1	0,61	3367	0	0	Core Data	0,086545	22,813			
FILE138_B	1	45,99	-14,41	0	Layer 1	0,63	5192	0	0	Core Data	0,086545	23,281			
FILE138_B	1	46,43	-13,97	0	Layer 1	0,64	2808	0	0	Core Data	0,086545	23,594			
FILE138_B	1	47,34	-13,06	0	Layer 1	0,64	2756	0	0	Core Data	0,086545	23,594			
FILE138_B	1	48,05	-12,35	0	Layer 1	0,66	2172	0	0	Core Data	0,086545	24,063			
FILE138_B	1	48,5	-11,9	0	Layer 1	0,66	3409	0	0	Core Data	0,086545	23,906			
FILE138_B	1	48,88	-11,52	0	Layer 1	0,64	4533	0	0	Core Data	0,086545	23,594			
FILE138_B	1	49,21	-11,19	0	Layer 1	0,68	2697	0	0	Core Data	0,086545	24,531			
FILE138_B	1	49,61	-10,79	0	Layer 1	0,60	455	0	0	Core Data	0,086545	22,5			
FILE138_B	1	50,18	-10,22	0	Layer 1	0,54	1455	0	0	Core Data	0,086545	21,094			
FILE138_B	1	50,6	-9,8	0	Layer 1	0,45	2957	0	0	Core Data	0,086545	19,063			
FILE138_B	1	50,97	-9,43	0	Layer 1	0,42	1493	0	0	Core Data	0,086545	18,438			
FILE138_B	1	51,2	-9,2	0	Layer 1	0,39	5444	0	0	Core Data	0,086545	17,656			
FILE138_B	1	51,75	-8,65	0	Layer 1	0,37	3601	0	0	Core Data	0,086545	17,344			
FILE138_B	1	52,21	-8,19	0	Layer 1	0,39	3933	0	0	Core Data	0,086545	17,656			
FILE138_B	1	53,15	-7,25	0	Layer 1	0,38	3195	0	0	Core Data	0,086545	17,5			
FILE138_B	1	53,86	-6,54	0	Layer 1	0,37	2415	0	0	Core Data	0,086545	17,188			
FILE138_B	1	54,29	-6,11	0	Layer 1	0,39	2919	0	0	Core Data	0,086545	17,656			
FILE138_B	1	54,78	-5,62	0	Layer 1	0,39	5333	0	0	Core Data	0,086545	17,656			
FILE138_B	1	55,85	-4,55	0	Layer 1	0,45	5463	0	0	Core Data	0,086545	19,219			
FILE138_B	1	56,56	-3,84	0	Layer 1	0,55	3195	0	0	Core Data	0,086545	21,406			
FILE138_B	1	57,22	-3,18	0	Layer 1	0,59	3394	0	0	Core Data	0,086545	22,344			
FILE138_B	1	57,98	-2,42	0	Layer 1	0,66	3151	0	0	Core Data	0,086545	23,906			
FILE138_B	1	58,54	-1,86	0	Layer 1	0,64	6825	0	0	Core Data	0,086545	23,594			
FILE138_B	1	59,02	-1,38	0	Layer 1	0,65	3194	0	0	Core Data	0,086545	23,75			
FILE138_B	1	59,41	-0,99	0	Layer 1	0,71	3987	0	0	Core Data	0,086545	25,156			
FILE138_B	1	60,15	-0,25	0	Layer 1	0,69	1937	0	0	Core Data	0,086545	24,688			
FILE138_B	1	60,53	0,13	0	Layer 1	0,68	4744	0	0	Core Data	0,086545	24,375			
FILE138_B	1	61,11	0,71	0	Layer 1	0,64	3273	0	0	Core Data	0,086545	23,594			
FILE138_B	1	61,51	1,11	0	Layer 1	0,60	1872	0	0	Core Data	0,086545	22,5			
FILE138_B	1	62,07	1,67	0	Layer 1	0,56	3596	0	0	Core Data	0,086545	21,719			
FILE138_B	1	62,61	2,21	0	Layer 1	0,57	1450	0	0	Core Data	0,086545	21,875			
FILE138_B	1	63,06	2,66	0	Layer 1	0,60	5100	0	0	Core Data	0,086545	22,5			
FILE138_B	1	63,55	3,15	0	Layer 1	0,54	2367	0	0	Core Data	0,086545	21,094			
FILE138_B	1	64,01	3,61	0	Layer 1	0,62	2134	0	0	Core Data	0,086545	22,969			
FILE138_B	1	64,62	4,22	0	Layer 1	0,68	3646	0	0	Core Data	0,086545	24,531			
FILE138_B	1	65,27	4,87	0	Layer 1	0,72	3271	0	0	Core Data	0,086545	25,469			
FILE138_B	1	66,2	5,8	0	Layer 1	0,70	1092	0	0	Core Data	0,086545	24,844			
FILE138_B	1	67,1	6,7	0	Layer 1	0,72	951	0	0	Core Data	0,086545	25,313			
FILE138_B	1	68,27	7,87	0	Layer 1	0,71	2341	0	0	Core Data	0,086545	25,156			
FILE138_B	1	69,43	9,03	0	Layer 1	0,71	1465	0	0	Core Data	0,086545	25,156			
FILE138_B	1	69,72	9,32	0	Layer 1	0,75	996	0	0	Core Data	0,086545	26,094			
FILE138_B	1	70,65	10,25	0	Layer 1	0,67	2591	0	0	Core Data	0,086545	24,219			
FILE138_B	1	71,15	10,75	0	Layer 1	0,68	1747	0	0	Core Data	0,086545	24,375			
FILE138_B	1	71,61	11,21	0	Layer 1	0,63	3088	0	0	Core Data	0,086545	23,281			
FILE138_B	1	72,09	11,69	0	Layer 1	0,68	2377	0	0	Core Data	0,086545	24,531			
FILE138_B	1	72,57	12,17	0	Layer 1	0,66	2586	0	0	Core Data	0,086545	24,063			
FILE138_B	1	73,54	13,14	0	Layer 1	0,66	1805	0	0	Core Data	0,086545	23,906			
FILE138_B	1	74,33	13,93	0	Layer 1	0,71	2975	0	0	Core Data	0,086545	25,156			
FILE138_B	1	74,96	14,56	0	Layer 1	0,70	3520	0	0	Core Data	0,086545	24,844			
FILE138_B	1	75,89	15,49	0	Layer 1	0,62	3855	0	0	Core Data	0,086545	22,969			
FILE138_B	1	76,62	16,22	0	Layer 1	0,68	1615	0	0	Core Data	0,086545	24,375			
FILE138_B	1	77,42	17,02	0	Layer 1	0,64	1362	0	0	Core Data	0,086545	23,594			
FILE138_B	1	78,59	18,19	0	Layer 1	0,67	2611	0	0	Core Data	0,086545	24,219			
FILE138_B	1	79,52	19,12	0	Layer 1	0,64	3830	0	0	Core Data	0,086545	23,594			
FILE138_B	1	80,41	20,01	0	Layer 1	0,68	4037	0	0	Core Data	0,086545	24,531			
FILE138_B	1	81,22	20,82	0	Layer 1	0,74	331	0	0	Core Data	0,086545	25,781			
FILE138_B	1	83,73	23,33	0	Layer 1	0,69	5505	0	0	Core Data	0,086545	24,688			
FILE138_B	1	86,31	25,91	0	Layer 1	0,63	3707	0	0	Core Data	0,086545	23,281			
FILE138_B	1	87,73	27,33	0	Layer 1	0,66	5516	0	0	Core Data	0,086545	23,906			
FILE138_B	1	88,56	28,16	0	Layer 1	0,62	2426	0	0	Core Data	0,086545	22,969			
FILE138_B	1	89,21	28,81	0	Layer 1	0,62	2750	0	0	Core Data	0,086545	23,125			
FILE138_B	1	90,03	29,63	0	Layer 1	0,68	1692	0	0	Core Data	0,086545	24,375			
FILE138_B	1	90,69	30,29	0	Layer 1	0,72	3608	0	0	Core Data	0,086545	25,469			

File: 138
 Richting: Woerden
 Duiker op: 53 m -60,4

File	Ch#	x(m)	x(m t.o.v. f	y(m)	Layer 1	z(m)	Amp	Dev(m)	% Scans	Vel. Type	v(m/ns)	t(ns)
FILE138_B	1	91,27	30,87	0	Layer 1	0,77	1688	0	0	Core Data	0,086545	26,406
FILE138_B	1	92,09	31,69	0	Layer 1	0,78	3395	0	0	Core Data	0,086545	26,719
FILE138_B	1	93,36	32,96	0	Layer 1	0,69	3643	0	0	Core Data	0,086545	24,688
FILE138_B	1	93,95	33,55	0	Layer 1	0,67	3479	0	0	Core Data	0,086545	24,219
FILE138_B	1	94,64	34,24	0	Layer 1	0,66	3108	0	0	Core Data	0,086545	23,906
FILE138_B	1	95,46	35,06	0	Layer 1	0,65	3571	0	0	Core Data	0,086545	23,75
FILE138_B	1	96,05	35,65	0	Layer 1	0,67	3168	0	0	Core Data	0,086545	24,219
FILE138_B	1	96,95	36,55	0	Layer 1	0,68	2570	0	0	Core Data	0,086545	24,375
FILE138_B	1	97,97	37,57	0	Layer 1	0,66	3085	0	0	Core Data	0,086545	24,063
FILE138_B	1	99,28	38,88	0	Layer 1	0,66	3866	0	0	Core Data	0,086545	23,906
FILE138_B	1	101	40,6	0	Layer 1	0,63	1808	0	0	Core Data	0,086545	23,281
FILE138_B	1	102,16	41,76	0	Layer 1	0,66	4229	0	0	Core Data	0,086545	23,906
FILE138_B	1	102,72	42,32	0	Layer 1	0,66	4173	0	0	Core Data	0,086545	24,063
FILE138_B	1	104,01	43,61	0	Layer 1	0,69	4273	0	0	Core Data	0,086545	24,688
FILE138_B	1	105,54	45,14	0	Layer 1	0,62	6620	0	0	Core Data	0,086545	23,125
FILE138_B	1	106,18	45,78	0	Layer 1	0,64	6106	0	0	Core Data	0,086545	23,438
FILE138_B	1	106,79	46,39	0	Layer 1	0,62	4140	0	0	Core Data	0,086545	23,125
FILE138_B	1	108,21	47,81	0	Layer 1	0,66	4941	0	0	Core Data	0,086545	23,906
FILE138_B	1	109,56	49,16	0	Layer 1	0,66	3634	0	0	Core Data	0,086545	24,063
FILE138_B	1	110,73	50,33	0	Layer 1	0,66	3737	0	0	Core Data	0,086545	23,906
FILE138_B	1	113,27	52,87	0	Layer 1	0,68	3426	0	0	Core Data	0,086545	24,531
FILE138_B	1	115,87	55,47	0	Layer 1	0,70	2222	0	0	Core Data	0,086545	25
FILE138_B	1	118,81	58,41	0	Layer 1	0,68	2896	0	0	Core Data	0,086545	24,375
FILE138_B	1	119,81	59,41	0	Layer 1	0,69	3320	0	0	Core Data	0,086545	24,688
FILE138_B	1	120,23	59,83	0	Layer 1	0,68	3605	0	0	Core Data	0,086545	24,375
FILE138_B	1	121,5	61,1	0	Layer 1	0,59	1868	0	0	Core Data	0,086545	22,344
FILE138_B	1	122,52	62,12	0	Layer 1	0,58	3813	0	0	Core Data	0,086545	22,188
FILE138_B	1	125,15	64,75	0	Layer 1	0,68	3036	0	0	Core Data	0,086545	24,531
FILE138_B	1	126,08	65,68	0	Layer 1	0,68	4612	0	0	Core Data	0,086545	24,375
FILE138_B	1	127,01	66,61	0	Layer 1	0,69	2248	0	0	Core Data	0,086545	24,688
FILE138_B	1	128,86	68,46	0	Layer 1	0,64	3747	0	0	Core Data	0,086545	23,438
FILE138_B	1	130,7	70,3	0	Layer 1	0,63	3099	0	0	Core Data	0,086545	23,281
FILE138_B	1	132,52	72,12	0	Layer 1	0,67	4523	0	0	Core Data	0,086545	24,219
FILE138_B	1	133,48	73,08	0	Layer 1	0,56	5211	0	0	Core Data	0,086545	21,563
FILE138_B	1	133,99	73,59	0	Layer 1	0,57	3352	0	0	Core Data	0,086545	21,875
FILE138_B	1	134,68	74,28	0	Layer 1	0,54	2879	0	0	Core Data	0,086545	21,094
FILE138_B	1	134,97	74,57	0	Layer 1	0,56	3302	0	0	Core Data	0,086545	21,563
FILE138_B	1	135,5	75,1	0	Layer 1	0,52	6006	0	0	Core Data	0,086545	20,781
FILE138_B	1	135,95	75,55	0	Layer 1	0,58	1768	0	0	Core Data	0,086545	22,188
FILE138_B	1	136,45	76,05	0	Layer 1	0,60	1932	0	0	Core Data	0,086545	22,656
FILE138_B	1	136,9	76,5	0	Layer 1	0,52	2523	0	0	Core Data	0,086545	20,625
FILE138_B	1	137,45	77,05	0	Layer 1	0,53	3834	0	0	Core Data	0,086545	20,938
FILE138_B	1	138	77,6	0	Layer 1	0,54	7229	0	0	Core Data	0,086545	21,25
FILE138_B	1	138,56	78,16	0	Layer 1	0,54	4400	0	0	Core Data	0,086545	21,094
FILE138_B	1	138,97	78,57	0	Layer 1	0,58	3360	0	0	Core Data	0,086545	22,188
FILE138_B	1	139,4	79	0	Layer 1	0,55	5255	0	0	Core Data	0,086545	21,406
FILE138_B	1	139,99	79,59	0	Layer 1	0,55	3241	0	0	Core Data	0,086545	21,406
FILE138_B	1	140,76	80,36	0	Layer 1	0,62	4152	0	0	Core Data	0,086545	22,969
FILE138_B	1	141,84	81,44	0	Layer 1	0,58	3545	0	0	Core Data	0,086545	22,031
FILE138_B	1	142,39	81,99	0	Layer 1	0,58	4377	0	0	Core Data	0,086545	22,031
FILE138_B	1	142,83	82,43	0	Layer 1	0,56	2507	0	0	Core Data	0,086545	21,563
FILE138_B	1	143,21	82,81	0	Layer 1	0,59	3523	0	0	Core Data	0,086545	22,344
FILE138_B	1	143,81	83,41	0	Layer 1	0,56	3387	0	0	Core Data	0,086545	21,563
FILE138_B	1	144,23	83,83	0	Layer 1	0,60	2116	0	0	Core Data	0,086545	22,5
FILE138_B	1	145,1	84,7	0	Layer 1	0,58	3171	0	0	Core Data	0,086545	22,031
FILE138_B	1	145,68	85,28	0	Layer 1	0,56	3437	0	0	Core Data	0,086545	21,719
FILE138_B	1	146,25	85,85	0	Layer 1	0,56	5363	0	0	Core Data	0,086545	21,563
FILE138_B	1	146,67	86,27	0	Layer 1	0,52	4817	0	0	Core Data	0,086545	20,781
FILE138_B	1	147,12	86,72	0	Layer 1	0,54	2018	0	0	Core Data	0,086545	21,25
FILE138_B	1	147,74	87,34	0	Layer 1	0,53	4303	0	0	Core Data	0,086545	20,938
FILE138_B	1	148,17	87,77	0	Layer 1	0,55	3334	0	0	Core Data	0,086545	21,406
FILE138_B	1	148,57	88,17	0	Layer 1	0,55	3818	0	0	Core Data	0,086545	21,406
FILE138_B	1	149,02	88,62	0	Layer 1	0,53	8097	0	0	Core Data	0,086545	20,938
FILE138_B	1	149,33	88,93	0	Layer 1	0,58	3686	0	0	Core Data	0,086545	22,031
FILE138_B	1	150,07	89,67	0	Layer 1	0,56	5160	0	0	Core Data	0,086545	21,719
FILE138_B	1	150,64	90,24	0	Layer 1	0,54	1476	0	0	Core Data	0,086545	21,25
FILE138_B	1	151,2	90,8	0	Layer 1	0,56	3671	0	0	Core Data	0,086545	21,563
FILE138_B	1	151,94	91,54	0	Layer 1	0,54	3393	0	0	Core Data	0,086545	21,094
FILE138_B	1	152,76	92,36	0	Layer 1	0,56	5623	0	0	Core Data	0,086545	21,563
FILE138_B	1	153,54	93,14	0	Layer 1	0,54	4632	0	0	Core Data	0,086545	21,25
FILE138_B	1	154,05	93,65	0	Layer 1	0,62	3124	0	0	Core Data	0,086545	22,969
FILE138_B	1	154,32	93,92	0	Layer 1	0,58	4040	0	0	Core Data	0,086545	22,031
FILE138_B	1	154,88	94,48	0	Layer 1	0,59	4446	0	0	Core Data	0,086545	22,344

File: 138
 Richting: Woerden
 Duiker op: 53 m -60,4

File	Ch#	x(m)	x(m t.o.v. f	y(m)	Layer 1	z(m)	Amp	Dev(m)	% Scans	Vel. Type	v(m/ns)	t(ns)
FILE138_B	1	155,5	95,1	0	Layer 1	0,60	2451	0	0	Core Data	0,086545	22,5
FILE138_B	1	155,98	95,58	0	Layer 1	0,52	1206	0	0	Core Data	0,086545	20,625
FILE138_B	1	156,83	96,43	0	Layer 1	0,58	4655	0	0	Core Data	0,086545	22,031
FILE138_B	1	158,43	98,03	0	Layer 1	0,56	5112	0	0	Core Data	0,086545	21,719
FILE138_B	1	159	98,6	0	Layer 1	0,54	4026	0	0	Core Data	0,086545	21,094
FILE138_B	1	159,4	99	0	Layer 1	0,52	4772	0	0	Core Data	0,086545	20,625
FILE138_B	1	160,1	99,7	0	Layer 1	0,66	3999	0	0	Core Data	0,086545	24,063
FILE138_B	1	160,68	100,28	0	Layer 1	0,67	2288	0	0	Core Data	0,086545	24,219
FILE138_B	1	161,95	101,55	0	Layer 1	0,66	2743	0	0	Core Data	0,086545	24,063
FILE138_B	1	163,11	102,71	0	Layer 1	0,65	5894	0	0	Core Data	0,086545	23,75
FILE138_B	1	164,95	104,55	0	Layer 1	0,65	5030	0	0	Core Data	0,086545	23,75
FILE138_B	1	165,54	105,14	0	Layer 1	0,65	5164	0	0	Core Data	0,086545	23,75
FILE138_B	1	166,74	106,34	0	Layer 1	0,65	3061	0	0	Core Data	0,086545	23,75
FILE138_B	1	168,48	108,08	0	Layer 1	0,69	2923	0	0	Core Data	0,086545	24,688
FILE138_B	1	169,22	108,82	0	Layer 1	0,64	5402	0	0	Core Data	0,086545	23,594
FILE138_B	1	169,86	109,46	0	Layer 1	0,67	4386	0	0	Core Data	0,086545	24,219
FILE138_B	1	170,32	109,92	0	Layer 1	0,68	2600	0	0	Core Data	0,086545	24,531
FILE138_B	1	170,76	110,36	0	Layer 1	0,72	2381	0	0	Core Data	0,086545	25,469
FILE138_B	1	171,08	110,68	0	Layer 1	0,70	3782	0	0	Core Data	0,086545	24,844
FILE138_B	1	171,88	111,48	0	Layer 1	0,75	3688	0	0	Core Data	0,086545	25,938
FILE138_B	1	172,95	112,55	0	Layer 1	0,68	3539	0	0	Core Data	0,086545	24,375
FILE138_B	1	174,04	113,64	0	Layer 1	0,62	4522	0	0	Core Data	0,086545	23,125
FILE138_B	1	175,01	114,61	0	Layer 1	0,74	2829	0	0	Core Data	0,086545	25,781
FILE138_B	1	175,64	115,24	0	Layer 1	0,77	2564	0	0	Core Data	0,086545	26,406
FILE138_B	1	176,22	115,82	0	Layer 1	0,75	1061	0	0	Core Data	0,086545	25,938
FILE138_B	1	176,55	116,15	0	Layer 1	0,72	1197	0	0	Core Data	0,086545	25,469
FILE138_B	1	177,01	116,61	0	Layer 1	0,69	4277	0	0	Core Data	0,086545	24,688
FILE138_B	1	177,64	117,24	0	Layer 1	0,75	3898	0	0	Core Data	0,086545	25,938
FILE138_B	1	178,2	117,8	0	Layer 1	0,77	5586	0	0	Core Data	0,086545	26,406
FILE138_B	1	178,4	118	0	Layer 1	0,79	4941	0	0	Core Data	0,086545	26,875
FILE138_B	1	178,82	118,42	0	Layer 1	0,85	8657	0	0	Core Data	0,086545	28,438
FILE138_B	1	179,24	118,84	0	Layer 1	0,74	4823	0	0	Core Data	0,086545	25,781
FILE138_B	1	179,9	119,5	0	Layer 1	0,74	1711	0	0	Core Data	0,086545	25,781
FILE138_B	1	180,75	120,35	0	Layer 1	0,75	2707	0	0	Core Data	0,086545	26,094
FILE138_B	1	181,31	120,91	0	Layer 1	0,66	4759	0	0	Core Data	0,086545	23,906
FILE138_B	1	181,95	121,55	0	Layer 1	0,69	3670	0	0	Core Data	0,086545	24,688
FILE138_B	1	182,54	122,14	0	Layer 1	0,79	3578	0	0	Core Data	0,086545	27,031
FILE138_B	1	182,98	122,58	0	Layer 1	0,79	5467	0	0	Core Data	0,086545	27,031
FILE138_B	1	183,26	122,86	0	Layer 1	0,77	2745	0	0	Core Data	0,086545	26,406
FILE138_B	1	183,59	123,19	0	Layer 1	0,78	-821	0	0	Core Data	0,086545	26,719
FILE138_B	1	184,03	123,63	0	Layer 1	0,75	1986	0	0	Core Data	0,086545	26,094
FILE138_B	1	184,89	124,49	0	Layer 1	0,75	2486	0	0	Core Data	0,086545	26,094
FILE138_B	1	186,04	125,64	0	Layer 1	0,77	2837	0	0	Core Data	0,086545	26,406
FILE138_B	1	187,15	126,75	0	Layer 1	0,72	2644	0	0	Core Data	0,086545	25,313
FILE138_B	1	188,27	127,87	0	Layer 1	0,76	4862	0	0	Core Data	0,086545	26,25
FILE138_B	1	189,59	129,19	0	Layer 1	0,81	-728	0	0	Core Data	0,086545	27,344
FILE138_B	1	190,89	130,49	0	Layer 1	0,68	1457	0	0	Core Data	0,086545	24,531
FILE138_B	1	191,46	131,06	0	Layer 1	0,68	15657	0	0	Core Data	0,086545	24,375
FILE138_B	1	192,65	132,25	0	Layer 1	0,70	2898	0	0	Core Data	0,086545	24,844
FILE138_B	1	193,5	133,1	0	Layer 1	0,67	4176	0	0	Core Data	0,086545	24,219
FILE138_B	1	195,12	134,72	0	Layer 1	0,69	4610	0	0	Core Data	0,086545	24,688
FILE138_B	1	196,33	135,93	0	Layer 1	0,77	2255	0	0	Core Data	0,086545	26,563
FILE138_B	1	197,44	137,04	0	Layer 1	0,78	2547	0	0	Core Data	0,086545	26,719
FILE138_B	1	198,3	137,9	0	Layer 1	0,75	3638	0	0	Core Data	0,086545	26,094
FILE138_B	1	199,49	139,09	0	Layer 1	0,79	4040	0	0	Core Data	0,086545	27,031
FILE138_B	1	200,04	139,64	0	Layer 1	0,77	1379	0	0	Core Data	0,086545	26,563
FILE138_B	1	200,66	140,26	0	Layer 1	0,78	4797	0	0	Core Data	0,086545	26,719
FILE138_B	1	201,07	140,67	0	Layer 1	0,79	-478	0	0	Core Data	0,086545	27,031
FILE138_B	1	201,76	141,36	0	Layer 1	0,77	5240	0	0	Core Data	0,086545	26,563
FILE138_B	1	202,47	142,07	0	Layer 1	0,67	6867	0	0	Core Data	0,086545	24,219
FILE138_B	1	203,11	142,71	0	Layer 1	0,67	1765	0	0	Core Data	0,086545	24,219
FILE138_B	1	203,81	143,41	0	Layer 1	0,73	4377	0	0	Core Data	0,086545	25,625
FILE138_B	1	203,82	143,42	0	Layer 1	0,73	4341	0	0	Core Data	0,086545	25,625
FILE138_B	1	205,28	144,88	0	Layer 1	0,71	2314	0	0	Core Data	0,086545	25,156
FILE138_B	1	206,36	145,96	0	Layer 1	0,67	1706	0	0	Core Data	0,086545	24,219
FILE138_B	1	207,81	147,41	0	Layer 1	0,68	4701	0	0	Core Data	0,086545	24,531
FILE138_B	1	209,04	148,64	0	Layer 1	0,68	3090	0	0	Core Data	0,086545	24,375
FILE138_B	1	210,55	150,15	0	Layer 1	0,69	3534	0	0	Core Data	0,086545	24,688
FILE138_B	1	211,19	150,79	0	Layer 1	0,72	2926	0	0	Core Data	0,086545	25,313
FILE138_B	1	212,35	151,95	0	Layer 1	0,69	3752	0	0	Core Data	0,086545	24,688
FILE138_B	1	213,47	153,07	0	Layer 1	0,70	1386	0	0	Core Data	0,086545	24,844
FILE138_B	1	214,49	154,09	0	Layer 1	0,70	-194	0	0	Core Data	0,086545	25
FILE138_B	1	215,06	154,66	0	Layer 1	0,69	4594	0	0	Core Data	0,086545	24,688

File: 138
 Richting: Woerden
 Duiker op: 53 m -60,4

File	Ch#	x(m)	x(m t.o.v. f)	y(m)	Layer 1	z(m)	Amp	Dev(m)	% Scans	Vel.	Type	v(m/ns)	t(ns)
FILE138_B	1	215,94	155,54	0	Layer 1	0,73	3835	0	0	Core Data	0,086545	25,625	
FILE138_B	1	216,91	156,51	0	Layer 1	0,71	2016	0	0	Core Data	0,086545	25,156	
FILE138_B	1	217,42	157,02	0	Layer 1	0,70	4136	0	0	Core Data	0,086545	25	
FILE138_B	1	218,05	157,65	0	Layer 1	0,68	3838	0	0	Core Data	0,086545	24,531	
FILE138_B	1	219,23	158,83	0	Layer 1	0,67	4213	0	0	Core Data	0,086545	24,219	
FILE138_B	1	220,86	160,46	0	Layer 1	0,63	4308	0	0	Core Data	0,086545	23,281	
FILE138_B	1	222,6	162,2	0	Layer 1	0,62	7278	0	0	Core Data	0,086545	22,969	
FILE138_B	1	225,62	165,22	0	Layer 1	0,71	7049	0	0	Core Data	0,086545	25,156	
FILE138_B	1	226,26	165,86	0	Layer 1	0,74	2417	0	0	Core Data	0,086545	25,781	
FILE138_B	1	226,87	166,47	0	Layer 1	0,72	8654	0	0	Core Data	0,086545	25,469	
FILE138_B	1	227,98	167,58	0	Layer 1	0,70	14308	0	0	Core Data	0,086545	24,844	
FILE138_B	1	228,31	167,91	0	Layer 1	0,71	4135	0	0	Core Data	0,086545	25,156	
FILE138_B	1	229,41	169,01	0	Layer 1	0,70	5168	0	0	Core Data	0,086545	24,844	
FILE138_B	1	229,93	169,53	0	Layer 1	0,69	8518	0	0	Core Data	0,086545	24,688	
FILE138_B	1	230,85	170,45	0	Layer 1	0,72	5343	0	0	Core Data	0,086545	25,313	
FILE138_B	1	231,63	171,23	0	Layer 1	0,75	2963	0	0	Core Data	0,086545	26,094	
FILE138_B	1	232,73	172,33	0	Layer 1	0,73	4322	0	0	Core Data	0,086545	25,625	
FILE138_B	1	233,74	173,34	0	Layer 1	0,73	3839	0	0	Core Data	0,086545	25,625	
FILE138_B	1	234,93	174,53	0	Layer 1	0,72	5246	0	0	Core Data	0,086545	25,469	
FILE138_B	1	235,66	175,26	0	Layer 1	0,74	5574	0	0	Core Data	0,086545	25,781	
FILE138_B	1	236,19	175,79	0	Layer 1	0,75	4294	0	0	Core Data	0,086545	25,938	
FILE138_B	1	236,9	176,5	0	Layer 1	0,73	5668	0	0	Core Data	0,086545	25,625	
FILE138_B	1	237,44	177,04	0	Layer 1	0,72	6987	0	0	Core Data	0,086545	25,469	
FILE138_B	1	238,49	178,09	0	Layer 1	0,75	4081	0	0	Core Data	0,086545	25,938	
FILE138_B	1	239,12	178,72	0	Layer 1	0,74	6139	0	0	Core Data	0,086545	25,781	
FILE138_B	1	239,75	179,35	0	Layer 1	0,70	5058	0	0	Core Data	0,086545	25	
FILE138_B	1	240,37	179,97	0	Layer 1	0,70	4477	0	0	Core Data	0,086545	25	
FILE138_B	1	240,85	180,45	0	Layer 1	0,68	2323	0	0	Core Data	0,086545	24,375	

File: 145
 Richting: Gouda
 Duiker op: 61 m

File	Ch#	x(m)	x(m t.o.v. portaal)	y(m)	Layer 1	z(m)	Amp	Dev(m)	% Scans	Vel. Type	v(m/ns)	t(ns)
FILE145_E	1	0,06	53,04	0	Layer 1	0,51	2398	0	0	Core Data	0,086545	20,469
FILE145_E	1	0,61	52,49	0	Layer 1	0,57	1325	0	0	Core Data	0,086545	21,875
FILE145_E	1	1,28	51,82	0	Layer 1	0,54	2360	0	0	Core Data	0,086545	21,25
FILE145_E	1	2	51,1	0	Layer 1	0,49	2096	0	0	Core Data	0,086545	20,156
FILE145_E	1	2,61	50,49	0	Layer 1	0,52	2413	0	0	Core Data	0,086545	20,781
FILE145_E	1	3,59	49,51	0	Layer 1	0,57	1859	0	0	Core Data	0,086545	21,875
FILE145_E	1	4,67	48,43	0	Layer 1	0,60	2522	0	0	Core Data	0,086545	22,5
FILE145_E	1	5,66	47,44	0	Layer 1	0,61	2818	0	0	Core Data	0,086545	22,813
FILE145_E	1	6,94	46,16	0	Layer 1	0,58	1423	0	0	Core Data	0,086545	22,188
FILE145_E	1	7,44	45,66	0	Layer 1	0,68	4259	0	0	Core Data	0,086545	24,531
FILE145_E	1	8,04	45,06	0	Layer 1	0,66	1510	0	0	Core Data	0,086545	23,906
FILE145_E	1	8,43	44,67	0	Layer 1	0,70	298	0	0	Core Data	0,086545	25
FILE145_E	1	8,79	44,31	0	Layer 1	0,67	1637	0	0	Core Data	0,086545	24,219
FILE145_E	1	9,39	43,71	0	Layer 1	0,62	3349	0	0	Core Data	0,086545	22,969
FILE145_E	1	9,76	43,34	0	Layer 1	0,63	3863	0	0	Core Data	0,086545	23,281
FILE145_E	1	10,55	42,55	0	Layer 1	0,72	3546	0	0	Core Data	0,086545	25,313
FILE145_E	1	11,34	41,76	0	Layer 1	0,65	2360	0	0	Core Data	0,086545	23,75
FILE145_E	1	12,43	40,67	0	Layer 1	0,63	4004	0	0	Core Data	0,086545	23,281
FILE145_E	1	13,43	39,67	0	Layer 1	0,64	1676	0	0	Core Data	0,086545	23,438
FILE145_E	1	14,26	38,84	0	Layer 1	0,65	3400	0	0	Core Data	0,086545	23,75
FILE145_E	1	14,89	38,21	0	Layer 1	0,64	1097	0	0	Core Data	0,086545	23,594
FILE145_E	1	15,63	37,47	0	Layer 1	0,64	2992	0	0	Core Data	0,086545	23,594
FILE145_E	1	15,97	37,13	0	Layer 1	0,63	2130	0	0	Core Data	0,086545	23,281
FILE145_E	1	16,35	36,75	0	Layer 1	0,62	2637	0	0	Core Data	0,086545	23,125
FILE145_E	1	17,23	35,87	0	Layer 1	0,63	2136	0	0	Core Data	0,086545	23,281
FILE145_E	1	17,83	35,27	0	Layer 1	0,66	2518	0	0	Core Data	0,086545	24,063
FILE145_E	1	18,47	34,63	0	Layer 1	0,77	2786	0	0	Core Data	0,086545	26,406
FILE145_E	1	18,97	34,13	0	Layer 1	0,70	2071	0	0	Core Data	0,086545	25
FILE145_E	1	19,65	33,45	0	Layer 1	0,71	2336	0	0	Core Data	0,086545	25,156
FILE145_E	1	20,37	32,73	0	Layer 1	0,75	1286	0	0	Core Data	0,086545	25,938
FILE145_E	1	21,03	32,07	0	Layer 1	0,67	2424	0	0	Core Data	0,086545	24,219
FILE145_E	1	21,68	31,42	0	Layer 1	0,58	2068	0	0	Core Data	0,086545	22,188
FILE145_E	1	21,97	31,13	0	Layer 1	0,65	1462	0	0	Core Data	0,086545	23,75
FILE145_E	1	22,36	30,74	0	Layer 1	0,64	2728	0	0	Core Data	0,086545	23,438
FILE145_E	1	23,03	30,07	0	Layer 1	0,62	1676	0	0	Core Data	0,086545	22,969
FILE145_E	1	23,46	29,64	0	Layer 1	0,66	1629	0	0	Core Data	0,086545	23,906
FILE145_E	1	23,97	29,13	0	Layer 1	0,64	1801	0	0	Core Data	0,086545	23,438
FILE145_E	1	24,49	28,61	0	Layer 1	0,65	2807	0	0	Core Data	0,086545	23,75
FILE145_E	1	25,04	28,06	0	Layer 1	0,62	1481	0	0	Core Data	0,086545	22,969
FILE145_E	1	25,65	27,45	0	Layer 1	0,62	3183	0	0	Core Data	0,086545	23,125
FILE145_E	1	26,28	26,82	0	Layer 1	0,61	3031	0	0	Core Data	0,086545	22,813
FILE145_E	1	26,64	26,46	0	Layer 1	0,56	1987	0	0	Core Data	0,086545	21,563
FILE145_E	1	26,96	26,14	0	Layer 1	0,61	2633	0	0	Core Data	0,086545	22,813
FILE145_E	1	27,55	25,55	0	Layer 1	0,60	2507	0	0	Core Data	0,086545	22,5
FILE145_E	1	28,11	24,99	0	Layer 1	0,66	2352	0	0	Core Data	0,086545	24,063
FILE145_E	1	28,89	24,21	0	Layer 1	0,59	1694	0	0	Core Data	0,086545	22,344
FILE145_E	1	29,44	23,66	0	Layer 1	0,65	1984	0	0	Core Data	0,086545	23,75
FILE145_E	1	29,95	23,15	0	Layer 1	0,64	2403	0	0	Core Data	0,086545	23,438
FILE145_E	1	30,77	22,33	0	Layer 1	0,68	1375	0	0	Core Data	0,086545	24,531
FILE145_E	1	31,31	21,79	0	Layer 1	0,66	1712	0	0	Core Data	0,086545	23,906
FILE145_E	1	31,91	21,19	0	Layer 1	0,58	1295	0	0	Core Data	0,086545	22,031
FILE145_E	1	32,33	20,77	0	Layer 1	0,52	2130	0	0	Core Data	0,086545	20,625
FILE145_E	1	33,64	19,46	0	Layer 1	0,62	2766	0	0	Core Data	0,086545	23,125
FILE145_E	1	34,25	18,85	0	Layer 1	0,60	2136	0	0	Core Data	0,086545	22,656
FILE145_E	1	35,42	17,68	0	Layer 1	0,62	1946	0	0	Core Data	0,086545	23,125
FILE145_E	1	36,55	16,55	0	Layer 1	0,61	1529	0	0	Core Data	0,086545	22,813
FILE145_E	1	37,05	16,05	0	Layer 1	0,61	3246	0	0	Core Data	0,086545	22,813
FILE145_E	1	37,76	15,34	0	Layer 1	0,61	2993	0	0	Core Data	0,086545	22,813
FILE145_E	1	39,18	13,92	0	Layer 1	0,49	2564	0	0	Core Data	0,086545	20,156
FILE145_E	1	40,46	12,64	0	Layer 1	0,52	1893	0	0	Core Data	0,086545	20,781
FILE145_E	1	41,38	11,72	0	Layer 1	0,56	2940	0	0	Core Data	0,086545	21,719
FILE145_E	1	42,48	10,62	0	Layer 1	0,47	1586	0	0	Core Data	0,086545	19,531
FILE145_E	1	43,42	9,68	0	Layer 1	0,52	839	0	0	Core Data	0,086545	20,625
FILE145_E	1	44,36	8,74	0	Layer 1	0,57	3495	0	0	Core Data	0,086545	21,875
FILE145_E	1	44,71	8,39	0	Layer 1	0,49	1338	0	0	Core Data	0,086545	20,156
FILE145_E	1	45,34	7,76	0	Layer 1	0,51	4492	0	0	Core Data	0,086545	20,469
FILE145_E	1	45,85	7,25	0	Layer 1	0,50	2718	0	0	Core Data	0,086545	20,313
FILE145_E	1	46,43	6,67	0	Layer 1	0,52	1651	0	0	Core Data	0,086545	20,625
FILE145_E	1	47,08	6,02	0	Layer 1	0,53	3364	0	0	Core Data	0,086545	20,938
FILE145_E	1	47,71	5,39	0	Layer 1	0,54	2653	0	0	Core Data	0,086545	21,25
FILE145_E	1	48	5,1	0	Layer 1	0,58	2479	0	0	Core Data	0,086545	22,188
FILE145_E	1	48,39	4,71	0	Layer 1	0,56	2425	0	0	Core Data	0,086545	21,563
FILE145_E	1	48,89	4,21	0	Layer 1	0,56	2484	0	0	Core Data	0,086545	21,719
FILE145_E	1	49,59	3,51	0	Layer 1	0,49	5053	0	0	Core Data	0,086545	20,156
FILE145_E	1	49,83	3,27	0	Layer 1	0,55	2796	0	0	Core Data	0,086545	21,406
FILE145_E	1	50,41	2,69	0	Layer 1	0,59	3285	0	0	Core Data	0,086545	22,344
FILE145_E	1	50,74	2,36	0	Layer 1	0,57	6465	0	0	Core Data	0,086545	21,875

File: 145
 Richting: Gouda
 Dulker op: 61 m

53,1

File	Ch#	x(m)	x(m t.o.v. portaal)	y(m)	Layer 1	z(m)	Amp	Dev(m)	% Scans	Vel. Type	v(m/ns)	t(ns)
FILE145_E	1	51,11		1,99	0 Layer 1	0,60	2815	0	0	Core Data	0,086545	22,5
FILE145_E	1	51,5		1,6	0 Layer 1	0,59	3423	0	0	Core Data	0,086545	22,344
FILE145_E	1	51,79		1,31	0 Layer 1	0,59	2646	0	0	Core Data	0,086545	22,344
FILE145_E	1	52,21		0,89	0 Layer 1	0,62	4472	0	0	Core Data	0,086545	23,125
FILE145_E	1	52,61		0,49	0 Layer 1	0,62	5146	0	0	Core Data	0,086545	22,969
FILE145_E	1	53,03		0,07	0 Layer 1	0,62	1806	0	0	Core Data	0,086545	23,125
FILE145_E	1	53,43		-0,33	0 Layer 1	0,65	2907	0	0	Core Data	0,086545	23,75
FILE145_E	1	53,74		-0,64	0 Layer 1	0,62	2973	0	0	Core Data	0,086545	22,969
FILE145_E	1	53,95		-0,85	0 Layer 1	0,62	1846	0	0	Core Data	0,086545	23,125
FILE145_E	1	54,45		-1,35	0 Layer 1	0,61	4396	0	0	Core Data	0,086545	22,813
FILE145_E	1	55,19		-2,09	0 Layer 1	0,60	3038	0	0	Core Data	0,086545	22,656
FILE145_E	1	55,82		-2,72	0 Layer 1	0,69	6306	0	0	Core Data	0,086545	24,688
FILE145_E	1	56,23		-3,13	0 Layer 1	0,64	2793	0	0	Core Data	0,086545	23,438
FILE145_E	1	57,28		-4,18	0 Layer 1	0,58	3421	0	0	Core Data	0,086545	22,031
FILE145_E	1	58,25		-5,15	0 Layer 1	0,54	4239	0	0	Core Data	0,086545	21,094
FILE145_E	1	59,52		-6,42	0 Layer 1	0,49	3082	0	0	Core Data	0,086545	20
FILE145_E	1	60,55		-7,45	0 Layer 1	0,40	3258	0	0	Core Data	0,086545	17,969
FILE145_E	1	61,39		-8,29	0 Layer 1	0,45	2016	0	0	Core Data	0,086545	19,063
FILE145_E	1	62,03		-8,93	0 Layer 1	0,49	2676	0	0	Core Data	0,086545	20
FILE145_E	1	63,32		-10,22	0 Layer 1	0,58	3062	0	0	Core Data	0,086545	22,031
FILE145_E	1	64,99		-11,89	0 Layer 1	0,62	4871	0	0	Core Data	0,086545	22,969
FILE145_E	1	66,54		-13,44	0 Layer 1	0,59	5589	0	0	Core Data	0,086545	22,344
FILE145_E	1	67,4		-14,3	0 Layer 1	0,64	3301	0	0	Core Data	0,086545	23,438
FILE145_E	1	68,28		-15,18	0 Layer 1	0,60	2680	0	0	Core Data	0,086545	22,656
FILE145_E	1	69,07		-15,97	0 Layer 1	0,62	3367	0	0	Core Data	0,086545	23,125
FILE145_E	1	69,8		-16,7	0 Layer 1	0,64	2211	0	0	Core Data	0,086545	23,438
FILE145_E	1	70,46		-17,36	0 Layer 1	0,60	3076	0	0	Core Data	0,086545	22,656
FILE145_E	1	71,12		-18,02	0 Layer 1	0,60	2840	0	0	Core Data	0,086545	22,5
FILE145_E	1	71,6		-18,5	0 Layer 1	0,57	3973	0	0	Core Data	0,086545	21,875
FILE145_E	1	72,15		-19,05	0 Layer 1	0,55	5626	0	0	Core Data	0,086545	21,406
FILE145_E	1	72,7		-19,6	0 Layer 1	0,55	4791	0	0	Core Data	0,086545	21,406
FILE145_E	1	72,86		-19,76	0 Layer 1	0,55	4121	0	0	Core Data	0,086545	21,406
FILE145_E	1	73,29		-20,19	0 Layer 1	0,54	6196	0	0	Core Data	0,086545	21,25
FILE145_E	1	73,95		-20,85	0 Layer 1	0,53	4245	0	0	Core Data	0,086545	20,938
FILE145_E	1	74,27		-21,17	0 Layer 1	0,55	4199	0	0	Core Data	0,086545	21,406
FILE145_E	1	74,69		-21,59	0 Layer 1	0,53	4358	0	0	Core Data	0,086545	20,938
FILE145_E	1	75,23		-22,13	0 Layer 1	0,49	3363	0	0	Core Data	0,086545	20,156
FILE145_E	1	75,58		-22,48	0 Layer 1	0,52	3757	0	0	Core Data	0,086545	20,781
FILE145_E	1	75,81		-22,71	0 Layer 1	0,48	5145	0	0	Core Data	0,086545	19,844
FILE145_E	1	76,09		-22,99	0 Layer 1	0,52	2781	0	0	Core Data	0,086545	20,781
FILE145_E	1	76,34		-23,24	0 Layer 1	0,49	5205	0	0	Core Data	0,086545	20
FILE145_E	1	77		-23,9	0 Layer 1	0,47	4006	0	0	Core Data	0,086545	19,688
FILE145_E	1	77,66		-24,56	0 Layer 1	0,48	5124	0	0	Core Data	0,086545	19,844
FILE145_E	1	78,21		-25,11	0 Layer 1	0,49	5502	0	0	Core Data	0,086545	20
FILE145_E	1	79,04		-25,94	0 Layer 1	0,53	4937	0	0	Core Data	0,086545	20,938
FILE145_E	1	79,34		-26,24	0 Layer 1	0,50	6395	0	0	Core Data	0,086545	20,313
FILE145_E	1	79,66		-26,56	0 Layer 1	0,51	4970	0	0	Core Data	0,086545	20,469
FILE145_E	1	80,02		-26,92	0 Layer 1	0,49	2746	0	0	Core Data	0,086545	20
FILE145_E	1	80,48		-27,38	0 Layer 1	0,49	3355	0	0	Core Data	0,086545	20
FILE145_E	1	81,24		-28,14	0 Layer 1	0,51	4640	0	0	Core Data	0,086545	20,469
FILE145_E	1	81,89		-28,79	0 Layer 1	0,51	3459	0	0	Core Data	0,086545	20,469
FILE145_E	1	82,18		-29,08	0 Layer 1	0,53	1579	0	0	Core Data	0,086545	20,938
FILE145_E	1	82,54		-29,44	0 Layer 1	0,49	3756	0	0	Core Data	0,086545	20,156
FILE145_E	1	83,17		-30,07	0 Layer 1	0,48	4022	0	0	Core Data	0,086545	19,844
FILE145_E	1	83,66		-30,56	0 Layer 1	0,48	3717	0	0	Core Data	0,086545	19,844
FILE145_E	1	84,27		-31,17	0 Layer 1	0,49	4090	0	0	Core Data	0,086545	20,156
FILE145_E	1	84,67		-31,57	0 Layer 1	0,53	1500	0	0	Core Data	0,086545	20,938
FILE145_E	1	85,02		-31,92	0 Layer 1	0,51	3079	0	0	Core Data	0,086545	20,469
FILE145_E	1	85,35		-32,25	0 Layer 1	0,51	2226	0	0	Core Data	0,086545	20,469
FILE145_E	1	85,69		-32,59	0 Layer 1	0,58	851	0	0	Core Data	0,086545	22,031
FILE145_E	1	86,22		-33,12	0 Layer 1	0,52	3306	0	0	Core Data	0,086545	20,625
FILE145_E	1	86,66		-33,56	0 Layer 1	0,51	111	0	0	Core Data	0,086545	20,469
FILE145_E	1	87,06		-33,96	0 Layer 1	0,62	5617	0	0	Core Data	0,086545	22,969
FILE145_E	1	88,18		-35,08	0 Layer 1	0,64	3330	0	0	Core Data	0,086545	23,438
FILE145_E	1	89,15		-36,05	0 Layer 1	0,55	3179	0	0	Core Data	0,086545	21,406
FILE145_E	1	90,02		-36,92	0 Layer 1	0,54	2012	0	0	Core Data	0,086545	21,25
FILE145_E	1	91,08		-37,98	0 Layer 1	0,61	2639	0	0	Core Data	0,086545	22,813
FILE145_E	1	91,78		-38,68	0 Layer 1	0,65	2623	0	0	Core Data	0,086545	23,75
FILE145_E	1	92,17		-39,07	0 Layer 1	0,63	2446	0	0	Core Data	0,086545	23,281
FILE145_E	1	92,88		-39,78	0 Layer 1	0,65	1505	0	0	Core Data	0,086545	23,75
FILE145_E	1	93,97		-40,87	0 Layer 1	0,75	1400	0	0	Core Data	0,086545	25,938
FILE145_E	1	95,33		-42,23	0 Layer 1	0,77	2296	0	0	Core Data	0,086545	26,563
FILE145_E	1	95,91		-42,81	0 Layer 1	0,60	2444	0	0	Core Data	0,086545	22,656
FILE145_E	1	96,58		-43,48	0 Layer 1	0,59	1710	0	0	Core Data	0,086545	22,344
FILE145_E	1	97,09		-43,99	0 Layer 1	0,58	2526	0	0	Core Data	0,086545	22,031
FILE145_E	1	97,48		-44,38	0 Layer 1	0,59	2806	0	0	Core Data	0,086545	22,344
FILE145_E	1	97,89		-44,79	0 Layer 1	0,62	2007	0	0	Core Data	0,086545	22,969

File: 145
 Richting: Gouda
 Duiker op: 61 m

File	Ch#	x(m)	x(m t.o.v. portaal)	y(m)	Layer 1	z(m)	Amp	Dev(m)	% Scans	Vel. Type	v(m/ns)	t(ns)
FILE145_E	1	98,29	-45,19	0	Layer 1	0,56	2626	0	0	Core Data	0,086545	21,563
FILE145_E	1	98,73	-45,63	0	Layer 1	0,60	1580	0	0	Core Data	0,086545	22,5
FILE145_E	1	99,17	-46,07	0	Layer 1	0,61	2119	0	0	Core Data	0,086545	22,813
FILE145_E	1	99,66	-46,56	0	Layer 1	0,64	1729	0	0	Core Data	0,086545	23,594
FILE145_E	1	100,29	-47,19	0	Layer 1	0,60	2626	0	0	Core Data	0,086545	22,656
FILE145_E	1	101,17	-48,07	0	Layer 1	0,60	2906	0	0	Core Data	0,086545	22,5
FILE145_E	1	101,6	-48,5	0	Layer 1	0,60	1985	0	0	Core Data	0,086545	22,656
FILE145_E	1	101,93	-48,83	0	Layer 1	0,58	1671	0	0	Core Data	0,086545	22,031
FILE145_E	1	102,27	-49,17	0	Layer 1	0,62	1978	0	0	Core Data	0,086545	22,969
FILE145_E	1	102,62	-49,52	0	Layer 1	0,67	413	0	0	Core Data	0,086545	24,219
FILE145_E	1	103,09	-49,99	0	Layer 1	0,61	2862	0	0	Core Data	0,086545	22,813
FILE145_E	1	103,43	-50,33	0	Layer 1	0,60	1743	0	0	Core Data	0,086545	22,656
FILE145_E	1	103,98	-50,88	0	Layer 1	0,58	1182	0	0	Core Data	0,086545	22,031
FILE145_E	1	104,52	-51,42	0	Layer 1	0,60	1627	0	0	Core Data	0,086545	22,5
FILE145_E	1	104,94	-51,84	0	Layer 1	0,63	1637	0	0	Core Data	0,086545	23,281
FILE145_E	1	105,43	-52,33	0	Layer 1	0,58	1968	0	0	Core Data	0,086545	22,031
FILE145_E	1	105,76	-52,66	0	Layer 1	0,59	1179	0	0	Core Data	0,086545	22,344
FILE145_E	1	106,25	-53,15	0	Layer 1	0,61	1646	0	0	Core Data	0,086545	22,813
FILE145_E	1	106,88	-53,78	0	Layer 1	0,61	2458	0	0	Core Data	0,086545	22,813
FILE145_E	1	107,21	-54,11	0	Layer 1	0,60	2705	0	0	Core Data	0,086545	22,5
FILE145_E	1	107,7	-54,6	0	Layer 1	0,67	2813	0	0	Core Data	0,086545	24,219
FILE145_E	1	108,11	-55,01	0	Layer 1	0,64	1416	0	0	Core Data	0,086545	23,438
FILE145_E	1	108,67	-55,57	0	Layer 1	0,60	2867	0	0	Core Data	0,086545	22,656
FILE145_E	1	109,27	-56,17	0	Layer 1	0,64	1831	0	0	Core Data	0,086545	23,594
FILE145_E	1	109,59	-56,49	0	Layer 1	0,64	1098	0	0	Core Data	0,086545	23,594
FILE145_E	1	110,05	-56,95	0	Layer 1	0,62	4154	0	0	Core Data	0,086545	23,125
FILE145_E	1	110,4	-57,3	0	Layer 1	0,64	2114	0	0	Core Data	0,086545	23,594
FILE145_E	1	110,85	-57,75	0	Layer 1	0,64	3894	0	0	Core Data	0,086545	23,594
FILE145_E	1	111,19	-58,09	0	Layer 1	0,66	2658	0	0	Core Data	0,086545	24,063
FILE145_E	1	111,54	-58,44	0	Layer 1	0,66	2260	0	0	Core Data	0,086545	24,063
FILE145_E	1	111,98	-58,88	0	Layer 1	0,62	1855	0	0	Core Data	0,086545	23,125
FILE145_E	1	112,22	-59,12	0	Layer 1	0,64	1786	0	0	Core Data	0,086545	23,594
FILE145_E	1	112,5	-59,4	0	Layer 1	0,63	3573	0	0	Core Data	0,086545	23,281
FILE145_E	1	112,7	-59,6	0	Layer 1	0,63	4165	0	0	Core Data	0,086545	23,281
FILE145_E	1	112,93	-59,83	0	Layer 1	0,71	2071	0	0	Core Data	0,086545	25,156
FILE145_E	1	113,23	-60,13	0	Layer 1	0,68	3378	0	0	Core Data	0,086545	24,375
FILE145_E	1	113,5	-60,4	0	Layer 1	0,65	1684	0	0	Core Data	0,086545	23,75



Bijlage 3: Beschrijving grondradartechniek

Beschrijving Grondradartekniek

Ground Penetrating Radar (GPR) is een geofysische methode waarmee de fysische samenstelling van de ondiepe ondergrond kostenbesparend in kaart kan worden gebracht. De methode produceert verticale doorsneden van de ondergrond met een hoge resolutie. Het is een niet destructieve meetmethode. De doorsneden vertonen gelijkenis met seismische profielen die worden gebruikt in de olie-exploratie industrie. De verticale doorsneden worden grondradar-profielen genoemd. Ze leveren informatie over de geologische opbouw, (lithologie, stratigrafie en structuur), over de poriënvervulling, (watergehalte, zoutgehalte), over hydrologische aspecten (grondwaterstand, rivierbodemtopografie, ijsdikte), maar ook over verstoringen zoals leidingen, kabels, funderingen, holtes, tunnels. Grondradar kan zowel op land als ook in (zoet) water worden toegepast, ondermeer in meren, moerassen, rivieren en kanalen. De methode wordt veelvuldig toegepast door ingenieurs, geologen, hydrologen en geofysici.

De toepassingen van grondradar liggen op het gebied van civiele techniek, bodem- en stratigrafiestudies, milieuonderzoek, geo-hydrologisch onderzoek, archeologie en mijnbouw. De radar interpretatie methode van Geofox-Lexmond is afgeleid van seismische interpretatietechnieken die worden toegepast door oliemaatschappijen bij de exploratie naar olie en gas op grote diepten.

Grondradar levert continue doorsneden op van de ondergrond die na calibratie met (weinig) boorgegevens een gedetailleerd beeld opleveren van de samenstelling en de structuur van de ondergrond. Op een profiel kunnen geologische lagen en verstoringen, zoals kabels en leidingen, worden getraceerd. Meerdere profielen samen leveren een 3D beeld op van de ondergrond. Op basis van deze gegevens is het mogelijk de verbreiding van bijvoorbeeld een geologische laag of van ondergrondse objecten in horizontale en verticale richting te bepalen. Voor monitoringsonderzoek is het mogelijk eenzelfde gebied na een bepaalde tijdsinterval opnieuw te scannen, en zo de verandering in de tijd te registreren. Grondradar heeft een belangrijke ontwikkeling doorgemaakt sedert de invoering van digitale radartekniken in het begin van de jaren negentig.

De belangrijkste voordelen van grondradar in vergelijking tot andere methoden zijn:

- het is een niet destructieve methode;
- het heeft een hoge resolutie (in tegenstelling tot analoge elektromagnetische (EM) methoden);
- het levert continue profielen (geen interpolatieproblemen tussen monsters);
- het is een eenvoudige methode voor 3D modellering en monitoring;
- het is tijdbesparend.

De laatste twee voordelen maken grondradar kostenbesparend. Met een relatief klein budget kan een grotere hoeveelheid gegevens worden verkregen om de ondergrond nauwkeuriger in kaart te brengen. De hoge frequenties geven zelfs een nauwkeurigheid op cm-dm schaal. Modellering met moderne software maakt attractieve 3D visualisaties mogelijk.



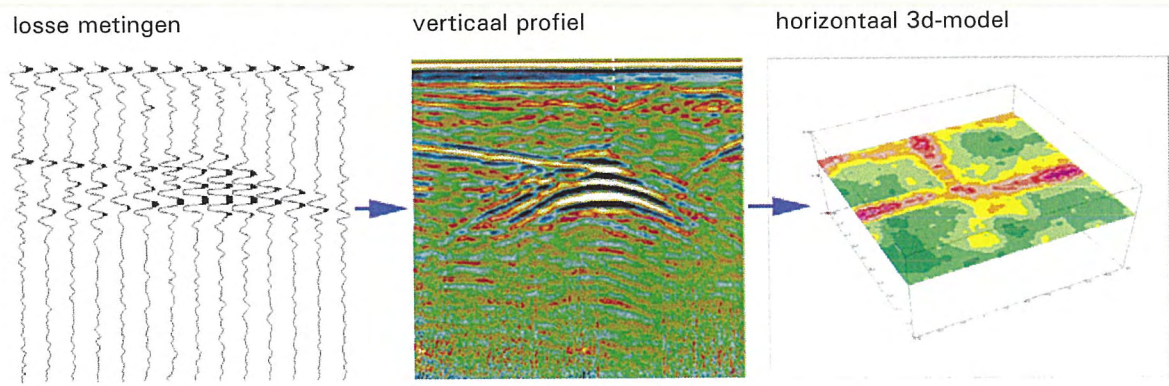
Figuur 1

Grondradar, de principes

Grondradar maakt gebruik van elektromagnetische golven met frequenties (15 - 2.500 MHz) die worden uitgezonden door een antenne. Deze energie wordt beïnvloed door elektrische eigenschappen van de bodem, zoals de diëlektrische constante en de elektrische geleidbaarheid. Op bepaalde grensvlakken wordt een gedeelte van de energie gereflecteerd en opgevangen door een antenne (zie figuur 1). Onderzoek heeft aangetoond dat de diëlektrische permittiviteit voornamelijk wordt beïnvloed door de volgende bodemeigenschappen:

- Watergehalte;
- Zoutgehalte;
- Hoeveelheid opgeloste mineralen;
- Kleigehalte;
- Hoeveelheid zware metalen.

Het grondradarsysteem meet op een bepaalde locatie de tijd (in nanoseconden) tussen het uitzenden en de ontvangst van een gereflecteerde golf. Deze tijd is een directe maat voor de diepte waarop het signaal wordt gereflecteerd (zie figuur 3). Het ontvangen signaal wordt versterkt opgenomen en vervolgens verwerkt. Dit proces kan continu worden herhaald en door de antenne te verplaatsen langs een traject wordt een doorsnede van de bodem verkregen (zie figuur 2).

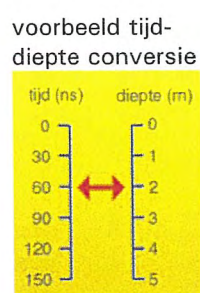


Figuur 2

Als gevolg van sferische divergentie verstrooit het signaal tijdens de voortplanting in het medium en dit draagt bij aan het energieverlies met toenemende diepte. De volgende factoren zijn van invloed op de demping van het signaal:

- Conversie van elektromagnetische energie in warmte;
- Diëlektrisch contrast verlies;
- Chemische diffusie in klei;
- Dispersie in het medium ten gevolge van inhomogeniteiten.

Materialen met een lage geleidbaarheid, zoals droog zand en grind, laten een indringingsdiepte toe tot ongeveer 20 meter diepte. Een hoge frequentie is in staat verschillende dunne lagen te detecteren, maar beïnvloedt de indringingsdiepte negatief. De resolutie zou in theorie een vierde deel van de golflengte van het signaal moeten zijn. In de praktijk is de resolutie eerder een derde deel of zelfs de helft van de golflengte als gevolg van snelheidsvariaties binnen het materiaal en van golfkarakteristieken. Bij bodemonderzoek gebruikt men meestal een frequentie tussen de 100 en 1.500 MHz, afhankelijk van de gewenste penetratiediepte en resolutie.



Figuur 3

Velduitrusting

De grondradarapparatuur van Geofox-Lexmond bestaat uit een digitale SIR-2 uitrusting, gemaakt door Geophysical Survey Systems Incorporated (GSSI). De recorder is een speciaal aangepaste personal computer, die voor een accurate positiebepaling kan worden verbonden met een dGPS satelliet positioneringssysteem. Profielgegevens worden opgenomen met een maximale snelheid van 10 km/uur (per voet) of 80 km/uur (met behulp van een voertuig). Tijdens opname verschijnt het profiel in kleur op het computerscherm. In het veld kunnen de opgenomen profielen meteen worden gereproduceerd op een thermische plotter. Deze profielen tonen een praktische continue horizontale scanning van de bodemlagen. Het systeem beschikt over een aantal standaard processing en weergave opties. Het is ook mogelijk het signaal te 'stacken' door meerdere opnamen langs een zelfde traject samen te voegen

De lagere frequenties hebben een geringere resolutie gekoppeld aan een groter verticaal bereik. Tevens dient het verticale opnamevenster te worden ingesteld. De scansnelheid kan worden gevarieerd tussen 4 en 64 scans per seconde.

Het flexibele SIR-2 systeem kan worden toegepast door een technicus die de computer kan bevestigen aan een schouderriem. Een andere persoon trekt de antenne voort met een regelmatige snelheid over het te volgen traject, en registreert de profiellijnen op kaart. Een dergelijke set-up is zeer geschikt in moeilijk begaanbaar terrein en voor onderzoek van relatief kleine terreinen, zoals bijvoorbeeld voor archeologische onderzoek en voor milieuonderzoek. Voor wegconstructies en voor onderzoek van grote oppervlakten wordt gebruik gemaakt van een voertuig (auto, scooter), waar de antenne aan kan worden bevestigd.

Processing en Interpretatie

Verwerking vindt plaats met behulp van gespecialiseerde software. In deze software worden de in het veld opgenomen verticale profielen bewerkt tot een model (zie figuur 2). Vervolgens wordt op basis van het model een horizontale doorsnede gemaakt. De software maakt het mogelijk de verticale en horizontale doorsneden te combineren tot een 3D beeld. Kabels en leidingen, holle ruimten, ondergrondse obstakels en geologische lagen kunnen desgewenst nauwkeurig in kaart worden gebracht.

Verklarende woordenlijst

- 1) **Diëlectrische constante:** Grootte die aangeeft in welke mate een bepaald medium elektrische lading op kan slaan indien een elektrisch veld wordt aangelegd in het materiaal.
- 2) **Frequentie:** Aantal trillingen per seconde dat door de radarantenne wordt uitgezonden (eenheid: Hz).
- 3) **Golflengte:** De afstand tussen twee opeenvolgende maxima van een golf (eenheid: m).
- 4) **Resolutie:** Het oplossend vermogen van een meting, de kleinste waarneembare verandering.
- 5) **Tijd-diepte conversie:** Methode van omrekening van reistijd (nanosecondes, ns) van de radarmeting naar de diepte van een reflectie